

**COMUNE DI FERRARA**  
**PROGRAMMA SPECIALE D'AREA**  
**L.R. n. 30 Agosto 1996**

**PIANO URBANISTICO ATTUATIVO DI INIZIATIVA PRIVATA**  
**"OFFICINE METALLURGICHE LUX"**  
**Viale Volano n. 69- FERRARA**

**NUOVE RESIDENZE**

**PROPRIETA'**

**IMMOBILIARE ADELE s.r.l.**

69,Viale Volano  
44121 FERRARA

**PROGETTAZIONE URBANISTICA  
E PROGETTAZIONE ARCHITETTONICA**

**GAE AULENTI ARCHITETTI ASSOCIATI**

ARCH. GAE AULENTI  
ARCH. MARCO BUFFONI  
ARCH. FRANCESCA FENAROLI  
ARCH. VITTORIA MASSA  
4, PIAZZA SAN MARCO  
20121 MILANO

**PROGETTAZIONE URBANISTICA  
E PROJECT MANAGEMENT**

**ING. FRANCESCO MASCELLANI**

6, P.TTA COMBATTENTI  
44121 FERRARA

**RICERCA STORICA E CONSULENZA**

**ARCH. BARBARA PAZI**

75, Via Palestro  
44121 FERRARA

**INDAGINI GEOLOGICHE ED AMBIENTALI**

**DOTT. GEOL. THOMAS VERONESE**

10,Via Roma  
44021 CODIGORO (FE)

**IL PROGETTISTA**

**IL DIRETTORE DEI LAVORI**

**LA PROPRIETA'**

**OGGETTO**

**PROGETTO: RELAZIONE DI MODELLAZIONE GEOLOGICA-SISMICA  
ED ANALISI GEOTECNICA DEL TERRENO**

scala : -	cod. file : PP-J01	data emissione : 27.05.2011	aggiornamento : -
		rif.	progetto
			eseguito da: VERONESE
		disegno: J01	agg. -



*Studio Servizi Tecnici*  
Settore geologia e ambiente

**DOTT. GEOL. THOMAS VERONESE**

Via Roma, 10  
44021 CODIGORO (Ferrara)  
Tel e fax. 0533 / 713798 cell. 335-5240380  
E-mail: thomas.veronese@tin.it

---

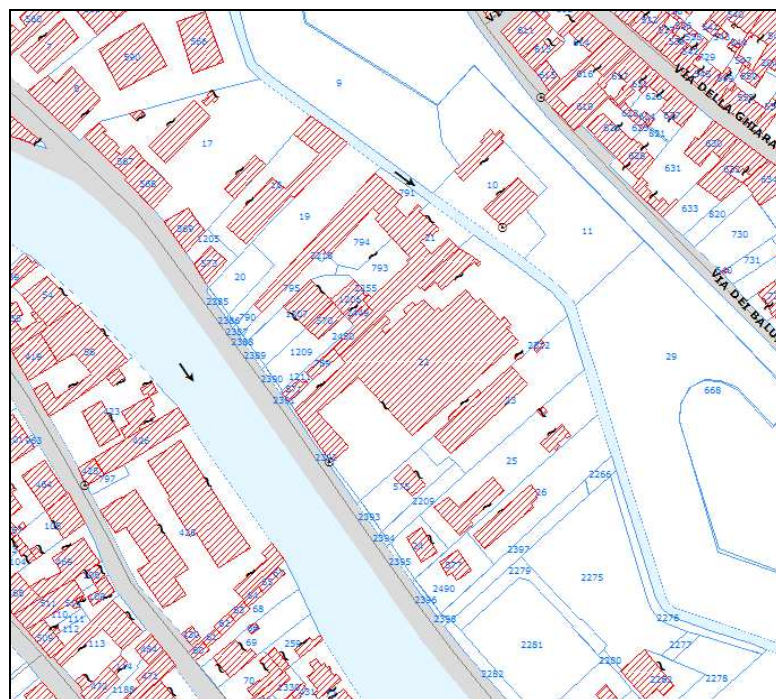
---

*MODELLAZIONE GEOLOGICA-SISMICA, IDROGEOLOGICA ed ANALISI  
GEOTECNICA DEL TERRENO*

---

### Comune Ferrara

Piano Urbanistico Attuativo di iniziativa privata “Officine Metallurgiche LUX”  
in viale Volano n. 69 a Ferrara.



COMMITTENTE: **Immobiliare Adele s.r.l.**  
SEDE:  
viale Volano n. 69  
44121 Ferrara

09 giugno 2011

---

**S.S.T. SETTORE GEOLOGIA E AMBIENTE**

Geotecnica; Studio terreni di fondazione; Stabilità dei versanti; Rilevamento geologico;  
Rilievi topografici; Geofisica - Contributi allo Studio di Impatto Ambientale; Assistenza  
alle pubbliche amministrazioni negli studi di fattibilità e di realizzazione dei P.R.G.,  
cimiteri, discariche, piani attività estrattive, studi di acquiferi per la tutela e per l'utilizzo di  
risorse idriche sotterranee; subirrigazioni.

Timbro

INDICE:

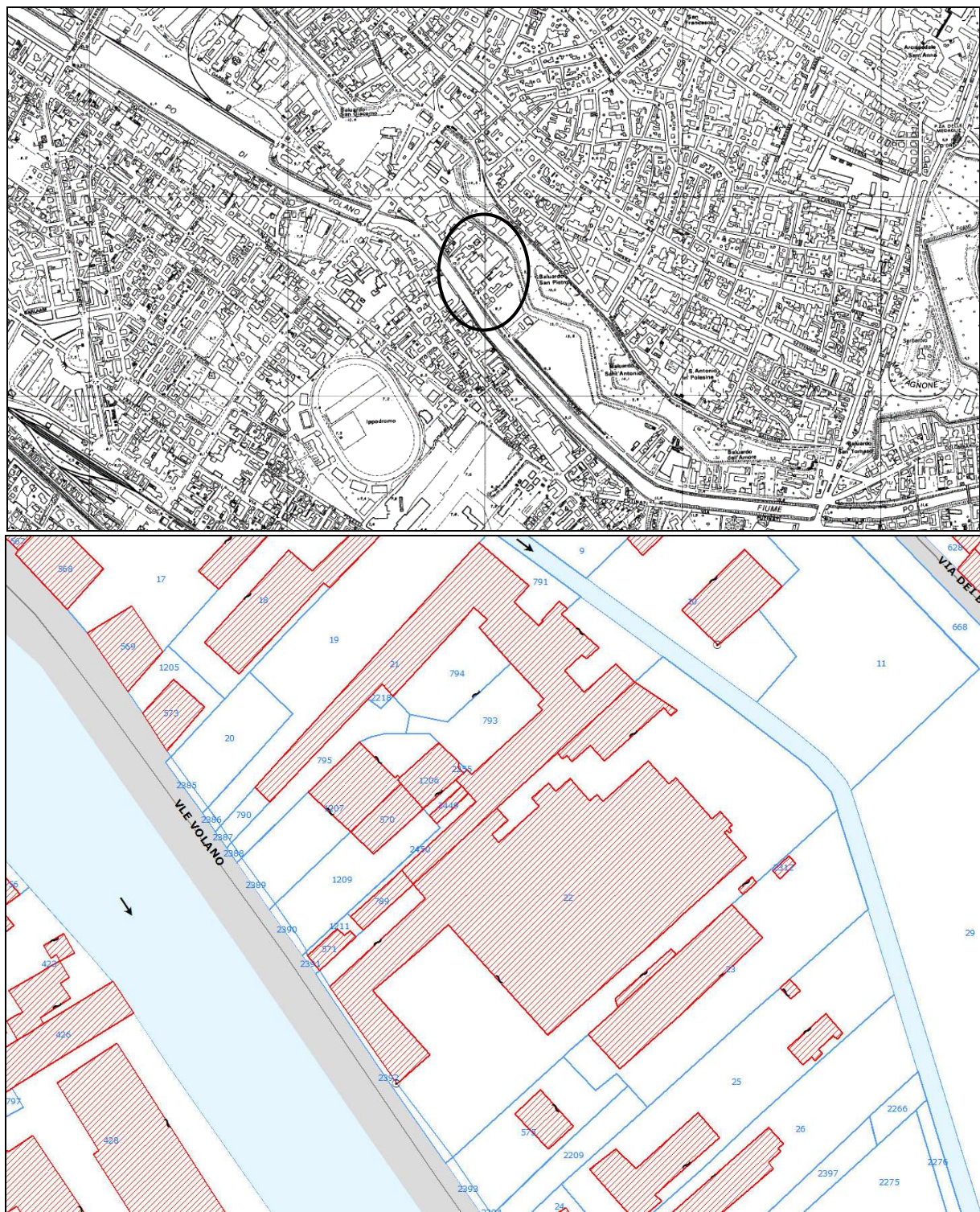
<b>1. PREMESSA .....</b>	<b>2</b>
<b>NORMATIVA E RACCOMANDAZIONI DI RIFERIMENTO.....</b>	<b>3</b>
<b>2. MODELLAZIONE GEOLOGICA .....</b>	<b>3</b>
2.1. GEOLOGIA STRUTTURALE DELL'AREA .....	3
2.2. CARATTERI STRATIGRAFICI E LITOLOGICI .....	4
2.3. CARATTERI GEOMORFOLOGICI.....	9
2.4. CARATTERI IDROGEOLOGICI.....	10
<b>3. DEFINIZIONE DEI PARAMETRI SISMICI.....</b>	<b>12</b>
3.1 DATI DI AUSILIO PER LA PROGETTAZIONE SISMICA .....	12
<i>Categoria di suolo.....</i>	12
<i>Spettro da "Atto di indirizzo, n°112 del 2 maggio 2007".....</i>	17
<i>Secondo "D.M. 14 gennaio 2008".....</i>	18
<i>Magnitudo di progetto .....</i>	22
3.2 VERIFICA DELLA RESISTENZA ALLA LIQUEFAZIONE DELLE SABBIE.....	24
3.3 CALCOLO CEDIMENTI POSTSISMICI IN TERRENI GRANULARI .....	27
3.4 CALCOLO CEDIMENTI POSTSISMICI IN TERRENI COESIVI.....	27
<b>4. MODELLAZIONE GEOTECNICA .....</b>	<b>27</b>
4.1. ACQUISIZIONE DATI CON PROVA PENETROMETRICA STATICNA .....	29
4.2. CONSIDERAZIONI SULLA FATTIBILITA' GEOTECNICA.....	31
4.2 ELABORAZIONE DATI .....	32
<b>6. CONCLUSIONI .....</b>	<b>35</b>

## 1. PREMESSA

Su incarico della soc. Immobiliare Adele s.r.l., con sede in viale Volano n. 69 a Ferrara (FE), si redige lo studio per ricostruire la modellazione geologica per il progetto di *“Piano Urbanistico Attuativo di iniziativa privata Officine Metallurgiche LUX”* in via Volano n. 69 a Ferrara.

Scopo di questa relazione è descrivere i caratteri strutturali, stratigrafici, litologici, idrogeologici e sismici dell'area; descrivere le metodologie dell'acquisizione dati, elaborare i dati acquisiti con prove in situ, per la caratterizzazione geologica e geotecnica dei terreni di fondazione.

In **FIGURA 1.1** si riporta l'ubicazione dell'area di intervento.



**FIGURA 1.1** – Area di intervento a Ferrara con zoomata catastale

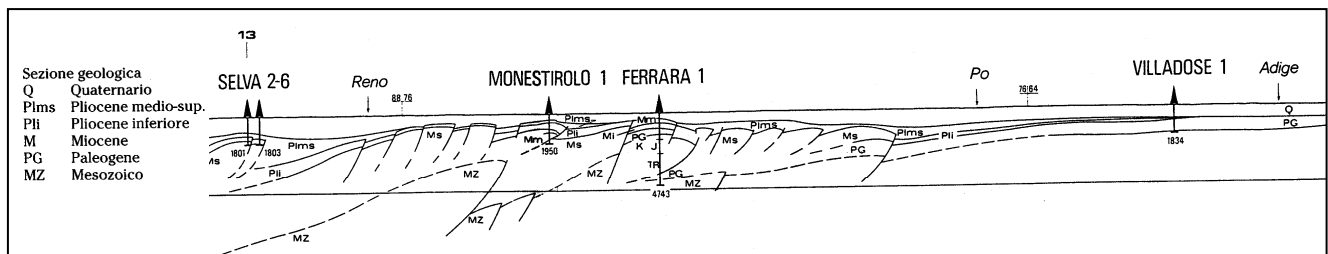
## Normativa e Raccomandazioni di riferimento

- Decreto del Ministero delle Infrastrutture 14 gennaio 2008 “Approvazione delle nuove norme tecniche per le costruzioni”, pubblicato sulla G.U. n. 29 del 4 febbraio 2008, suppl. ord. N.30, che entrano in vigore il 6 marzo 2008.
- Circolare Applicativa n° 617 del 02/02/2009 alle NTC/2008.
- Delibera Assemblea Legislativa n°112/2007 della Regione Emilia Romagna “Atto di Indirizzo e coordinamento tecnico” per gli studi di microzonizzazione sismica.
- A.G.I. (Associazione Geotecnica Italiana)  
 “Raccomandazioni sulla programmazione ed esecuzione delle indagini geotecniche (giugno 1977).
- A.G.I. (Associazione Geotecnica Italiana)  
 “Raccomandazioni sui pali di fondazione (dicembre 1984)”.
- A.G.I. (Associazione Geotecnica Italiana)  
 “Aspetti geotecnici nella progettazione in zona sismica (Edizione Provvisoria, marzo 2005)”.
- C.N.R. UNI Ente Nazionale Italiano di Unificazione.  
 Eurocode EC-7: Geotechnics, design – dicembre 1987.
- C.N.R. UNI Ente Nazionale Italiano di Unificazione.  
 Eurocode EC-8: Design provisions for earthquake resistance of structures – ottobre 1994.

## 2. MODELLAZIONE GEOLOGICA

### 2.1. GEOLOGIA STRUTTURALE DELL'AREA

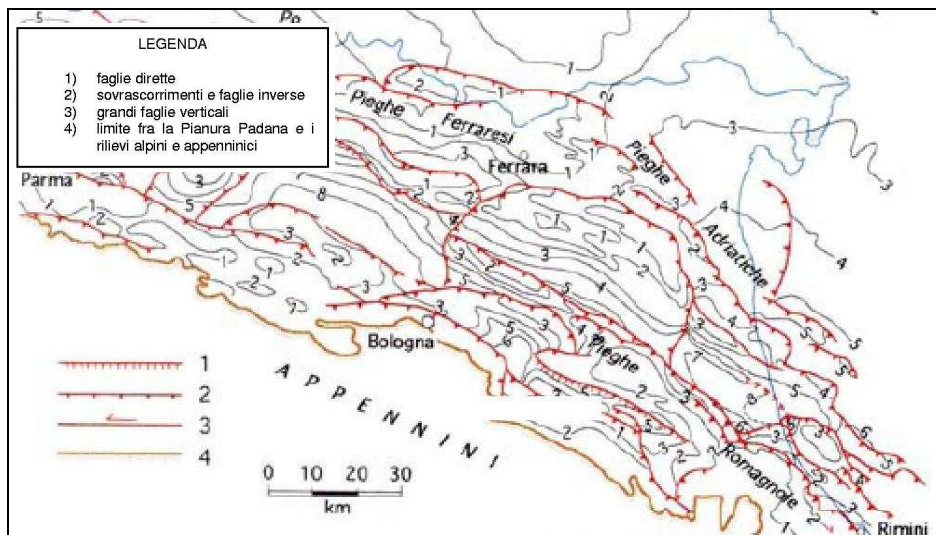
Nella **FIGURA 2.1** si riporta la sezione geologica passante per Monestirolo, Ferrara e Villadose, in cui si possono apprezzare gli spessori dei sedimenti del Quaternario sopra i pliocenici, che coincide con il passaggio dai sedimenti sciolti a quelli litificati o pseudolitificati.



**FIGURA 2.1** – Principali strutture del substrato della Padania; ben visibile in sezione la Dorsale Ferrarese.

Nella **FIGURA 2.2** si riporta uno stralcio della Carta strutturale della Pianura Padana orientale (Pieri e Groppi, 1981, CNR, 1992) con visibili le varie strutture sepolte e le faglie e sistemi trascorrenti attivi e non attivi, che sono all'origine della nuova attribuzione alla Zona sismica 3, in cui Ferrara è stata inserita nella OPCM 3274/2003.

Come si può notare a Ferrara, nel substrato roccioso, posto a profondità compresa tra 1000 e 2000 m, sono presenti sistemi di faglie dovute a sovrascorimenti e a fronti di accavallamento, classificate come riattivate e come soggette a possibili riattivazioni.



**FIGURA 2.2** - Carta strutturale della Pianura Padana (Pieri e Groppi, 1992)

## 2.2. CARATTERI STRATIGRAFICI E LITOLOGICI

La formazione dell'ambiente, nella sua configurazione attuale, è relativamente recente e consegue a ripetute variazioni dei rapporti di equilibrio tra livello del mare, apporti solidi dei corsi d'acqua, entità di subsidenza e, non ultimo, l'intervento umano.

Nell'attuale configurazione fisica del territorio sono riconoscibili le tracce sia della sua evoluzione naturale che quella operata dall'uomo. Tra le più evidenti e più importanti nel disegnare l'assetto morfologico si possono elencare i paleovalvei, i coni di esondazione, i cordoni dunari testimoni della veloce progradazione verso est della linea di costa, ed infine si individuano quelle aree particolarmente depresse che erano sede di bacini palustri. Per ogni struttura geomorfologica corrisponde, in linea di massima, una caratteristica classe litologica; la granulometria e la storia tensionale, strettamente legata alla storia geologica, ne condizionano le caratteristiche meccaniche ed idrauliche.

La topografia stessa dei nostri terreni è condizionata dalle strutture geomorfologiche. Le strutture geomorfologiche della pianura ferrarese sono molteplici ed oltre ad avere questa distribuzione così eterogenea in senso orizzontale sul territorio, ce l'hanno anche in senso verticale, cioè esistono nel sottosuolo strutture sepolte come possono essere depositi marini, deltizi, eolici, alluvionali, palustri, paleovalvei, ecc. con le tipiche caratteristiche granulometriche dei litotipi che costituiscono le strutture emerse che riconosciamo in campagna.

Queste sono state ribassate e progressivamente ricoperte da sedimenti successivi per via della subsidenza.

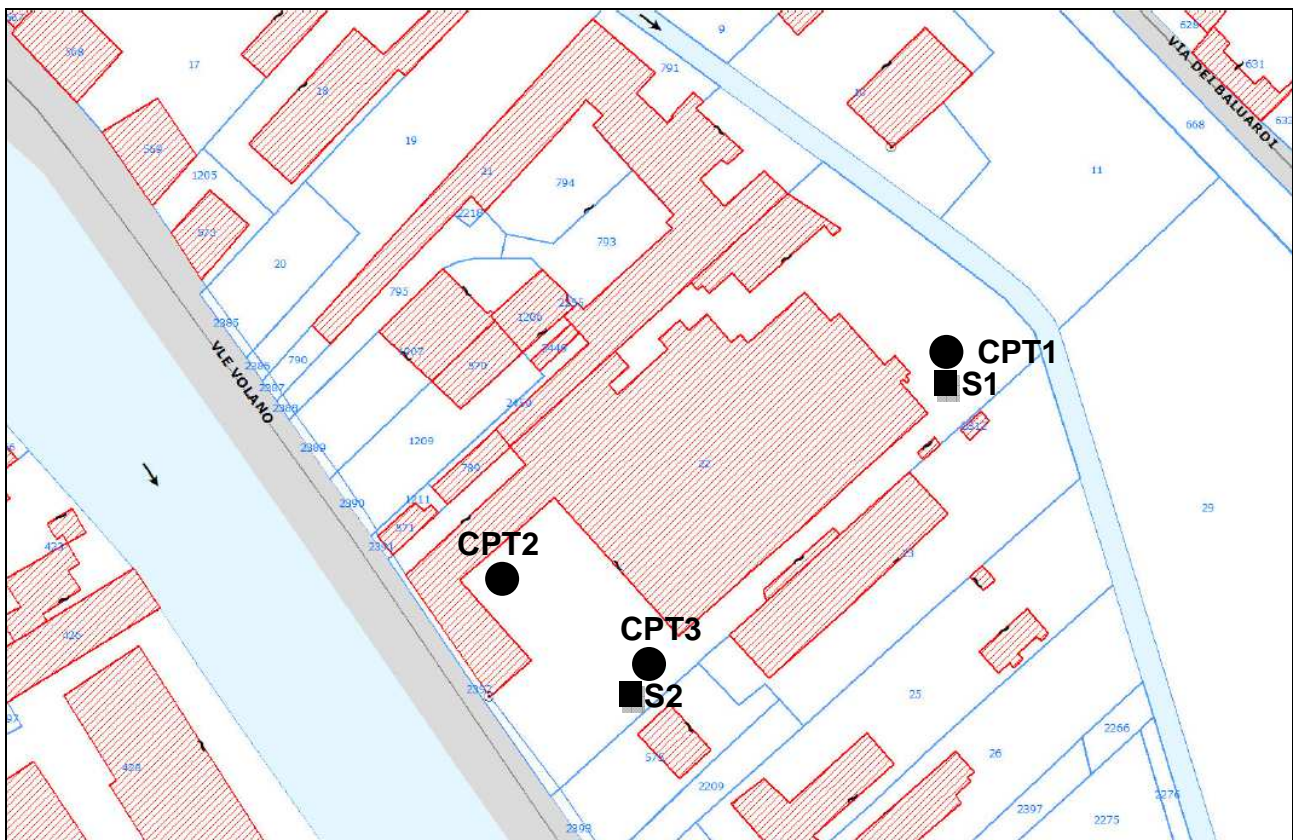
L'eterogeneità degli ambienti di deposizione dei sedimenti nella porzione di Pianura Padana ferrarese che si è formata in questi ultimi due millenni fa sì insomma che ai modelli geologici a grande scala vada di volta in volta affiancata una analisi puntuale locale dettagliata del suolo e sottosuolo ai fini di determinare situazioni vantaggiose che possano far risparmiare già dalla fase di progettazione sul costo della realizzazione dell'intervento, o svantaggiose che possano comunque far lavorare con preventivi realistici, che non siano vittime poi del cosiddetto "imprevisto geologico".

Generalmente i sedimenti che si rilevano in questa area dell'abitato di Ferrara sono di tipo alluvionale. I depositi sono principalmente di canale ed argine prossimale con sedimenti ad alta energia idrodinamica.

Per la validazione del modello geologico è stata realizzata una indagine specifica, consistente in tre prove penetrometriche statiche CPT1, CPT2 e CPT3, con *rjs.85-11*, spinte rispettivamente fino alla profondità di -20,00 m da p.c., -15,00 m da p.c. e -30,00 m da p.c..

Sul sito in esame, inoltre, sono stati realizzati due sondaggi a coclea S1 ed S2 in corrispondenza rispettivamente della CPT1 e della CPT3 per la caratterizzazione dei terreni superficiali fuori falda, spinti rispettivamente fino alla profondità di -4,00 m da p.c. e -5,00 m da p.c.

In **FIGURA 2.3** si riporta l'inquadramento catastale dell'area in esame con l'ubicazione delle prove svolte.



**FIGURA 2.3 – Ubicazione prove**

Nell'area di intervento per la **CPT1** si rileva da -0,40 m fino a circa -2,60 m da p.c. uno strato di terreni di riporto granulari poco addensati con valore di resistenza alla punta medio di  $27 \text{ kg/cm}^2$ ; poi da -2,60 m fino a circa -6,20 m uno strato di terreni di riporto prevalentemente granulari moderatamente addensati con valore di resistenza alla punta medio di  $61 \text{ kg/cm}^2$ ; da -6,20 m fino a -7,20 m da p.c. uno strato di terreni prevalentemente coesivi consistenti con un valore di resistenza alla punta medio di  $14 \text{ kg/cm}^2$ ; poi da -7,20 m fino a circa -15,60 m uno strato di terreni prevalentemente granulari addensati con valore di resistenza alla punta medio di  $123 \text{ kg/cm}^2$ , infine da -15,60 m fino a -20,00 m da p.c., massima profondità di investigazione, uno strato di terreni prevalentemente granulari moderatamente addensati con un valore di resistenza alla punta medio di  $75 \text{ kg/cm}^2$ .

Nell'area di intervento per la **CPT2** si rileva da -0,40 m fino a circa -4,20 m da p.c. uno strato di terreni di riporto coesivi moderatamente consistenti, alternati a sottili lenti sabbiose, con valore di resistenza alla punta medio di  $14 \text{ kg/cm}^2$ ; poi da -4,20 m fino a circa -7,60 m uno strato di terreni di riporto prevalentemente granulari poco addensati con valore di resistenza alla punta medio di  $33 \text{ kg/cm}^2$ ; infine da -7,60 m fino a -15,00 m da p.c., massima profondità di investigazione, uno strato di terreni prevalentemente granulari moderatamente addensati con un valore di resistenza alla punta medio di  $91 \text{ kg/cm}^2$ .

Nell'area di intervento per la **CPT3** si rileva da -0,20 m fino a circa -1,20 m da p.c. uno strato di terreni di riporto granulari poco addensati con valore di resistenza alla punta medio di  $33 \text{ kg/cm}^2$ ; poi da -1,20 m fino a circa -4,80 m uno strato di terreni di riporto prevalentemente coesivi consistenti con valore di resistenza alla punta medio di  $13 \text{ kg/cm}^2$ ; da -4,80 m fino a -13,40 m da p.c. uno strato di terreni prevalentemente granulari moderatamente addensati con un valore di resistenza alla punta medio di  $77 \text{ kg/cm}^2$ ; poi da -13,40 m fino a circa -17,40 m uno strato di terreni prevalentemente coesivi consistenti con valore di resistenza alla punta medio di  $18 \text{ kg/cm}^2$ , da -17,40 m fino a -19,40 m da p.c. uno strato di terreni prevalentemente granulari moderatamente addensati con un valore di resistenza alla punta medio di  $80 \text{ kg/cm}^2$ , da -19,40 m fino a -23,40 m da p.c. uno strato di terreni prevalentemente granulari poco addensati con un valore di resistenza alla punta medio di  $30 \text{ kg/cm}^2$ .

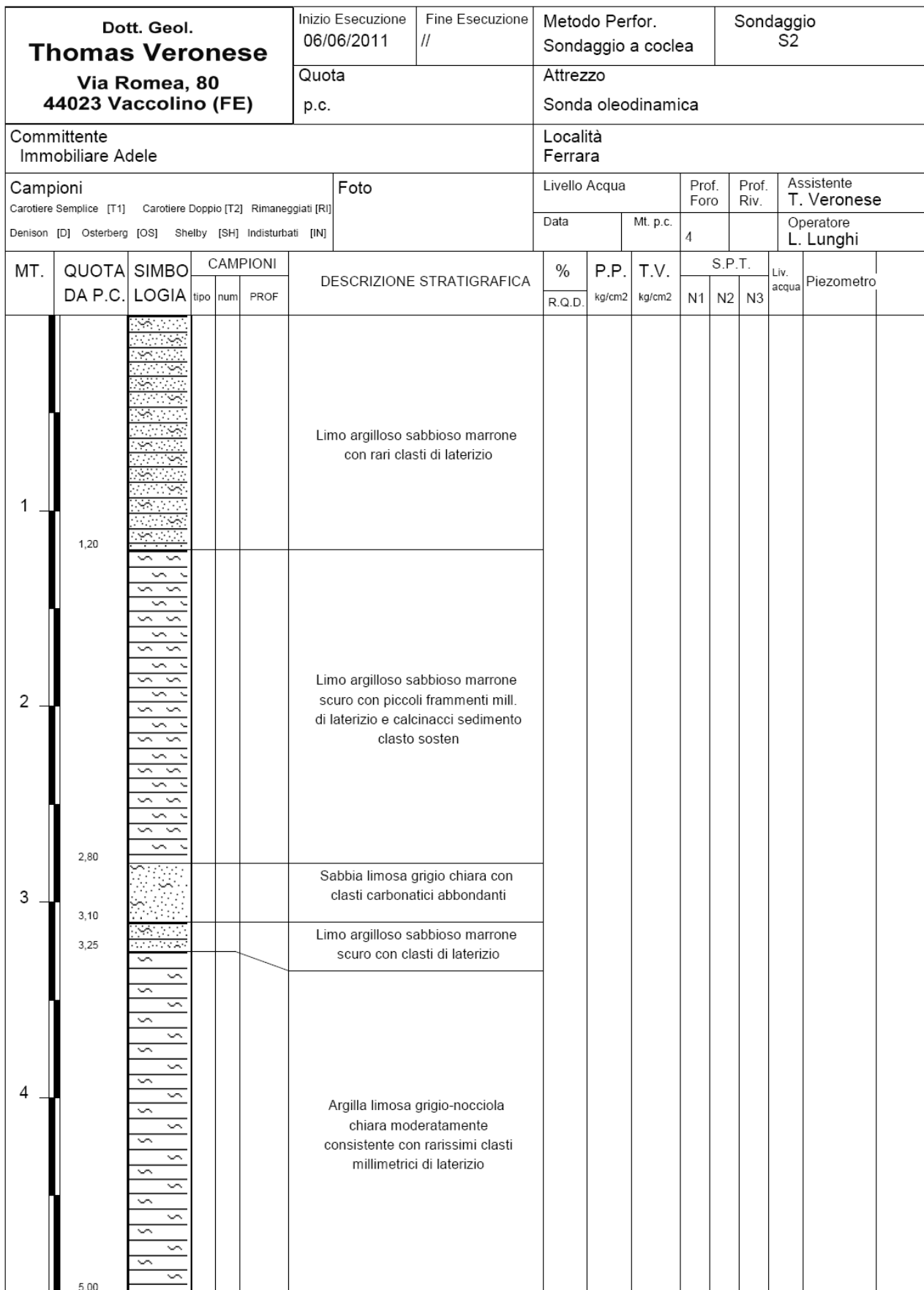
dott. Geologo Thomas Veronese - tel. 335/5240380  
via Roma 10 - 44021 Codigoro FE

kg/cm<sup>2</sup>, da -23,40 m fino a -24,80 m da p.c. uno strato di terreni prevalentemente granulari moderatamente addensati con un valore di resistenza alla punta medio di 84 kg/cm<sup>2</sup>, poi da -24,80 m fino a circa -26,80m uno strato di terreni prevalentemente coesivi consistenti con valore di resistenza alla punta medio di 16 kg/cm<sup>2</sup>, infine da -26,80 m fino a -30,00 m da p.c., massima profondità di investigazione, uno strato di terreni prevalentemente granulari addensati con un valore di resistenza alla punta medio di 125 kg/cm<sup>2</sup>.

La stratigrafia del sondaggio **S1** realizzato in corrispondenza della CPT1, spinto fino a -4,00 m da p.c., (visibile nella SCHEMA ALLEGATA S1) rileva:

<b>Dott. Geol. Thomas Veronese</b> <b>Via Romea, 80 44023 Vaccolino (FE)</b>				Inizio Esecuzione 06/06/2011	Fine Esecuzione //	Metodo Perfor. Sondaggio a coclea	Sondaggio S1					
Quota p.c.				Attrezzo Sonda oleodinamica								
Committente Immobiliare Adele					Località Ferrara							
Campioni Carotiere Semplice [T1] Carotiere Doppio [T2] Rimaneaggiati [R] Denison [D] Osterberg [OS] Shelby [SH] Indisturbati [IN]				<b>Foto</b>	Livello Acqua		Prof. Foro	Prof. Riv.	Assistente <b>T. Veronese</b>			
					Data	Mt. p.c.	4		Operatore <b>L. Lunghi</b>			
MT.	QUOTA DA P.C.	SIMBO LOGIA	CAMPIONI			DESCRIZIONE STRATIGRAFICA	% R.Q.D.	P.P. kg/cm <sup>2</sup>	T.V. kg/cm <sup>2</sup>	S.P.T.	Liv. acqua	Piezometro
			tipo	num	PROF		N1	N2	N3			
1						Sabbia limosa marrone nocciola addensata ricca di clasti di laterizio di dimensioni millimetriche						
2	2,20					Limo molto addensato grigio chiaro ricco di clasti di laterizio di dimensioni millimetriche						
3	2,90					Limo molto addensato grigio chiaro pseudocementato ricco di clasti di laterizio di dimensioni millimetriche						
	3,20					Limo molto addensato grigio chiaro ricco di clasti di laterizio di dimensioni millimetriche						
4	3,80					Calcinacci e laterizi						
	4,00											

La stratigrafia del sondaggio **S2** realizzato in corrispondenza della CPT3, spinto fino a -5,00 m da p.c., (visibile nella SCHEMA ALLEGATA S2) rileva:



Da queste indagini e dalla fotointerpretazione aerea di immagini fotografiche in B/N del sito, si possono ricostruire i caratteri geomorfologici del sito.

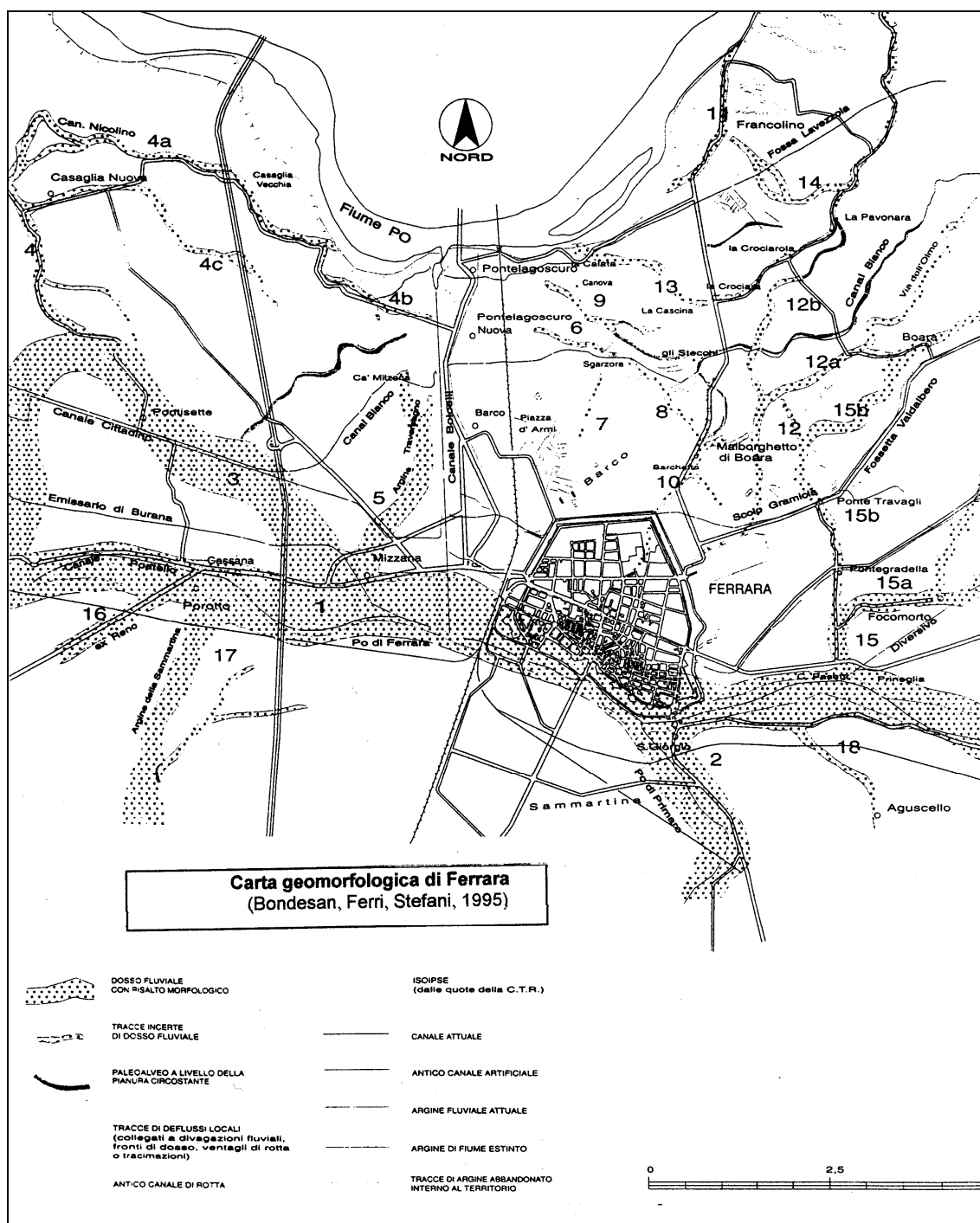
### 2.3. CARATTERI GEOMORFOLOGICI

Generalmente la formazione dei terreni di questa zona del comune di Ferrara è legata alla presenza di ambienti deposizionali di paleovalve dovuti al dosso fluviale storico del Fiume Po di Ferrara, posto in corrispondenza del sito in esame.

A ridosso e sopra i paleovalve, prevalgono sedimenti di alta energia idrodinamica, caratterizzati da sabbie e limi. Nelle aree più distanti prevalgono invece sedimenti di bassa energia idrodinamica, quali argille e argille limose.

Le quote topografiche del sito in esame, riferite ai dati della CTR della provincia di Ferrara, sono di circa +9,70/+10,10 m dal l.m.m.

Si propone nella **FIGURA 2.4** uno stralcio della **Carta geomorfologica** di Ferrara, dove si possono notare le forme geomorfologiche sopra citate.



**FIGURA 2.4 – Stralcio della Carta Geomorfologica del territorio comunale di Ferrara**

#### 2.4. CARATTERI IDROGEOLOGICI

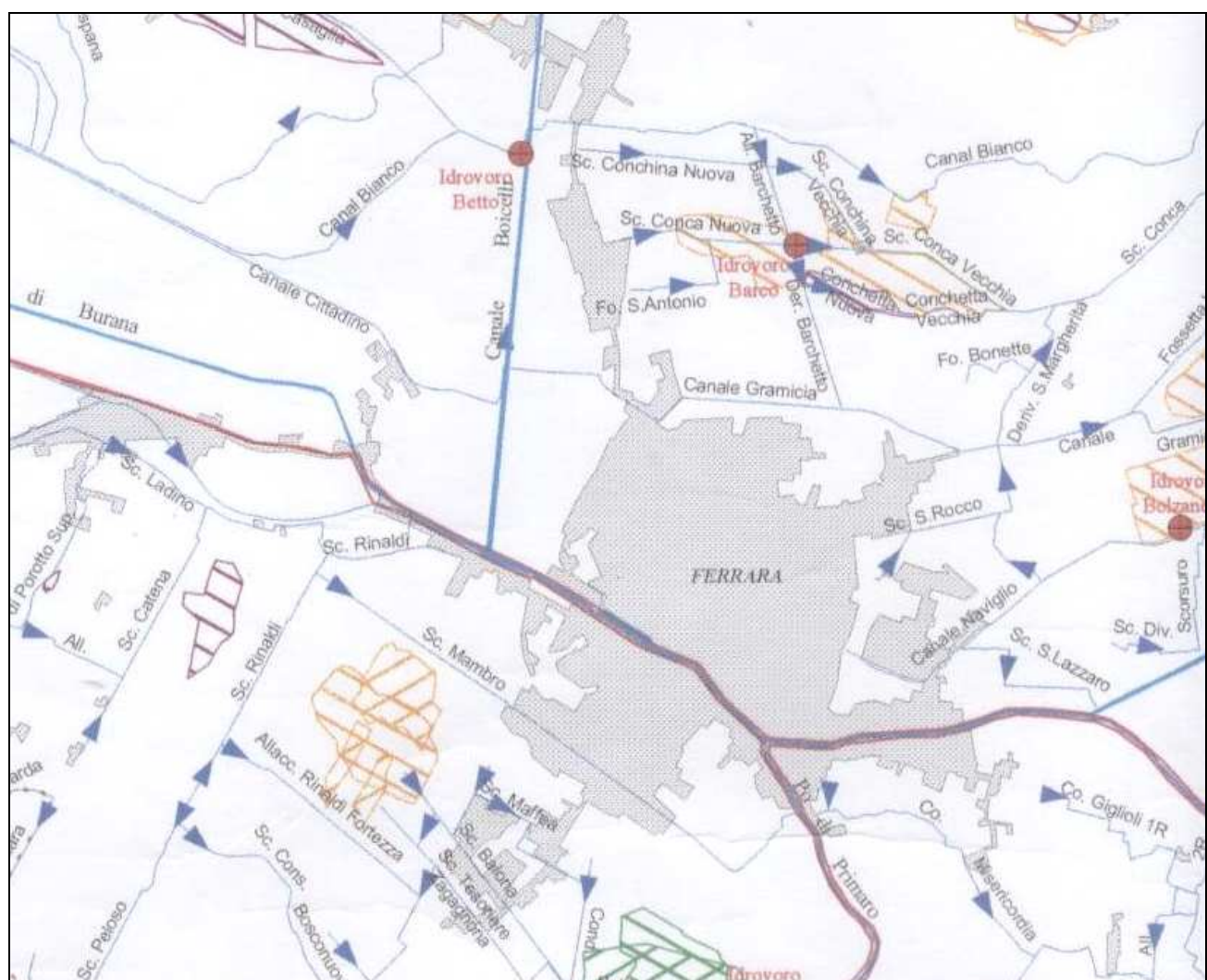
La superficie della falda freatica è stata misurata in data 19/05/2011 per la CPT1 e CPT2, e in data 11/05/2011 per la CPT3 rispettivamente alla profondità di -6,40 m, -5,10 m e -5,00 m dal p.c..

Le acque meteoriche che precipitano all'interno dell'area che delimita il sito in esame vengono recapitate alle opere di urbanizzazione cittadina.

L'area cittadina è soggetta a significative escursioni della falda freatica, influenzata dalle condizioni climatiche stagionali e dalla presenza del Po di Volano adiacente al sito in esame.

In **FIGURA 2.5** si riporta uno stralcio della Carta delle aree allagate in seguito a piogge intense negli anni 1995 e 1996 (Amministrazione provinciale di Ferrara), dove vengono evidenziati i tracciati dei canali di scolo.

Da questa carta si può inoltre evincere che l'area in esame non è stata soggetta ad allagamenti persistenti (area tratteggiata).



Per la validazione del modello idrogeologico è stata realizzata un'indagine specifica, consistente nella realizzazione di 4 piezometri spinti fino alla profondità di -10,00 m da p.c. con tratto fessurato da -4,00 m da p.c. fino alla massima profondità, -10,00 m da p.c..

Le bocche pozzi dei piezometri sono state quotate attraverso una campagna di rilevamento topografico; il piano ideale di riferimento (quota = 0,0) corrisponde al ferro guida del cancello d'ingresso, i dati rilevati sono riportati in **Tabella 2.1**.

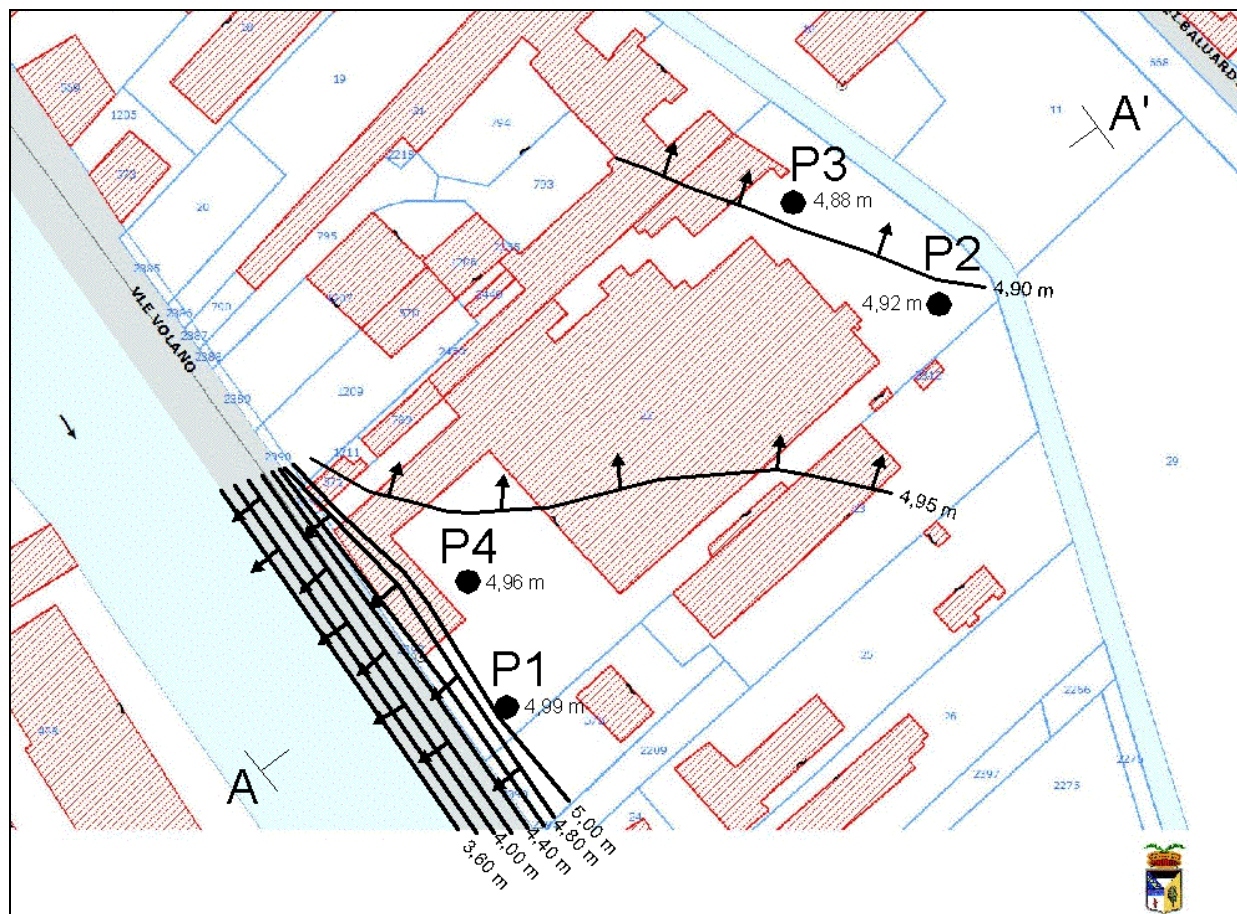
Dalla lettura delle quote d'acqua nei piezometri, effettuate in data 19 maggio 2011, si risale allo schema della circolazione dei flussi di falda.

Piezometro	Quota b.p. (m)	Quota superficie falda da b. p. (m)	Quota superficie falda da p. di riferimento (m)
<b>P1</b>	+10,200	-5,21	+4,990
<b>P2</b>	+11,850	-6,93	+4,921
<b>P3</b>	+11,928	-7,04	+4,888
<b>P4</b>	+10,020	-5,06	+4,960
<b>Banchina Po di Volano*</b>	+3,891	-0,30	+3,591

(N.B. il punto di riferimento preso è la banchina)

**Tabella 2.1** - Letture rilevamento topografico – 19/05/2011

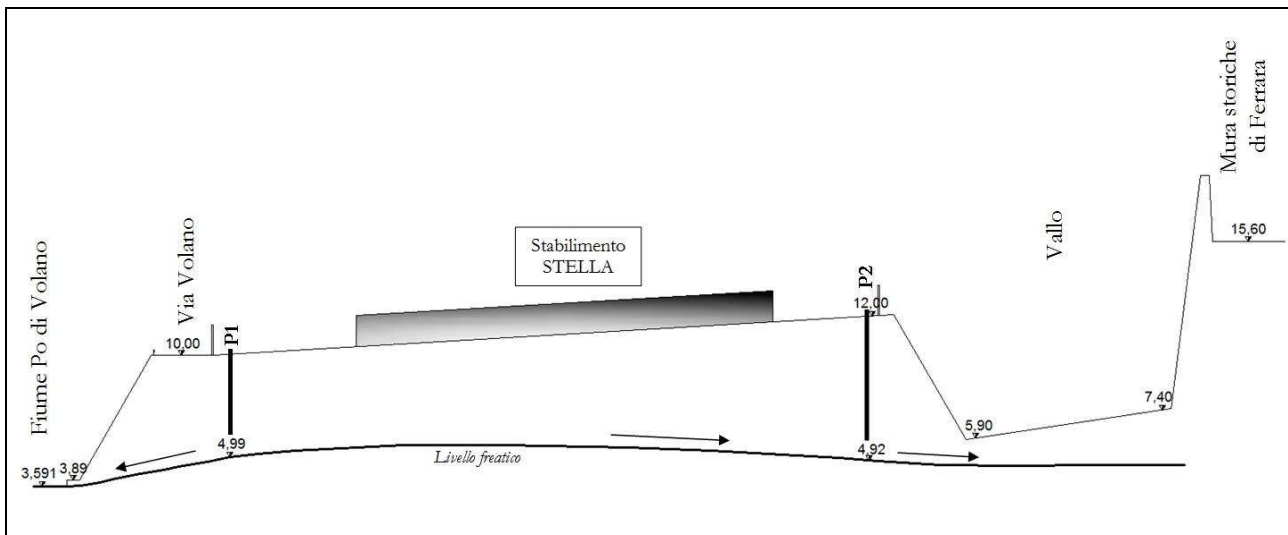
Si presenta in **FIGURA 2.6** una carta delle isofreatiche dell'area con ubicati i 4 piezometri (ricostruita con i dati misurati nei quattro piezometri e nelle acque del Po di Volano), con isolinee distanziate di 0,05 m, le quote sono riferite al piano ideale 0,0 che corrisponde al ferro guida del cancello d'ingresso.



**FIGURA 2.6** – Carta delle isofreatiche

Il dosso su cui sorge lo stabilimento fa da spartiacque, infatti, come si può vedere dalla carta delle isofreatiche i flussi sono diretti in parte verso il vallo posto a nord rispetto alle officine e in parte verso il Po di Volano posto a sud-ovest dello stabilimento.

Si veda in proposito anche la sezione schematica AA' (**FIGURA 2.7**) del tutto indicativa che mostra i flussi di falda al di sotto dell'area in esame, in parte diretti verso il Po di Volano in parte diretti verso il vallo e le mura storiche di Ferrara.



**FIGURA 2.7 – Sezione AA'**

### 3. DEFINIZIONE DEI PARAMETRI SISMICI

#### 3.1 DATI DI AUSILIO PER LA PROGETTAZIONE SISMICA

“La Regione Emilia Romagna non è esente da attività sismo-tettonica. La sua sismicità può però essere definita media relativamente alla sismicità nazionale, poiché i terremoti storici hanno avuto magnitudo massima compresa tra 5,5 e 6 della scala Richter e intensità del IX-X grado della scala MCS. I maggiori terremoti (Magnitudo > 5,5) si sono verificati nel settore sud-orientale, in particolare nell'Appennino Romagnolo e lungo la costa riminese. Altri settori interessati da sismicità frequente ma generalmente di minore energia (Magnitudo < 5,5) sono il margine appenninico-padano tra la Val d'Arda e Bologna, l'arco della dorsale ferrarese e il crinale appenninico” (Note illustrative, Carta Sismotettonica della Regione Emilia Romagna, 2004).

##### Categoria di suolo

La categoria di suolo dipende dal valore di  $V_{s30}$ . Il parametro  $V_{s30}$  rappresenta la media ponderata dei valori delle velocità dell'onda di taglio “S” nei primi 30 m di sottosuolo indagato, matematicamente espressa da (eq. 1):

$$V_{s30} = \frac{30}{\sum h_i/v_i} \quad (\text{eq. 1})$$

dove,

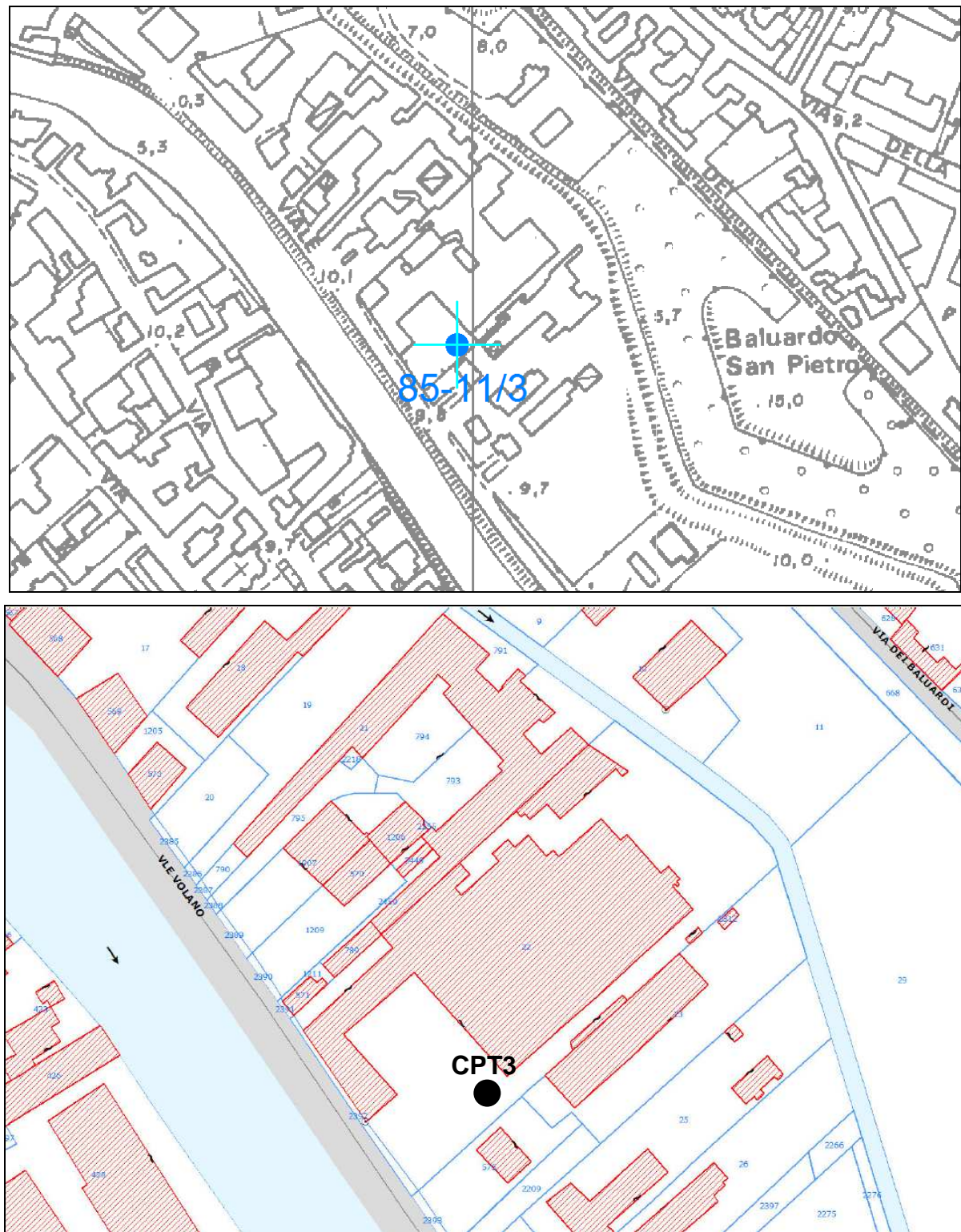
$V_{s30}$  : velocità media ponderata delle onde di taglio “S”,

$h_i$  : spessore dello strato iesimo,

$v_i$  : velocità delle onde di taglio “S” nello strato iesimo.

Il valore di  $Vs_{30}$  viene di seguito calcolato attraverso una correlazione con la prova penetrometrica statica CPT3 con rif. 85-11, che raggiunge la profondità di -30,00 m da p.c. Si ricorda che la  $Vs_{30}$  va calcolata dal piano di posa della fondazione.

In FIGURA 3.1 è riportato uno stralcio della CTR della provincia di Ferrara e una zoomata catastale con l'ubicazione della prova penetrometrica CPT3 con rif. 85-11.



**FIGURA 3.1** – Stralcio della CTR della provincia di Ferrara e zoomata catastale con ubicazione prova penetrometrica

In letteratura esistono numerose correlazioni empiriche tra le misure di  $q_c$  e di  $V_{s30}$  anche se il livello deformativo indotto nel terreno dalla penetrazione della punta penetrometrica provoca la rottura del materiale mentre le onde di taglio si propagano senza intaccare la struttura del terreno in condizioni di deformazioni praticamente elastiche.

La correlazione utilizzata è stata proposta da *Andrus et al. (2001)* ed utilizza valori di  $q_c$  e di  $V_{s30}$  normalizzati rispetto allo stato tensionale, in questa formula non viene tenuto conto dell'attrito laterale  $f_s$  e viene introdotto un coefficiente correttivo per l'età del deposito che viene indicato con  $ASF$ . Questo coefficiente viene utilizzato per tenere conto delle diverse caratteristiche di deformabilità e tessitura dei terreni risalenti al periodo Pleistocenico rispetto ai più recenti depositi Olocenici.

La correlazione è la seguente:

$$V_{s1} = ASF \cdot A \cdot (q_{c1N})^\alpha$$

dove:

$$q_{c1N} = \left( \frac{q_c}{p_a} \right) \left( \frac{p_a}{\sigma_v} \right)^{0.5} \text{ resistenza alla punta normalizzata alla tensione verticale;}$$

$$V_{s1} = V_s \left( \frac{p_a}{\sigma_v} \right)^{0.25} \text{ velocità corretta per tenere in conto lo stato tensionale verticale;}$$

**ASF** per depositi Olocenici = 1 (quali sono i depositi presenti nella pianura ferrarese alle profondità indagate) come suggerito da ANDRUS et al.;

$A$  e  $\alpha$  sono coefficienti empirici da calibrare sulla base delle misure di  $q_c$  e di  $V_s$  disponibili;

$p_a$  = pressione atmosferica.

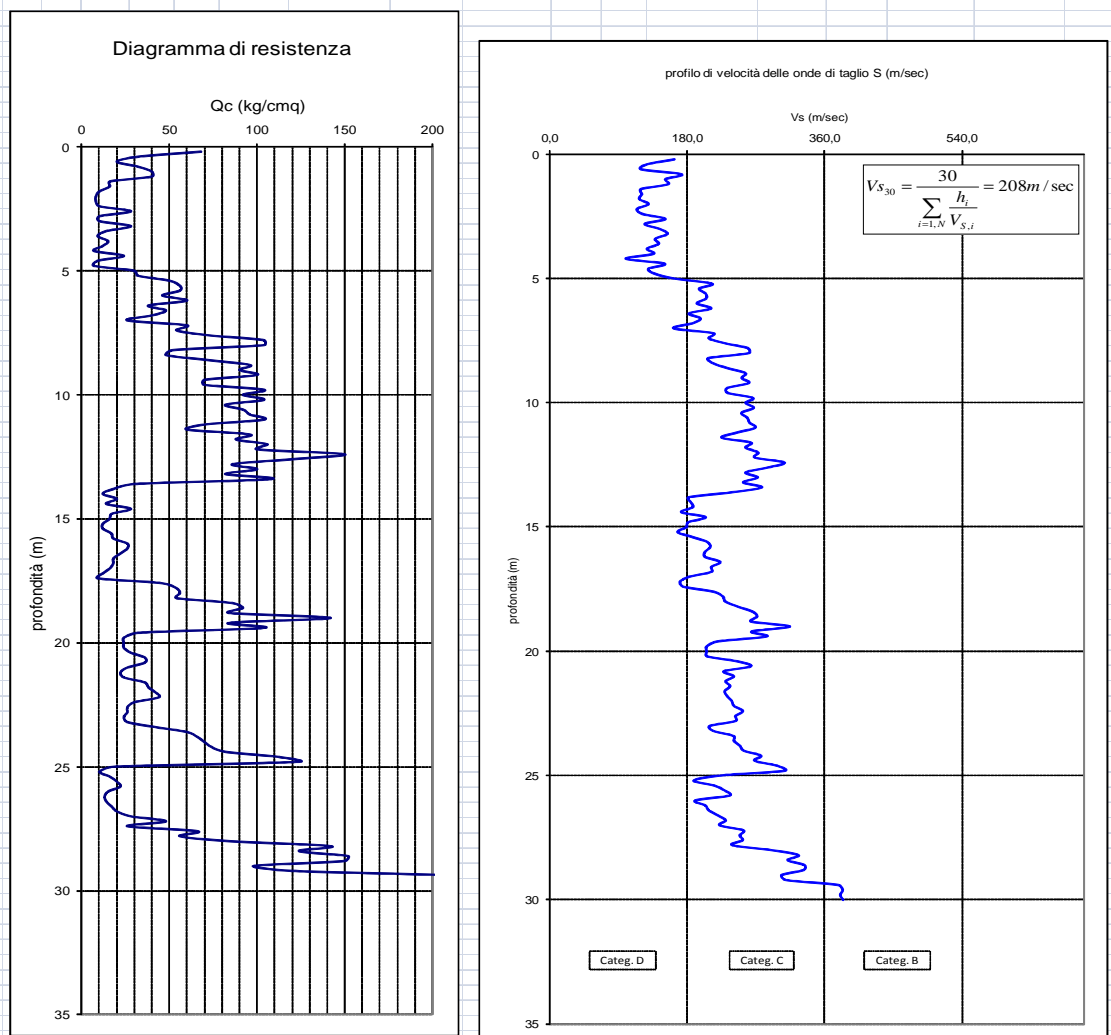
Nella **Tabella 3.1** sono riportati i coefficienti  $A$  e  $\alpha$ .

	Argilla	Limo	Sabbia
$A$	80.64	77.83	53.64
$\alpha$	0.28	0.24	0.33

**Tabella 3.1 – Coefficienti  $A$  (m/s) e  $\alpha$**

			Località: Ferrara		CPT di riferimento: 85-11	Data esecuzione CPT: #####												
Falda:	5 m	profondità prova	30 m															
periodo fondamentale T1 =	0,54 sec			$T1 = \frac{4H}{\left( \sum_{i=1}^n V_{Si} \cdot Hi \right) / H}$	ANDRUS	$V_{S30}$												
					207,59	m/sec												
media pesata delle velocità delle onde di taglio																		
Dobry et al. 1976 modificato in Linee Guida AGI 2005				$T1 = \frac{\sum_{i=1}^n 4 \cdot H_i}{V_{Si}}$														
periodo fondamentale T1 =	0,58 sec																	
Somma dei periodi naturali di ciascuno strato																		
prf.	RP	RP/RU	Z1	ZZ	$\Delta H$	mezzo strat	litosigia	qc(kg/cm2)	$\sigma' v(kg/cm2)$	A	$\alpha$	$V_{Si} i$	VS30 normalizzata	VS30	$\Delta H/V_s i$	$\sigma' v(kg/cm2)$	$\sigma' v(kg/cm2)$	$H \cdot V_s i$
0,2	68	25	0	0,2	0,2	0,1	SABBIA	68	0,037	53,64	0,33	371,9	163,1	0,0	0,037	-0,371	32,6	
0,4	32	20	0,2	0,4	0,2	0,3	LIMO	32	0,074	77,83	0,24	244,4	127,5	0,0	0,074	-0,317	25,5	
0,6	20	75	0,4	0,6	0,2	0,5	SABBIA	20	0,111	53,64	0,33	207,2	119,6	0,0	0,111	-0,263	23,9	
0,8	32	9	0,6	0,8	0,2	0,7	ARGILLA	32	0,148	80,64	0,28	278,1	172,5	0,0	0,148	-0,209	34,5	
1	40	23	0,8	1	0,2	0,9	LIMO	40	0,185	77,83	0,24	231,0	151,5	0,0	0,185	-0,155	30,3	
1,2	40	33	1	1,2	0,2	1,1	LIMO	40	0,222	77,83	0,24	226,0	155,1	0,0	0,222	-0,101	31,0	
1,4	16	60	1,2	1,4	0,2	1,3	SABBIA	16	0,259	53,64	0,33	167,4	119,4	0,0	0,259	-0,047	23,9	
1,6	16	40	1,4	1,6	0,2	1,5	SABBIA	16	0,296	53,64	0,33	163,7	120,8	0,0	0,296	0,007	24,2	
1,8	10	25	1,6	1,8	0,2	1,7	LIMO	10	0,333	77,83	0,24	154,3	117,2	0,0	0,333	0,061	23,4	
2	8	13	1,8	2	0,2	1,9	ARGILLA	8	0,37	80,64	0,28	165,9	129,4	0,0	0,37	0,115	25,9	
2,2	8	24	2	2,2	0,2	2,1	LIMO	8	0,407	77,83	0,24	142,8	114,1	0,0	0,407	0,169	22,8	
2,4	10	37	2,2	2,4	0,2	2,3	LIMO	10	0,444	77,83	0,24	149,1	121,7	0,0	0,444	0,223	24,3	
2,6	28	42	2,4	2,6	0,2	2,5	SABBIA	28	0,481	53,64	0,33	181,8	151,4	0,0	0,481	0,277	30,3	
2,8	10	25	2,6	2,8	0,2	2,7	LIMO	10	0,518	77,83	0,24	146,4	124,2	0,0	0,518	0,331	24,8	
3	10	19	2,8	3	0,2	2,9	ARGILLA	10	0,555	80,64	0,28	166,9	144,0	0,0	0,555	0,385	28,8	
3,2	28	52	3	3,2	0,2	3,1	SABBIA	28	0,592	53,64	0,33	175,6	154,1	0,0	0,592	0,439	30,8	
3,4	14	23	3,2	3,4	0,2	3,3	LIMO	14	0,629	77,83	0,24	155,0	138,1	0,0	0,629	0,493	27,6	
3,6	9	19	3,4	3,6	0,2	3,5	ARGILLA	9	0,666	80,64	0,28	157,9	142,7	0,0	0,666	0,547	28,5	
3,8	15	112	3,6	3,8	0,2	3,7	SABBIA	15	0,703	53,64	0,33	138,9	127,2	0,0	0,703	0,601	25,4	
4	12	36	3,8	4	0,2	3,9	LIMO	12	0,74	77,83	0,24	146,5	135,9	0,0	0,74	0,655	27,2	
4,2	7	52	4	4,2	0,2	4,1	SABBIA	7	0,777	53,64	0,33	106,3	99,8	0,0	0,777	0,709	20,0	
4,4	24	51	4,2	4,4	0,2	4,3	SABBIA	24	0,814	53,64	0,33	158,4	150,4	0,0	0,814	0,763	30,1	
4,6	9	27	4,4	4,6	0,2	4,5	LIMO	9	0,851	77,83	0,24	134,5	129,1	0,0	0,851	0,817	25,8	
4,8	7	18	4,6	4,8	0,2	4,7	ARGILLA	7	0,888	80,64	0,28	141,4	137,2	0,0	0,888	0,871	27,4	
5	30	56	4,8	5	0,2	4,9	SABBIA	30	0,925	53,64	0,33	166,9	163,7	0,0	0,925	0,925	32,7	
5,2	32	17	5	5,2	0,2	5,1	ARGILLA	32	0,979	80,64	0,28	213,4	212,3	0,0	0,979	0,425		
5,4	50	125	5,2	5,4	0,2	5,3	SABBIA	50	1,033	53,64	0,33	194,0	195,6	0,0	0,999	1,033	39,1	
5,6	56	140	5,4	5,6	0,2	5,5	SABBIA	56	1,087	53,64	0,33	199,7	203,9	0,0	1,086	1,087	40,8	
5,8	56	70	5,6	5,8	0,2	5,7	SABBIA	56	1,141	53,64	0,33	198,1	204,8	0,0	1,073	1,141	41,0	
6	46	86	5,8	6	0,2	5,9	SABBIA	46	1,195	53,64	0,33	184,3	192,7	0,0	1,11	1,195	38,5	
6,2	60	64	6	6,2	0,2	6,1	SABBIA	60	1,249	53,64	0,33	199,7	211,1	0,0	1,147	1,249	42,2	
6,4	38	285	6,2	6,4	0,2	6,3	SABBIA	38	1,303	53,64	0,33	170,5	182,2	0,0	1,184	1,303	36,4	
6,6	48	120	6,4	6,6	0,2	6,5	SABBIA	48	1,357	53,64	0,33	183,0	197,5	0,0	1,221	1,357	39,5	
6,8	40	60	6,6	6,8	0,2	6,7	SABBIA	40	1,411	53,64	0,33	171,2	186,6	0,0	1,258	1,411	37,3	
7	26	49	6,8	7	0,2	6,9	SABBIA	26	1,465	53,64	0,33	147,6	162,4	0,0	1,295	1,465	32,5	
7,2	60	64	7,2	7,2	0,2	7,1	SABBIA	60	1,519	53,64	0,33	193,3	214,6	0,0	1,332	1,519	42,9	
7,4	54	45	7,2	7,4	0,2	7,3	SABBIA	54	1,573	53,64	0,33	185,7	207,9	0,0	1,369	1,573	41,6	
7,6	72	60	7,4	7,6	0,2	7,5	SABBIA	72	1,627	53,64	0,33	203,0	229,3	0,0	1,406	1,627	45,9	
7,8	104	97	7,6	7,8	0,2	7,7	SABBIA	104	1,681	53,64	0,33	228,0	259,6	0,0	1,443	1,681	51,9	
8	104	71	7,8	8	0,2	7,9	SABBIA	104	1,735	53,64	0,33	226,8	260,3	0,0	1,48	1,735	52,1	
8,2	52	49	8	8,2	0,2	8,1	SABBIA	52	1,789	53,64	0,33	179,5	207,6	0,0	1,517	1,789	41,5	
8,4	48	36	8,2	8,4	0,2	8,3	LIMO	48	1,843	77,83	0,24	183,1	213,4	0,0	1,554	1,843	42,7	
8,6	72	49	8,4	8,6	0,2	8,5	SABBIA	72	1,897	53,64	0,33	197,9	232,3	0,0	1,591	1,897	46,5	
8,8	96	72	8,6	8,8	0,2	8,7	SABBIA	96	1,951	53,64	0,33	216,6	256,0	0,0	1,628	1,951	51,2	
9	90	75	8,8	9	0,2	8,9	SABBIA	90	2,005	53,64	0,33	211,1	251,2	0,0	1,665	2,005	50,2	
9,2	100	107	9	9,2	0,2	9,1	SABBIA	100	2,059	53,64	0,33	217,6	260,7	0,0	1,702	2,059	52,1	
9,4	70	48	9,2	9,4	0,2	9,3	SABBIA	70	2,113	53,64	0,33	192,6	232,3	0,0	1,739	2,113	46,5	
9,6	70	48	9,4	9,6	0,2	9,5	SABBIA	70	2,167	53,64	0,33	191,8	232,8	0,0	1,776	2,167	46,6	
9,8	104	71	9,6	9,8	0,2	9,7	SABBIA	104	2,221	53,64	0,33	217,7	265,8	0,0	1,813	2,221	53,2	
10	92	29	9,8	10	0,2	9,9	LIMO	92	2,275	77,83	0,24	208,7	256,4	0,0	1,85	2,275	51,3	
10,2	104	60	10	10,2	0,2	10,1	SABBIA	104	2,329	53,64	0,33	216,0	266,9	0,0	1,887	2,329	53,4	
10,4	82	31	10,2	10,4	0,2	10,3	LIMO	82	2,383	77,83	0,24	201,9	250,9	0,0	1,924	2,383	50,2	
10,6	92	35	10,4	10,6	0,2	10,5	LIMO	92	2,437	77,83	0,24	207,0	258,7	0,0	1,961	2,437	51,7	
10,8	96	40	10,6	10,8	0,2	10,7	SABBIA	96	2,491	53,64	0,33	208,1	261,4	0,0	1,998	2,491	52,3	
11	104	52	10,8	11	0,2	10,9	SABBIA	104	2,545	53,64	0,33	212,9	268,9	0,0	2,035	2,545	53,8	
11,2	70	33	11	11,2	0,2	11,1	LIMO	70	2,599	77,83	0,24	192,4	244,3	0,0	2,072	2,599	48,9	
11,4	60	41	11,2	11,4	0,2	11,3	SABBIA	60	2,653	53,64	0,33	176,3	225,1	0,0	2,109	2,653	45,0	
11,6	95	45	11,4	11,6	0,2	11,5	SABBIA	95	2,707	53,64	0,33	205,2	263,3	0,0	2,146	2,707	52,7	
11,8	88	55	11,6	11,8	0,2	11,7	SABBIA	88	2,761	53,64	0,33	198,8	256,2	0,0	2,183	2,761	51,2	
12	106	44	11,8	12	0,2	11,9	SABBIA	106	2,815	53,64	0,33	210,7	272,9	0,0	2,22	2,815	54,6	
12,2	100	63	12	12,2	0,2	12,1	SABBIA	100	2,869	53,64	0,33	206,0	268,2	0,0	2,257	2,869	53,6	
12,4	150	62	12,4	12,5	0,2	12,3	SABBIA	150	2,923	53,64	0,33	234,8	307,0	0,0	2,294	2,923	61,4	
12,6	120	69	12,4	12,6	0,2	12,5	SABBIA	120	2,977	53,64	0,33	217,5	285,7	0,0	2,331	2,977	51,7	
12,8	86	129	12,6	12,8	0,2	12,7	SABBIA	86	3,031	53,64	0,33	194,3	256,3	0,0	2,368	3,031	51,3	
13	100	39	12,8															

20,2	24	20	20,2	0,2	20,1	LIMO	24	5,029	77,83	0,24	137,5	205,9	0,0	3,737	5,029	41,2	
20,4	28	19	20,2	20,4	0,2	20,3	ARGILLA	28	5,083	80,64	0,28	163,3	245,1	0,0	3,774	5,083	49,0
20,6	36	19	20,4	20,6	0,2	20,5	ARGILLA	36	5,137	80,64	0,28	174,9	263,3	0,0	3,811	5,137	52,7
20,8	36	21	20,6	20,8	0,2	20,7	LIMO	36	5,191	77,83	0,24	150,9	227,8	0,0	3,848	5,191	45,6
21	26	16	20,8	21	0,2	20,9	ARGILLA	26	5,245	80,64	0,28	159,2	240,9	0,0	3,885	5,245	48,2
21,2	22	17	21	21,2	0,2	21,1	ARGILLA	22	5,299	80,64	0,28	151,7	230,2	0,0	3,922	5,299	46,0
21,4	24	15	21,2	21,4	0,2	21,3	ARGILLA	24	5,353	80,64	0,28	155,2	236,1	0,0	3,959	5,353	47,2
21,6	36	25	21,4	21,6	0,2	21,5	LIMO	36	5,407	77,83	0,24	150,2	229,1	0,0	3,996	5,407	45,8
21,8	38	28	21,6	21,8	0,2	21,7	LIMO	38	5,461	77,83	0,24	152,0	232,3	0,0	4,033	5,461	46,5
22	42	32	21,8	22	0,2	21,9	LIMO	42	5,515	77,83	0,24	155,5	238,3	0,0	4,07	5,515	47,7
22,2	44	22	22	22,2	0,2	22,1	LIMO	44	5,569	77,83	0,24	157,1	241,3	0,0	4,107	5,569	48,3
22,4	30	17	22,2	22,4	0,2	22,3	ARGILLA	30	5,623	80,64	0,28	164,1	252,7	0,0	4,144	5,623	50,5
22,6	26	18	22,4	22,6	0,2	22,5	ARGILLA	26	5,677	80,64	0,28	157,5	243,1	0,0	4,181	5,677	48,6
22,8	26	18	22,6	22,8	0,2	22,7	ARGILLA	26	5,731	80,64	0,28	157,3	243,3	0,0	4,218	5,731	48,7
23	24	30	22,8	23	0,2	22,9	LIMO	24	5,785	77,83	0,24	135,2	209,7	0,0	4,255	5,785	41,9
23,2	26	22	23	23,2	0,2	23,1	LIMO	26	5,839	77,83	0,24	137,7	214,0	0,0	4,292	5,839	42,8
23,4	42	26	23,2	23,4	0,2	23,3	LIMO	42	5,893	77,83	0,24	154,3	240,4	0,0	4,329	5,893	48,1
23,6	60	45	23,4	23,6	0,2	23,5	SABBIA	60	5,947	53,64	0,33	154,4	241,0	0,0	4,366	5,947	48,2
23,8	66	53	23,6	23,8	0,2	23,7	SABBIA	66	6,001	53,64	0,33	159,0	248,9	0,0	4,403	6,001	49,8
24	70	75	23,8	24	0,2	23,9	SABBIA	70	6,055	53,64	0,33	161,9	254,0	0,0	4,44	6,055	50,8
24,2	74	37	24	24,2	0,2	24,1	LIMO	74	6,109	77,83	0,24	176,0	276,7	0,0	4,477	6,109	55,3
24,4	82	88	24,2	24,4	0,2	24,3	SABBIA	82	6,163	53,64	0,33	170,1	268,0	0,0	4,514	6,163	53,6
24,6	112	76	24,4	24,6	0,2	24,5	SABBIA	112	6,217	53,64	0,33	188,3	297,3	0,0	4,551	6,217	59,5
24,8	124	103	24,6	24,8	0,2	24,7	SABBIA	124	6,271	53,64	0,33	194,4	307,7	0,0	4,588	6,271	61,5
25	18	14	24,8	25	0,2	24,9	ARGILLA	18	6,325	80,64	0,28	139,9	221,9	0,0	4,625	6,325	44,4
25,2	10	9	25	25,2	0,2	25,1	ARGILLA	10	6,379	80,64	0,28	118,5	188,4	0,0	4,662	6,379	37,7
25,4	16	9	25,2	25,4	0,2	25,3	ARGILLA	16	6,433	80,64	0,28	135,1	215,1	0,0	4,699	6,433	43,0
25,6	20	14	25,4	25,6	0,2	25,5	ARGILLA	20	6,487	80,64	0,28	143,6	229,2	0,0	4,736	6,487	45,8
25,8	22	19	25,6	25,8	0,2	25,7	ARGILLA	22	6,541	80,64	0,28	147,3	235,6	0,0	4,773	6,541	47,1
26	15	26	25,8	26	0,2	25,9	LIMO	15	6,595	77,83	0,24	118,9	190,5	0,0	4,81	6,595	38,1
26,2	13	26	26,2	26	0,2	26,1	ARGILLA	13	6,649	80,64	0,28	126,8	203,7	0,0	4,847	6,649	40,7
26,4	14	19	26,2	26,4	0,2	26,3	ARGILLA	14	6,703	80,64	0,28	129,4	208,1	0,0	4,884	6,703	41,6
26,6	17	13	26,4	26,6	0,2	26,5	ARGILLA	17	6,757	80,64	0,28	136,4	220,0	0,0	4,921	6,757	44,0
26,8	20	17	26,6	26,8	0,2	26,7	ARGILLA	20	6,811	80,64	0,28	142,6	230,4	0,0	4,958	6,811	46,1
27	28	23	26,8	27	0,2	26,9	LIMO	28	6,865	77,83	0,24	137,4	222,4	0,0	4,995	6,865	44,5
27,2	48	28	27	27,2	0,2	27,1	LIMO	48	6,919	77,83	0,24	156,3	253,4	0,0	5,032	6,919	50,7
27,4	26	12	27,2	27,4	0,2	27,3	ARGILLA	26	6,973	80,64	0,28	153,0	248,6	0,0	5,069	6,973	49,7
27,6	66	50	27,4	27,6	0,2	27,5	SABBIA	66	7,027	53,64	0,33	155,0	252,3	0,0	5,106	7,027	50,5
27,8	56	47	27,6	27,8	0,2	27,7	SABBIA	56	7,081	53,64	0,33	146,6	239,1	0,0	5,143	7,081	47,8
28	28	33	27,8	28	0,2	27,9	LIMO	84	7,135	77,83	0,24	178,1	291,0	0,0	5,18	7,135	58,2
28,2	142	133	28	28,2	0,2	28,1	SABBIA	142	7,189	53,64	0,33	198,8	325,5	0,0	5,217	7,189	65,1
28,4	124	93	28,2	28,4	0,2	28,3	SABBIA	124	7,243	53,64	0,33	189,9	311,5	0,0	5,254	7,243	62,3
28,6	152	228	28,4	28,6	0,2	28,5	SABBIA	152	7,297	53,64	0,33	202,8	333,3	0,0	5,291	7,297	66,7
28,8	150	161	28,6	28,8	0,2	28,7	SABBIA	150	7,351	53,64	0,33	201,7	332,1	0,0	5,328	7,351	66,4
29	98	33	28,8	29	0,2	28,9	LIMO	98	7,405	77,83	0,24	183,9	303,4	0,0	5,365	7,405	60,7
29,2	120	450	29	29,2	0,2	29,1	SABBIA	120	7,459	53,64	0,33	186,9	308,9	0,0	5,402	7,459	61,8
29,4	220	103	29,2	29,4	0,2	29,3	SABBIA	220	7,513	53,64	0,33	228,0	377,5	0,0	5,439	7,513	75,5
29,6	230	288	29,4	29,6	0,2	29,5	SABBIA	230	7,567	53,64	0,33	231,1	383,3	0,0	5,476	7,567	76,7
29,8	224	112	29,6	29,8	0,2	29,7	SABBIA	224	7,621	53,64	0,33	228,8	380,2	0,0	5,513	7,621	76,0
30	230	112	29,8	30	0,2	29,9	SABBIA	230	7,675	53,64	0,33	230,6	383,8	0,0	5,55	7,675	76,8



dott. Geologo Thomas Veronese - tel. 335/5240380  
via Roma 10 - 44021 Codigoro FE

Il valore di Vs30 calcolato risulta: Vs30 = 208 m/s e quindi la CATEGORIA di suolo è C.  
Tale valore vede assunto con uno scarto di  $\pm 10\%$ , come per tutti i metodi di acquisizione di tale parametro.

**Vs30 = 208 m/s    CATEGORIA di suolo C**

Con il foglio di calcolo redatto dallo scrivente, è stato stimato anche il periodo fondamentale T1 del deposito stratificato orizzontalmente, utilizzando le due correlazioni proposte da Dobry et alii, 1976, modificato in Linee Guida AGI “Aspetti geotecnici della progettazione in zona sismica” 2005.

I due metodi utilizzano le seguenti espressioni:

media pesata delle velocità delle onde di taglio:

$$T_1 = \frac{4H}{V_s} = 0,54 \text{ sec}$$

$$\overline{V_s} = \sum_{i=1}^n V_{si} \cdot \frac{H_i}{H}$$

somma dei periodi naturali di ciascuno strato

$$T_1 = \frac{2\pi}{\omega_4} = 0,58 \text{ sec}$$

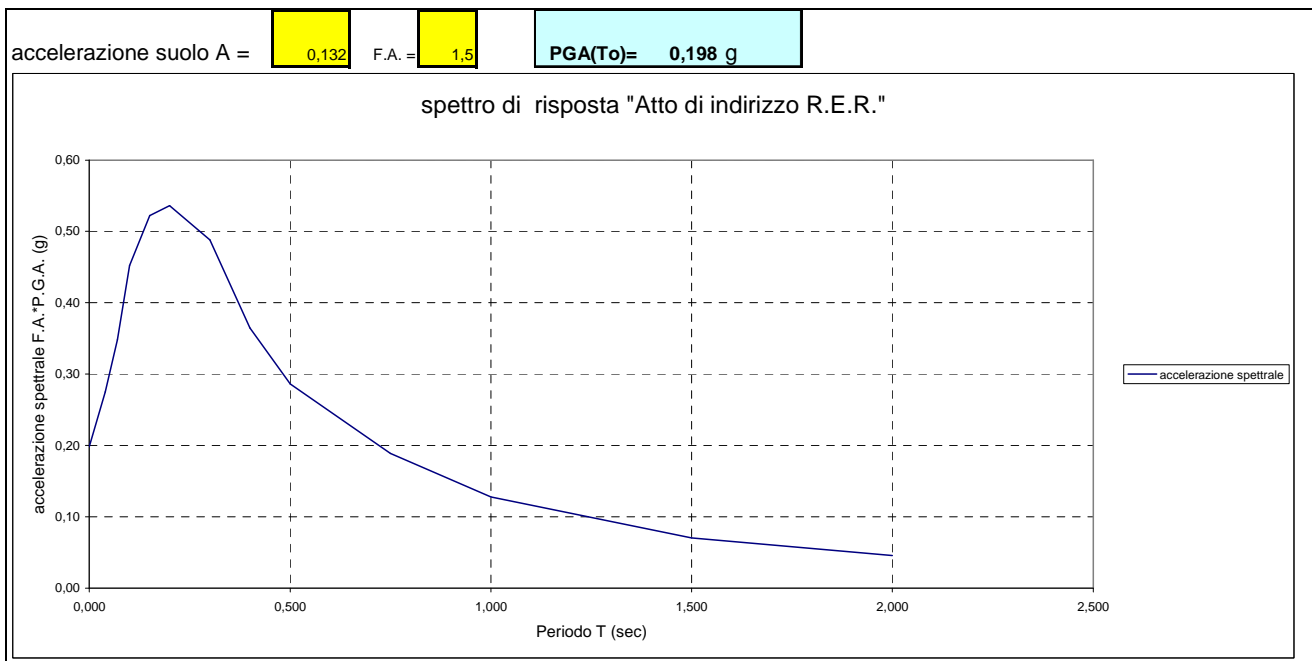
$$\omega_4^2 = \left( 3 \cdot \sum_{i=1}^n V_{si} \cdot H_i \right) \frac{1}{H^3}$$

#### Spettro da “Atto di indirizzo, n°112 del 2 maggio 2007”

La nuova classificazione sismica introdotta con l’Atto di Indirizzo e coordinamento tecnico” per la microzonizzazione sismica della regione Emilia Romagna, prevede per il comune di Ferrara la seguente accelerazione massima orizzontale di picco al suolo, cioè per T=0, espressa in frazione dell’accelerazione di gravità g ( $a_{refg}$ ):

**Accelerazione PGA  $_{(Vs30 < 350 \text{ m/sec})} = 0,132 \text{ g suolo rigido } (Vs30 > 800 \text{ m/sec})$**

Per un valore della Vs30 inferiore 300 m/sec, il fattore di amplificazione è pari a F.A.=1,5. In **FIGURA 3.2**, si riporta lo spettro di risposta calcolato per il Comune di Ferrara, con un valore di  $a_{refg}$  pari a 0,132 g ed un fattore di amplificazione pari a 1.5.

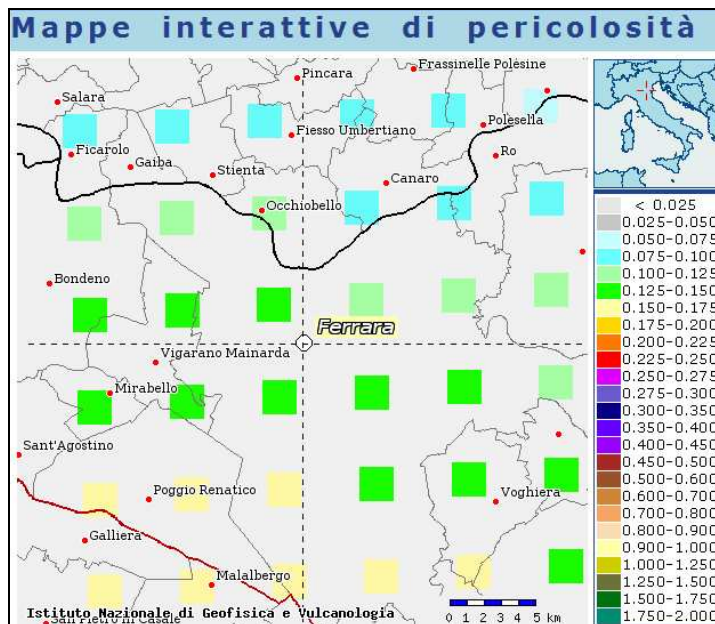


**FIGURA 3.2 – Spettro di risposta per il suolo rilevato a Ferrara.**

#### Secondo ‘D.M. 14 gennaio 2008’

La classificazione sismica introdotta dall’OPCM 3519/2006, recepita dal D.M. 14/01/2008, attribuisce al comune di Ferrara un valore di accelerazione massima orizzontale di picco al suolo appartenente agli intervalli 0,125g – 0,150g, con T=0, su suolo rigido ( $V_{s30} > 800 \text{ m/sec}$ ) e con una probabilità di superamento del 10% in 50 anni. Secondo il vigente D.M., gli spettri di risposta rappresentano delle componenti (orizzontale e verticale) delle azioni sismiche di progetto di un generico sito del territorio nazionale.

In **FIGURA 3.3**, si riporta un particolare della mappa di pericolosità sismica redatta dall’INGV, secondo la Tabella 1, allegata alle nuove Norme Tecniche per le Costruzioni.



**FIGURA 3.3 – carta pericolosità sismica, da progetto DCP – INGV – S1, fonte: <http://esse1-gis.mi.ingv.it>**

Per la scelta della strategia di progettazione, il progettista procede in funzione delle caratteristiche dell'opera progettata e definisce lo spettro di risposta. Ai fini della normativa, *le forme spettrali sono definite, per ciascuna delle probabilità di superamento nel periodo di riferimento  $P_{VR}$ , a partire dai valori dei seguenti parametri su sito di riferimento rigido orizzontale:*

$a_g$  accelerazione orizzontale massima al sito;

$F_0$  valore massimo del fattore di amplificazione dello spettro in accelerazione orizzontale

$T^{*C}$  periodo di inizio del tratto a velocità costante dello spettro in accelerazione orizzontale.

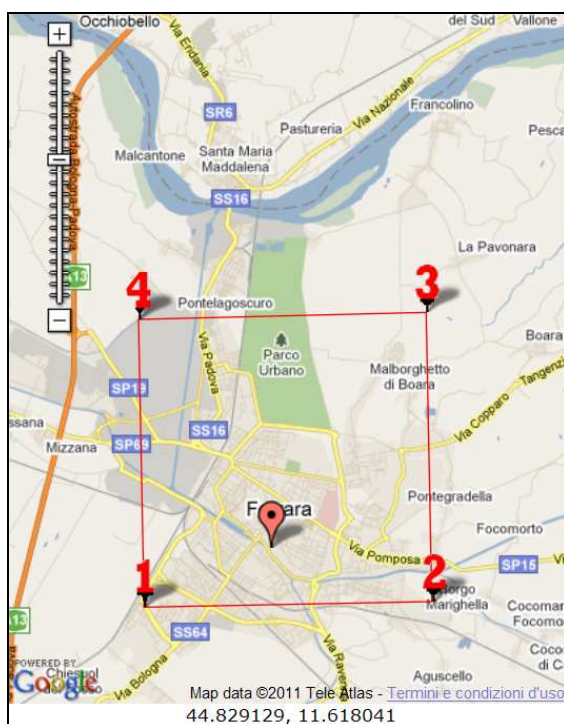
In allegato alla norma per tutti i siti italiani, sono forniti i valori di  $a_g$ ,  $F_0$  e  $T^{*C}$  necessari per la determinazione delle azioni sismiche.

Nella **Tabella 3.2** tratta dalla normativa si riportano i valori di probabilità di superamento per i diversi stati limiti a cui si può spingere la progettazione.

Stati Limite		$P_{V_R}$ : Probabilità di superamento nel periodo di riferimento $V_R$
Stati limite di esercizio	SLO	81%
	SLD	63%
Stati limite ultimi	SLV	10%
	SLC	5%

**Tabella 3.2.** D.M. 14-01-2008 Probabilità di superamento  $P_{VR}$  al variare dello stato limite considerato

Di seguito si riportano i parametri sismici calcolati secondo un approccio “sito dipendente”. Come indicato nell’Allegato A del D.M. 14 gennaio 2008, si possono ottenere i valori dei suddetti parametri spettrali ( $a_g$ ,  $F_0$  e  $T^{*C}$ ) del sito in esame utilizzando come riferimento le informazioni disponibili nel reticolo di riferimento (**FIGURA 3.4**).



**FIGURA 3.4 – vertici della griglia di riferimento.**

Si valutano i parametri spettrali ag, F0 e T\*c per il sito di progetto (approccio “sito-dipendente”) considerando l’amplificazione stratigrafica e topografica (**T1**) (Cap. 3.2 del D.M.2008) la categoria del sottosuolo (**C**) e la classe d’uso della costruzione (**II**) (Cap. 2.4 del D.M.2008).

Sarà poi il progettista a definire lo spettro di risposta in funzione delle caratteristiche dell’opera progettata e alla strategia di progettazione. Quello che si riporta di seguito deriva solo da considerazioni su ipotesi di massima.

### Parametri sismici

Tipo di elaborazione: Fondazioni

Sito in esame.

latitudine: 44,8300575086238  
longitudine: 11,6190332954539  
Classe: 2  
Vita nominale: 50

Siti di riferimento

Sito 1	ID: 15402	Lat: 44,8197	Lon: 11,5883	Distanza: 2685,911
Sito 2	ID: 15403	Lat: 44,8208	Lon: 11,6586	Distanza: 3284,423
Sito 3	ID: 15181	Lat: 44,8708	Lon: 11,6571	Distanza: 5434,580
Sito 4	ID: 15180	Lat: 44,8697	Lon: 11,5867	Distanza: 5093,909

Parametri sismici

Categoria sottosuolo: C  
Categoria topografica: T1  
Periodo di riferimento: 50anni  
Coefficiente cu: 1

Operatività (SLO):

Probabilità di superamento:	81	%
Tr:	30	[anni]
ag:	0,037 g	
Fo:	2,548	
Tc*:	0,252	[s]

Danno (SLD):

Probabilità di superamento:	63	%
Tr:	50	[anni]
ag:	0,047 g	
Fo:	2,504	
Tc*:	0,275	[s]

Salvaguardia della vita (SLV):

Probabilità di superamento:	10	%
Tr:	475	[anni]
ag:	<b>0,136 g</b>	
Fo:	2,595	
Tc*:	0,274	[s]

Prevenzione dal collasso (SLC):

Probabilità di superamento:	5	%
Tr:	975	[anni]
ag:	0,182 g	
Fo:	2,552	
Tc*:	0,280	[s]

Coefficienti Sismici

SLO:

Ss: 1,500  
Cc: 1,650  
St: 1,000  
Kh: 0,011  
Kv: 0,006  
Amax: 0,551  
Beta: 0,200

SLD:

Ss: 1,500  
Cc: 1,610  
St: 1,000  
Kh: 0,014  
Kv: 0,007  
Amax: 0,690  
Beta: 0,200

SLV:

Ss: 1,490  
Cc: 1,610  
St: 1,000  
Kh: 0,049  
Kv: 0,024  
**Amax: 1,983 (Amax/g= 0,202)**  
Beta: 0,240

SLC:

Ss: 1,420  
Cc: 1,600  
St: 1,000  
Kh: 0,062  
Kv: 0,031  
Amax: 2,541  
Beta: 0,240

Magnitudo di progetto

Nella **FIGURA 3.5** sono riportati i sismi che hanno colpito in un raggio di 30 km attorno al sito di intervento, tra la provincia di Ferrara e quella di Modena in tempi storici.

**CPTI04 - Risultato dell'interrogazione per parametri**

Interrogazione effettuata sui seguenti parametri:

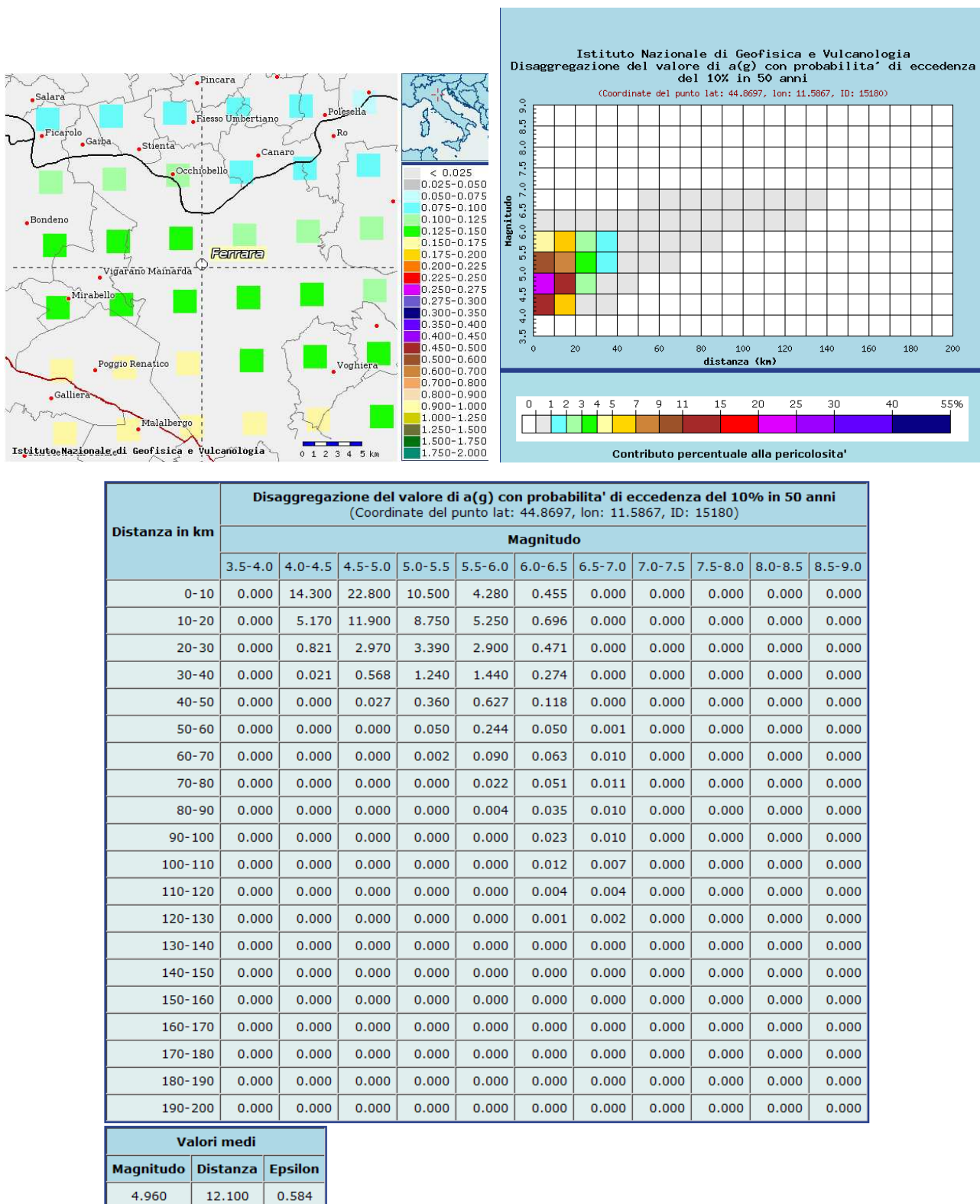
Area circolare con centro C (44.82, 11.61) e raggio 30 km

N	Tr	Anno	Me	Gi	Or	Mi	Se	AE	Rt	Np	Imax	Io	TI	Lat	Lon	TL	Maw	Daw	TW	Ma	Das	TS	Msp	Dsp	ZS9	TZ	Ncft	Nnt	Ncpt
51	DI	1234	3	20				FERRARA	DOM	5	70	70	44.836	11.618	A	5.17	0.30	4.80	0.45	4.99	0.42	912	G	860	51				
66	DI	1285	12	13				FERRARA	DOM	2	70	65	44.836	11.618	A	5.03	0.33	4.60	0.49	4.80	0.45	912	G	861	66				
131	DI	1410	5	9	22	30		FERRARA	DOM	3	65	65	44.836	11.618	A	5.03	0.33	4.60	0.49	4.80	0.45	912	G	863	131				
139	CP	1425	8	10	19			FERRARA SUD	POS85		60		44.833	11.667	A	4.83	0.26	4.30	0.39	4.53	0.36	912	G	864	139				
178	DI	1483	3	3	22			FERRARA	DOM	1	65	55	44.836	11.618	A	4.63	0.13	4.00	0.20	4.25	0.19	912	G	865	178				
207	CP	1508	10	18	15			FERRARA SUD	POS85		60		44.833	11.667	A	4.83	0.26	4.30	0.39	4.53	0.36	912	G	866	207				
257	DI	1561	11	24	1	25		Ferrara	CFTI	5	65	55	M	44.78	11.45	A	4.63	0.13	4.00	0.20	4.25	0.19	912	G	229	867	257		
262	DI	1570	11	17	19	10		Ferrara	CFTI	60	80	75		44.82	11.63	A	5.48	0.11	5.27	0.17	5.43	0.16	912	G	231	868	262		
266	DI	1574	3	17	3	40		FINALE EMILIA	DOM	4	70	70	44.833	11.294	A	5.12	0.22	4.73	0.33	4.92	0.31	912	G	869	266				
323	DI	1624	3	18	19	45		Argenta	CFTI	17	85	75		44.65	11.85	A	5.43	0.22	5.19	0.32	5.35	0.30	912	G	243	870	323		
416	DI	1695	2	28				FERRARA	DOM	1	55	55	44.836	11.618	A	4.63	0.13	4.00	0.20	4.25	0.19	912	G	871	416				
521	DI	1743	5	29				FERRARA	DOM	1	65	65	44.836	11.618	A	5.03	0.33	4.60	0.49	4.80	0.45	912	G	872	521				
654	DI	1787	7	16	10			Ferrara	CFTI	3	65	55	M	44.83	11.62	A	4.63	0.13	4.00	0.20	4.25	0.19	912	G	339	873	654		
683	DI	1796	10	22	4			Emilia orientale	CFTI	26	70	70		44.62	11.67	A	5.63	0.15	5.48	0.23	5.62	0.23	912	G	352	874	683		
1287	DI	1898	1	16	12	10	5	Romagna settent.	CFTI	73	70	65		44.65	11.77	A	5.03	0.33	4.60	0.49	4.80	0.45	912	G	452	879	1287		
1482	CP	1908	6	28	3	19	58	FINALE EMILIA SUD	POS85		60		44.8	11.3	A	4.83	0.26	4.30	0.39	4.53	0.36	912	G	881	1482				
1499	DI	1909	1	13	45			BASSA PADANA	DOM	799	65	65	44.579	11.688	A	5.53	0.05	5.33	0.08	5.48	0.07	912	G	882	1499				
1729	DI	1922	5	24	21	17		CENTO	DOM	6	45	35	44.862	11.517	A	4.50	0.14	3.81	0.21	4.07	0.19	912	G	883	1729				
2094	DI	1956	2	20	1	29		ARGENTA	DOM	32	55	55	44.919	11.899	A	4.98	0.07	4.52	0.10	4.73	0.09			885	2094				
2456	DI	1986	12	6	17	7	19	BONDENO	DOM	604	60	60	44.879	11.334	A	4.56	0.09	4.30	0.13	4.53	0.12	912	G	9019	2456				

<b>Maw</b>	Magnitudo momento	--
<b>Daw</b>	Errore associato alla stima di Maw	--
<b>TW</b>	codice di determinazione di Maw	O valore osservato
<b>Mas</b>	Magnitudo calcolata sulle onde di superficie	fino al 1980 coincide con Ma di CPTI99
<b>Das</b>	Errore associato alla stima di Mas	fino al 1980 coincide con Da di CPTI99
<b>TS</b>	Codice di determinazione delle magnitudo per la zona etnea	En: valore per il calcolo del quale è stata usata la relazione Io/Mm di Azzaro e Barbano (1997)
<b>Msp</b>	Magnitudo da utilizzare in combinazione con la relazione di attenuazione di Sabetta e Pugliese (1996)	per Ms>5.5: Msp=Ms per Ms<=5.5: Msp=(Ms+0.584)/1.079
<b>Dsp</b>	Errore associato alla stima di Msp	--
<b>ZS9</b>	Zona sorgente di ZS9 cui l'evento è assegnato	--

**FIGURA 3.5**: sismi che hanno colpito l'area in esame in un raggio di 30 km (Fonte: <http://emidius.mi.ingv.it/CPTI04/ricerca04.php>)

In **FIGURA 3.6** è visibile il grafico di disaggregazione, in cui si riporta il contributo percentuale alla pericolosità delle diverse coppie di magnitudo e distanza, con cui si individua la coppia di valori che domina lo scenario sismico.



**FIGURA 3.6** - grafico di disaggregazione <http://esse1-gis.mi.ingv.it/>

Dunque la magnitudo massima attesa nei tempi di ritorno adottati è di 4,96 Mw, ovvero 5,00 Mw, con una distanza epicentrale di 12,100 km circa.

Conservativamente si utilizza una magnitudo di 5,5 per effettuare le analisi della liquefazione delle sabbie.

### 3.2 VERIFICA DELLA RESISTENZA ALLA LIQUEFAZIONE DELLE SABBIE

L'obiettivo della riduzione del rischio sismico passa anche per l'analisi delle componenti territoriali che possono innescare fenomeni negativamente impattanti con le strutture antropiche e la loro sicurezza. Vale comunque la pena evidenziare che laddove sono presenti i caratteri predisponenti, non è detto che si possano realizzare le condizioni di cause scatenanti; ovvero un terreno sabbioso può avere tutti i requisiti granulometrici e di addensamento per liquefarsi, ma nell'area non si verificherà un sisma con energia sufficiente ad indurre liquefazione.

In particolare vengono ritenuti **motivi di esclusione dalla verifica a liquefazione**, la verifica di almeno una di queste circostanze:

1. Eventi sismici attesi di magnitudo di momento Mw inferiore a 6 e durata inferiore a 15 sec. (“La Liquefazione del terreno in condizioni sismiche” – Crespellani, Nardi, Simoncini – Zanichelli 1988).

2. Accelerazioni massime attese al piano campagna in condizioni *free-field* minori di 0,1g;

3. Accelerazioni massime al piano campagna in condizioni *free-field* minori di 0,15g e terreni con caratteristiche ricadenti in una delle tre seguenti categorie:

- frazione di fine, FC, superiore al 20% (FC = frazione passante al setaccio ASTM 200, 0,074mm), con indice di plasticità PI>10;

- $FC \geq 35\%$  e resistenza  $(N_I)_{60} > 20$ ;

- $FC \leq 5\%$  e resistenza  $(N_I)_{60} > 25$

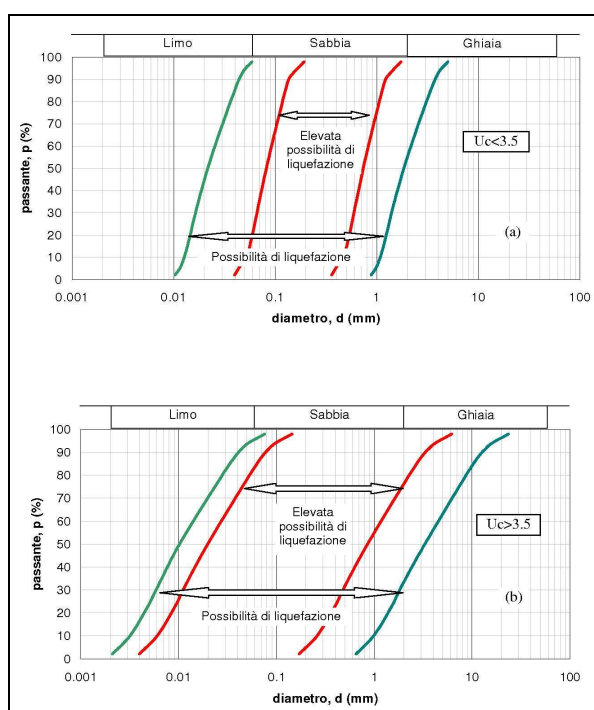
Dove  $(N_I)_{60}$  è il valore normalizzato della resistenza penetrometrica della prova SPT.

4.Distribuzione granulometrica esterna alle zone indicate nella **FIGURA 3.7** da distinguere i materiali in funzione del coefficiente di uniformità  $U_c < 3,5$  o  $U_c > 3,5$ .

5.Profondità media stagionale della falda superiore ai 15m dal piano campagna.

6.Copertura di strati superficiali non liquefacibili con spessore maggiore di 3m, oppure con spessore maggiore di 5m per magnitudo maggiori di M>7.

7.Un ulteriore motivo di esclusione dalla verifica di liquefazione è dato dal valore della **densità relativa** Dr del deposito. Gibbs ha eseguito diversi studi su risultati di vari autori stabilendo che una densità relativa pari a 70% è valore limite tra terreni liquefacibili e non liquefacibili (*Manuale di geotecnica per l'ingegneria civile*” di Nunziante Marino, Maggioli Editore, 2006), di conseguenza tutti i terreni con Dr > 70% vengono automaticamente esclusi dalla verifica alla liquefazione.



**FIGURA 3.7:** Fusi granulometrici liquefacibili

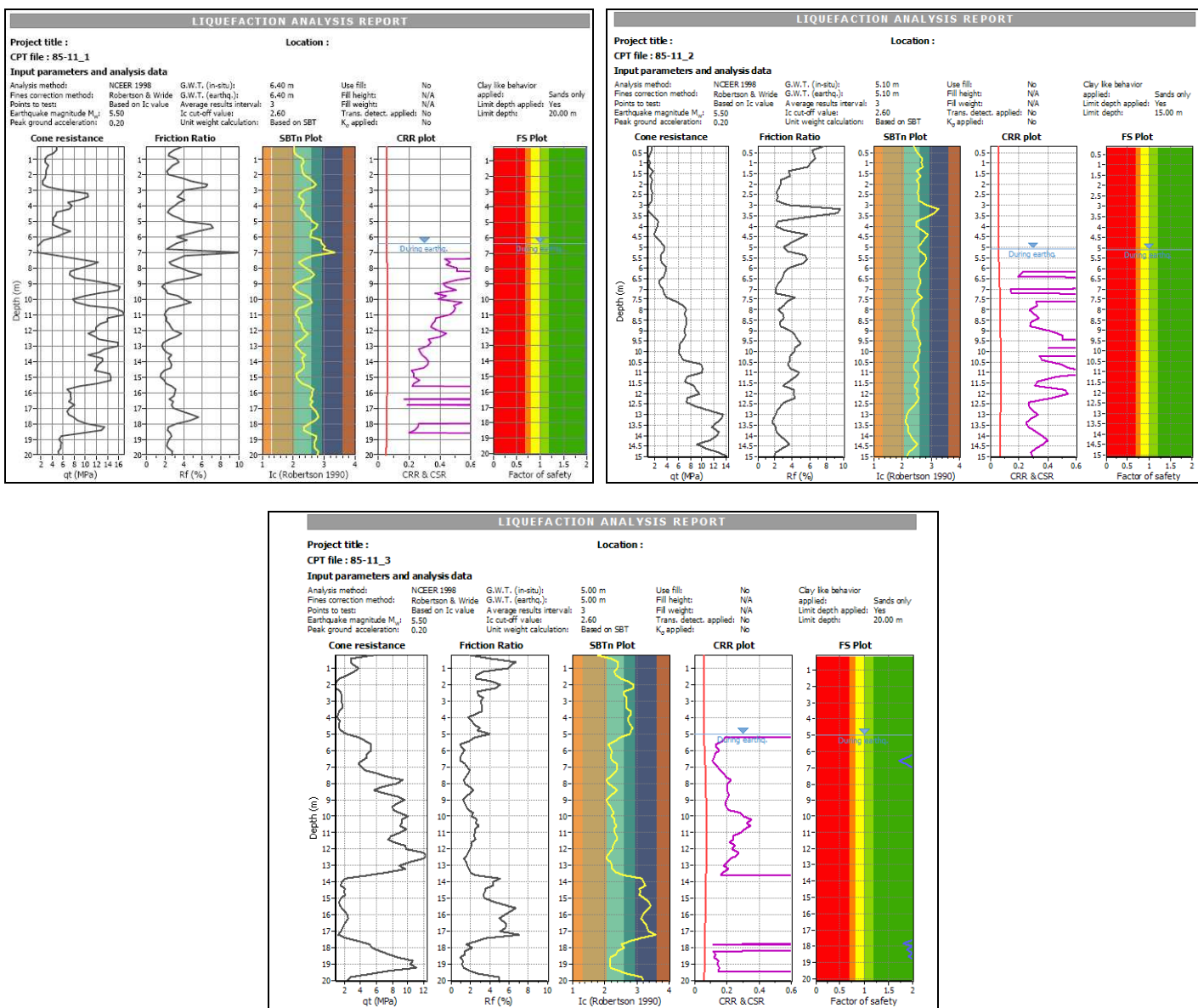
Per la verifica della liquefazione delle sabbie è stato utilizzato un software di calcolo che analizzando ogni strato da 20 cm individuato dalla prova CPT, ne verifica la potenzialità di liquefazione.

Ai fini del calcolo sono state considerate tutte e tre le prove penetrometriche CPT1, CPT2 e CPT3 con Rifer. 85-11.

### Atto di indirizzo

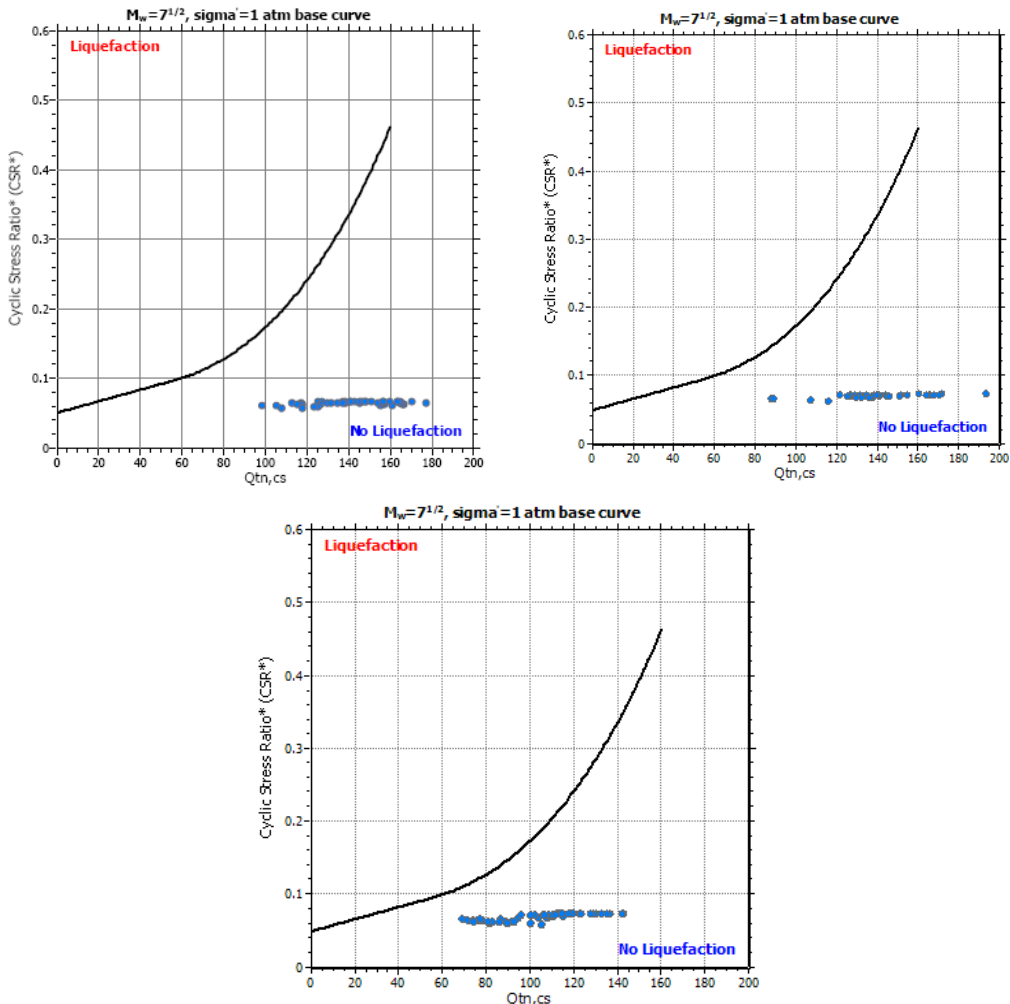
Trattandosi di piano urbanistico attuativo i dati di imput vengono estrapolati da "Atto di Indirizzo e coordinamento tecnico" per gli studi di microzonizzazione sismica. Accelerazione PGA = 0,132 g, F.A.= 1,5, Magnitudo conservativamente pari a 5,5, Fattore di sicurezza F=1,00. (**FIGURA 3.8**)

Nell'area di studio il fenomeno della liquefazione non è un effetto di sito atteso.



**FIGURA 3.8 – dati di imput**

In **FIGURA 3.9**, si riporta un diagramma CSR,  $qc_1 N_{cs}$ , in cui si schematizzano i comportamenti di non liquefazione degli strati esaminati.



**FIGURA 3.9** – Diagramma per la stima della resistenza normalizzata alla liquefazione CRR di un terreno sabbioso saturo in funzione della percentuale di fini FC e sulla base dei valori  $N_{SPT}$ ,  $q_c$  e  $V_s$  corretti.

Dei calcoli effettuati si riporta solo la sintesi dei risultati finali.

Inoltre è stato verificato l'indice del potenziale di liquefazione,  $I_L$ , definito dalla seguente relazione:

$$I_L = \int_0^{20} F(z) w(z) dz,$$

in cui  $z$  è la profondità dal piano di campagna in metri e  $w(z) = 10 - 0.5z$   
 Ad una quota  $z$  il fattore  $F(z) = F$  vale:

$$F = 1 - F_L \text{ se } F_L \leq 1.0$$

$$F = 0 \text{ se } F_L > 1.0$$

dove  $F_L$  è il fattore di sicurezza alla liquefazione alla quota considerata.

Con il software si calcola nei primi 20,00 m, il valore del potenziale di liquefazione per tutti gli strati incoerenti (Metodo Iwasaki) risulta uguale a **0,00**.

In base alla **TABELLA 3.3** i terreni risultano **non liquefacibili**.

Potenziale Liquefazione $I_{PL}$	Classificazione
$I_{PL} = 0$	<i>Non liquefacibile</i>
$0 < I_{PL} \leq 2$	<i>Basso</i>
$2 < I_{PL} \leq 5$	<i>Moderato</i>
$2 < I_{PL} \leq 15$	<i>Alto</i>
$I_{PL} \geq 15$	<i>Molto Alto</i>

**TABELLA 3.3 – Classificazione indice potenziale liquefazione**

### 3.3 CALCOLO CEDIMENTI POSTSISMICI IN TERRENI GRANULARI

Dell'elaborazione completa dei sedimenti post sismici si riporta solo il risultato finale. Sono stati stimati i sedimenti postsismici nei banchi sabbiosi rilevati con la prova CPT di riferimento. E' stato dunque utilizzato lo stesso software di analisi con cui si sono valutati i terreni per strati da 20 cm individuati dalla prova CPT.

Dalle elaborazioni, si ricava che con una Magnitudo di 5.50, non sono presenti livelli con un fattore di resistenza alla liquefazione inferiore a 1,0 (Atto di Indirizzo 112/2007), non determinando dunque sedimenti post sismici.

### 3.4 CALCOLO CEDIMENTI POSTSISMICI IN TERRENI COESIVI

Nei depositi coesivi molto soffici ( $c_u \leq 70\text{kPa}$ ) e plasticci ( $I_p \geq 30\%$ ) in cui si prevede un incremento delle pressioni interstiziali  $\frac{\Delta u}{\sigma'_0} \geq 0.3$  durante il terremoto di riferimento può verificarsi un cedimento di riconsolidazione conseguente alla dissipazione delle pressioni interstiziali accumulate durante il terremoto.

Le stratigrafie delle prove penetrometriche rilevano la presenza di argille limose e limi argillosi, nei primi 5 metri di terreno. Qui la frazione limosa (e talvolta sabbiosa) riduce il valore dell'indice di plasticità che per questi terreni risulta inferiore al 30%, e non presentano dunque le caratteristiche tali per essere passibili di sedimenti per riconsolidazione.

Inoltre i terreni coesivi rilevati in situ si collocano solo al di sopra del livello di falda freatica, per cui non risentono dei fenomeni di incremento delle sovrapressioni neutre, trattandosi di terreni asciutti.

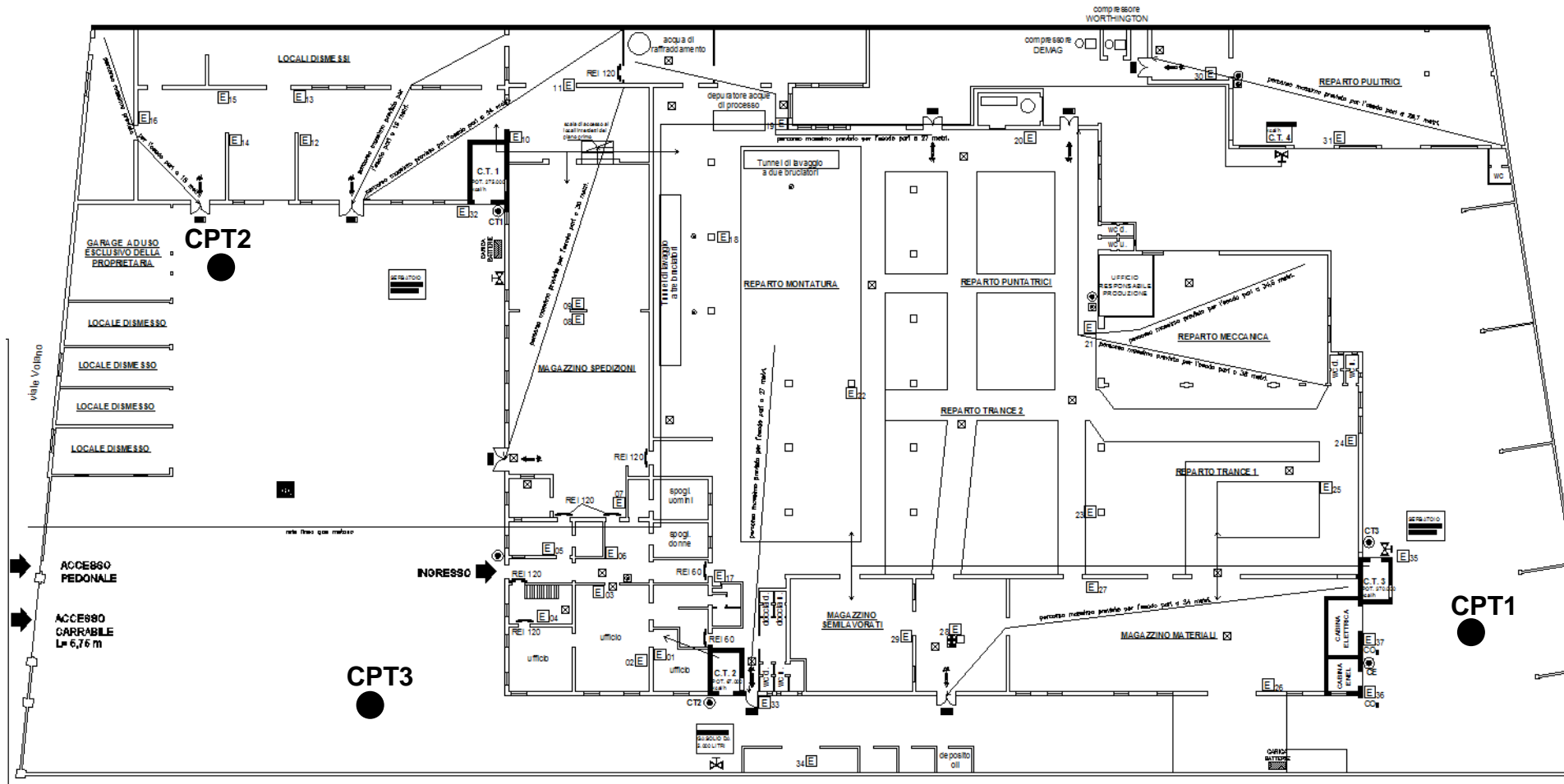
## 4. MODELLAZIONE GEOTECNICA

Uno dei motivi di pericolosità geologica del territorio, deriva in questi luoghi, dall'interazione tra opere di fondazione e terreni compressibili, su cui le costruzioni in elevazione possono creare condizioni di instabilità del complesso opera-terreno.

Attualmente, la pericolosità geologica dell'area di studio è legata anche alle oscillazioni della falda che determinano nei terreni coesivi delle significative ed importanti variazioni di umidità naturale; questo fenomeno interessa degli spessori tali di terreno, da causare ritiri e rigonfiamenti sensibili per le fondazioni. Questo fenomeno si manifesta sottoforma di quadri fessurativi in edifici anche poco pesanti, a seguito dei ritiri per essiccamiento dei terreni argillosi su cui poggiano le fondazioni.

Sono state considerate le tre prove penetrometriche statiche CPT1, CPT2 e CPT3 spinte fino alla profondità rispettivamente di -20,00 m, -15,00 m e -30,00 m dal p.c..

L'ubicazione delle prove è riportata in **FIGURA 4.1**.



**FIGURA 4.1 –** ubicazione prove CPT

#### 4.1. ACQUISIZIONE DATI CON PROVA PENETROMETRICA STATICÀ

L'esecuzione delle prove penetrometriche è avvenuta con un Penetrometro Statico Olandese tipo Gouda (tipo meccanico), con dispositivo idraulico di spinta da 12 t. fornito di punta telescopica tipo "Begemann" per il rilievo della resistenza alla punta Rp e dell'attrito laterale locale Rl, avente un'area di 10 cm<sup>2</sup>, angolo 60°, velocità di avanzamento 2 cm/sec.

Si allegano i diagrammi delle resistenze dal cui confronto si possono evincere le differenze di comportamento dei terreni nei vari strati incontrati. Nei **diagrammi di resistenza** relativi alle prove statiche sono riportati, per ogni 20 cm di avanzamento, i valori di resistenza all'infissione della punta del penetrometro (Rp in Kg/cm<sup>2</sup>), i valori di resistenza di attrito laterale locale (Rl in kg/cm<sup>2</sup>) ed i valori del rapporto di Begemann Rp/Rl che permettono una stima della granulometria dei terreni attraversati.

Nelle colonne stratigrafiche, redatte in base al diagramma di Schmerton relativo al rapporto Rp/ (Rp/Rl), sono evidenziate le successioni litologiche incontrate nel corso delle prove. Sono inoltre riportate le **valutazioni litologiche** basate sul rapporto Rp/Rl secondo Begemann (1965) e secondo le raccomandazioni A.G.I: (1977), insieme alle valutazioni stratigrafiche fornite da Schmertmann (1978) ricavate dai valori di Rp e FR = (Rl/Rp)% (vedi anche legenda allegata).

Le caratteristiche geotecniche dei terreni ricavate dai risultati delle penetrometrie statiche sono riportate in tabella (**parametri geotecnici**). Nelle tabelle viene fatta distinzione fra i terreni di natura coesiva e quelli di natura granulare.

Per i terreni di natura coesiva vengono riportati, per ogni 20 cm di profondità, i valori di resistenza all'infissione della punta del penetrometro Rp (kg/cm<sup>2</sup>), del rapporto Rp/Rl, del peso di volume  $\gamma'$  (t/m<sup>3</sup>), della tensione verticale geostatica del terreno  $\sigma'$  (t/m<sup>3</sup>), della coesione non drenata (Cu kg/cm<sup>2</sup>), del grado di sovraconsolidazione OCR, dei moduli di deformazione non drenati Eu50 ed Eu25 (kg/cm<sup>2</sup>) corrispondenti rispettivamente ad un grado di mobilitazione dello sforzo deviatorico pari al 50 e 25 %, del modulo di deformazione edometrico Mo (kg/cm<sup>2</sup>).

Per i terreni di natura granulare vengono riportati, per ogni 20 cm di profondità, i valori di resistenza all'infissione della punta del penetrometro Rp (kg/cm<sup>2</sup>), della densità relativa Dr (%), dell'angolo di attrito interno efficace  $\phi'$ , dell'accelerazione al suolo che può causare liquefazione Amax/g con g = accelerazione di gravità, dei moduli di deformazione drenati E'50 ed E'25 (kg/cm<sup>2</sup>) e del modulo di deformazione edometrico Mo (kg/cm<sup>2</sup>).

Nella legenda allegata vi sono ulteriori informazioni sui parametri geotecnici e sugli autori.

Nella **Tabella 4.1, 4.2 e 4.3** si riportano i parametri geotecnici medi per strati pseudomogenei rilevati con le tre prove penetrometriche statiche:

*CPT1 - Rijer 85-11*

strato (m da p.c.)	Rp media (kg/cm <sup>2</sup> )	Rp min (kg/cm <sup>2</sup> )	$\gamma$ (t/m <sup>3</sup> )	Cu media (kg/cm <sup>2</sup> )	Mo (kg/cm <sup>2</sup> )	Dr. %	$\phi_{my}$	Eu50 (kg/cm <sup>2</sup> )	E'50 (kg/cm <sup>2</sup> )
0,40 – 2,60	26,80	15	1,85	--	84,60	49	21°8	--	40,30
2,60 – 6,20	60,90	27	1,85	--	129,30	55	31°2	--	101,50
6,20 – 7,20	13,80	12	1,91	0,63	54,60	--	--	318,60	--
7,20 – 15,60	123,30	66	2,05	--	431,50	65	34°7	--	205,50
15,60 – 20,00	75,00	47	1,97	--	262,40	39	32°3	--	124,90

*Tabella 4.1 – Stratigrafia geotecnica semplificata, CPT1*

*CPT2 - Rijer 85-11*

strato (m da p.c.)	Rp media (kg/cm <sup>2</sup> )	Rp min (kg/cm <sup>2</sup> )	$\gamma$ (t/m <sup>3</sup> )	Cu media (kg/cm <sup>2</sup> )	Mo (kg/cm <sup>2</sup> )	Dr. %	$\phi_{my}$	Eu50 (kg/cm <sup>2</sup> )	E'50 (kg/cm <sup>2</sup> )
0,40 – 4,20	14,50	7	1,85	0,41	36,20	--	--	81,70	--
4,20 – 7,60	32,60	21	1,93	--	114,70	32	29°1	--	54,50
7,60 – 15,00	91,20	49	1,98	--	319,40	57	33°3	--	152,10

*Tabella 4.2 – Stratigrafia geotecnica semplificata, CPT2*

*CPT3 - Rifer 85-11*

strato (m da p.c.)	Rp media (kg/cm <sup>2</sup> )	Rp min (kg/cm <sup>2</sup> )	$\gamma$ (t/m <sup>3</sup> )	Cu media (kg/cm <sup>2</sup> )	Mo (kg/cm <sup>2</sup> )	Dr. %	$\phi_{my}$	Eu50 (kg/cm <sup>2</sup> )	E'50 (kg/cm <sup>2</sup> )
0,20 – 1,20	32,80	20	1,85	--	114,80	81	29°	--	54,60
1,20 – 4,80	13,40	7	1,85	0,43	36,60	-	--	126,40	--
4,80 – 13,40	77,10	26	1,97	--	269,70	54	32°4	--	128,40
13,40 – 17,40	18,10	9	1,94	0,73	67,00	--	--	407,50	--
17,40 – 19,40	80,20	24	1,97	--	280,70	43	32°6	--	133,60
19,40 – 23,40	30,50	22	1,96	--	106,80	8	28°9	--	50,80
23,40 – 24,80	84,00	60	1,97	--	294,00	40	32°9	--	140,10
24,80 – 26,80	16,10	10	1,94	0,70	61,90	--	--	418,80	--
26,80 – 30,00	124,90	26	2,04	--	437,10	437	34°3	--	208,10

*Tabella 4.3 – Stratigrafia geotecnica semplificata, CPT3*

Nell'area di intervento per la **CPT1** si rileva da -0,40 m fino a circa -2,60 m da p.c. uno strato di terreni di riporto granulari poco addensati con valore di resistenza alla punta medio di 27 kg/cm<sup>2</sup>; poi da -2,60 m fino a circa -6,20 m uno strato di terreni di riporto prevalentemente granulari moderatamente addensati con valore di resistenza alla punta medio di 61 kg/cm<sup>2</sup>; da -6,20 m fino a -7,20 m da p.c. uno strato di terreni prevalentemente coesivi consistenti con un valore di resistenza alla punta medio di 14 kg/cm<sup>2</sup>; poi da -7,20 m fino a circa -15,60 m uno strato di terreni prevalentemente granulari addensati con valore di resistenza alla punta medio di 123 kg/cm<sup>2</sup>, infine da -15,60 m fino a -20,00 m da p.c., massima profondità di investigazione, uno strato di terreni prevalentemente granulari moderatamente addensati con un valore di resistenza alla punta medio di 75 kg/cm<sup>2</sup>.

Nell'area di intervento per la **CPT2** si rileva da -0,40 m fino a circa -4,20 m da p.c. uno strato di terreni di riporto coesivi moderatamente consistenti, alternati a sottili lenti sabbiose, con valore di resistenza alla punta medio di 14 kg/cm<sup>2</sup>; poi da -4,20 m fino a circa -7,60 m uno strato di terreni di riporto prevalentemente granulari poco addensati con valore di resistenza alla punta medio di 33 kg/cm<sup>2</sup>; infine da -7,60 m fino a -15,00 m da p.c., massima profondità di investigazione, uno strato di terreni prevalentemente granulari moderatamente addensati con un valore di resistenza alla punta medio di 91 kg/cm<sup>2</sup>.

Nell'area di intervento per la **CPT3** si rileva da -0,20 m fino a circa -1,20 m da p.c. uno strato di terreni di riporto granulari poco addensati con valore di resistenza alla punta medio di 33 kg/cm<sup>2</sup>; poi da -1,20 m fino a circa -4,80 m uno strato di terreni di riporto prevalentemente coesivi consistenti con valore di resistenza alla punta medio di 13 kg/cm<sup>2</sup>; da -4,80 m fino a -13,40 m da p.c. uno strato di terreni prevalentemente granulari moderatamente addensati con un valore di resistenza alla punta medio di 77 kg/cm<sup>2</sup>; poi da -13,40 m fino a circa -17,40 m uno strato di terreni prevalentemente coesivi consistenti con valore di resistenza alla punta medio di 18 kg/cm<sup>2</sup>, da -17,40 m fino a -19,40 m da p.c. uno strato di terreni prevalentemente granulari moderatamente addensati con un valore di resistenza alla punta medio di 80 kg/cm<sup>2</sup>, da -19,40 m fino a -23,40 m da p.c. uno strato di terreni prevalentemente granulari poco addensati con un valore di resistenza alla punta medio di 30 kg/cm<sup>2</sup>, da -23,40 m fino a -24,80 m da p.c. uno strato di terreni prevalentemente granulari moderatamente addensati con un valore di resistenza alla punta medio di 84 kg/cm<sup>2</sup>, poi da -24,80 m fino a circa -26,80m uno strato di terreni prevalentemente coesivi consistenti con valore di resistenza alla punta medio di 16 kg/cm<sup>2</sup>, infine da -26,80 m fino a -30,00 m da p.c., massima profondità di investigazione, uno strato di terreni prevalentemente granulari addensati con un valore di resistenza alla punta medio di 125 kg/cm<sup>2</sup>.

#### 4.2. CONSIDERAZIONI SULLA FATTIBILITA' GEOTECNICA

Il progetto in esame di "Piano Urbanistico Attuativo di iniziativa privata Officine Metallurgiche LUX" prevede la futura realizzazione di 4 fabbricati composti da 28 unità abitative e proservizi interrati annessi da realizzare in via Volano 69 in corrispondenza delle attuali officine metallurgiche.

Mediamente lo scavo sarà di almeno 4m dal p.c., per cui si prevede una asportazione di carico di circa:

$$1,8 \text{ t/m}^3 \times 4 \text{ m} = 7,2 \text{ t/m}^2$$

Gli incrementi di carichi approssimativi per gli edifici più alti (4piani + piano interrato) saranno di circa:

$$1,2 \text{ t/m}^2 \times 5 = 6,0 \text{ t/m}^2$$

Come si può notare c'è una compensazione degli incrementi di carico per cui non sono attesi sedimenti significativi.

I fabbricati di progetto saranno sorretti per la maggior parte da pilastri, per cui si avranno carichi concentrati importanti, e di questo occorrerà tenerne conto in fase progettuale esecutiva delle strutture di fondazione. E' dunque auspicabile una attenta valutazione geotecnica e strutturale delle opere di fondazioni di queste strutture di progetto.

Importante è una buona organizzazione di cantiere, per cui allo sbancamento deve seguire immediatamente la costruzione dei fabbricati, per evitare problematiche di rigonfiamento (che comunque nei terreni sabbiosi sono del tutto trascurabili).

Le quote d'acqua del fiume Po di Volano sono inferiori alle quote di sbancamento e ciò non causa problematiche di infiltrazione o sifonamento nello scavo, che allo stato attuale del monitoraggio dei piezometri installati, avverrà all'asciutto.

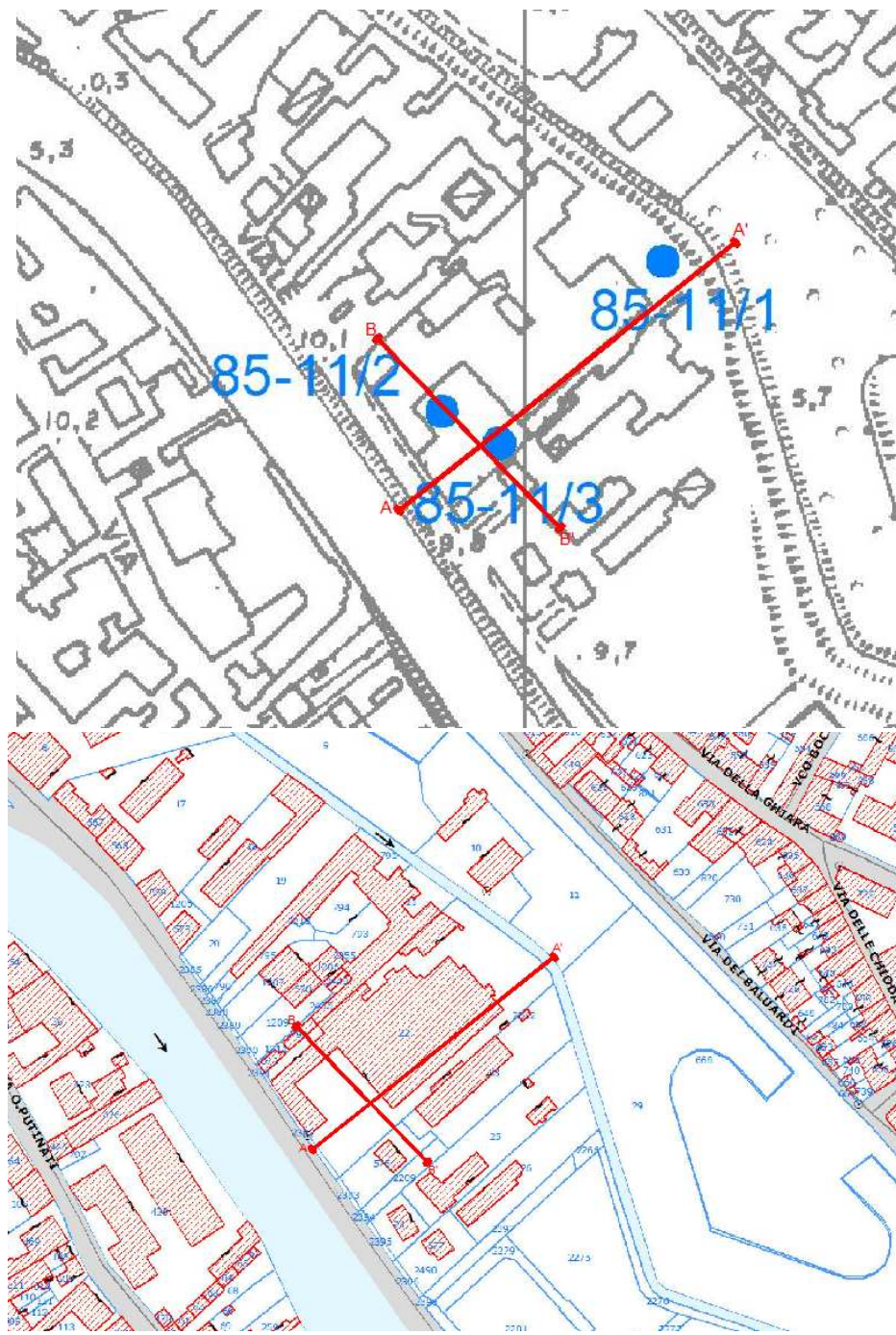


**FIGURA 4.2.** – Schema del progetto con il piano interrato e le parti in elevazione

#### 4.2 ELABORAZIONE DATI

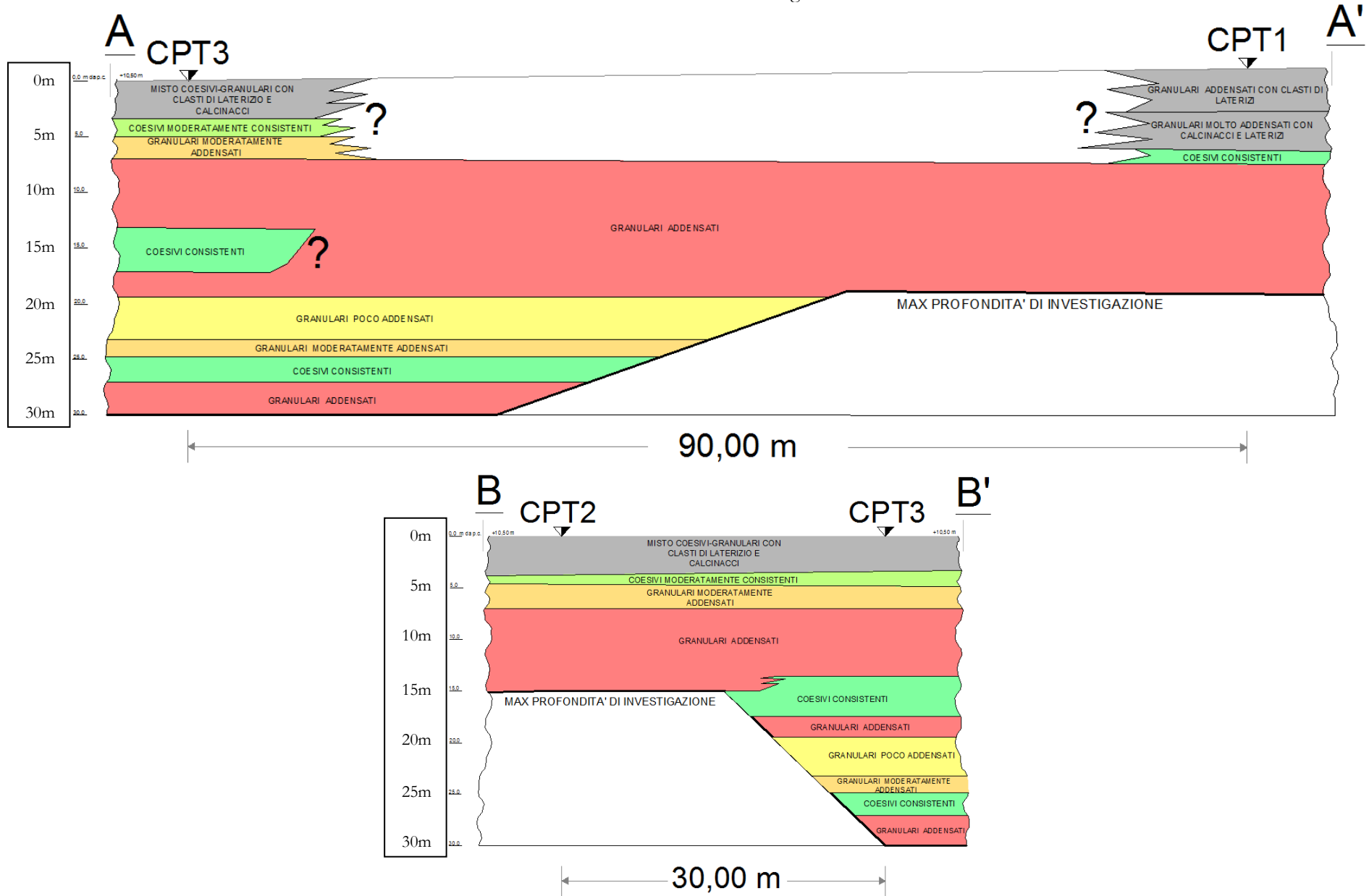
Con i dati acquisiti dalle penetrometrie e dai sondaggi geognostici del sito si sono ricostruiti dei modelli lito-stratigrafici del sottosuolo dell'area in esame.

In **FIGURA 4.2** si riporta uno stralcio di CTR e un catastale che mostrano le due sezioni considerate.



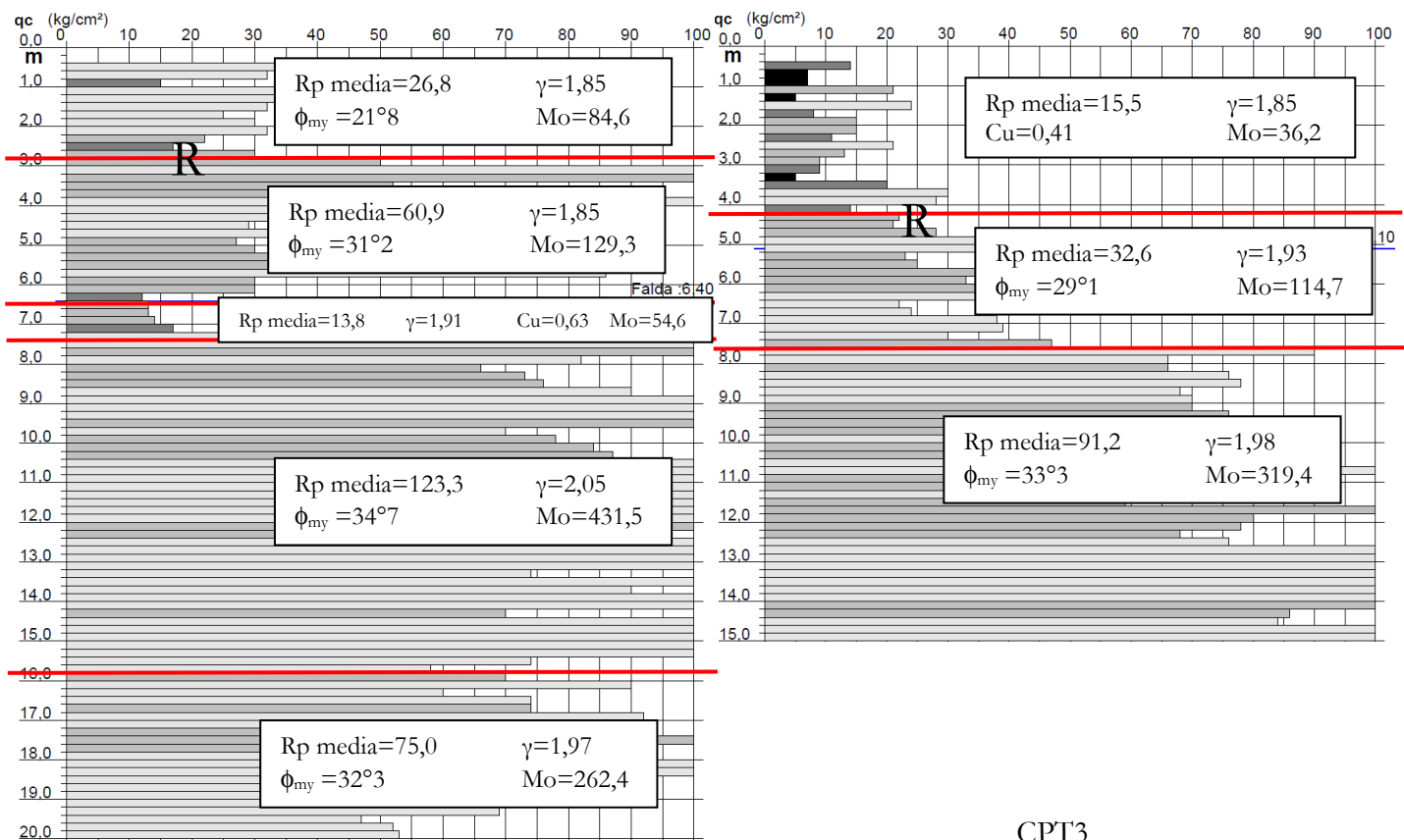
**FIGURA 4.2 – Stralcio CTR e catastale con sezioni**

In **FIGURA 4.3** si riportano i due profili lito-stratigrafici; inoltre si riportano i diagrammi di resistenza delle prove penetrometriche statiche eseguite suddivise nei rispettivi pseudo-strati omogenei con i parametri geotecnici principali per ogni spessore.



**FIGURA 4.3 – Ricostruzione del modello lito-stratigrafico dell'area**

CPT1



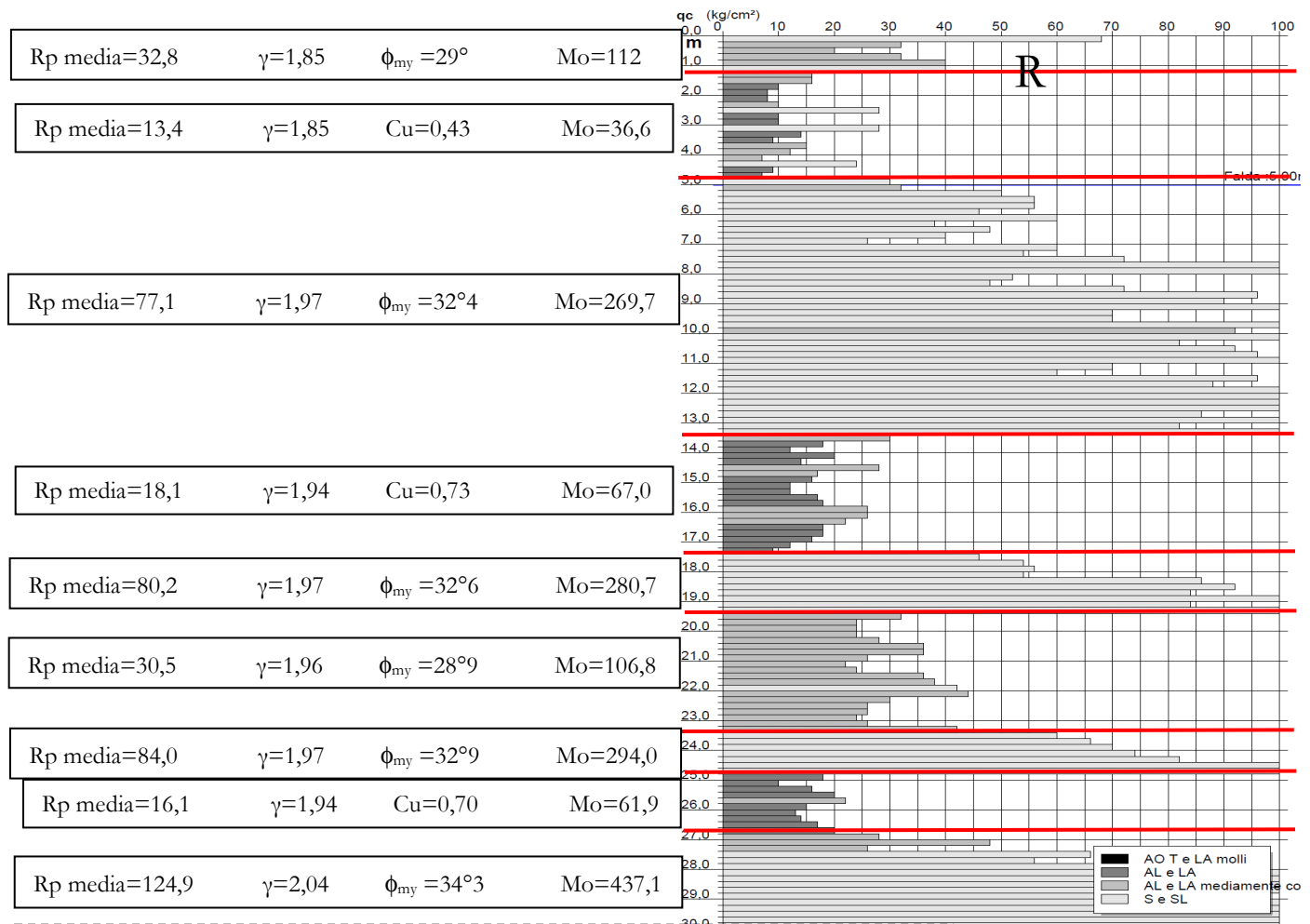
CPT2

Rp media = 15,5       $\gamma = 1,85$   
 $\phi_{my} = 0,41$       Cu = 0,41 Mo = 36,2

Rp media = 32,6       $\gamma = 1,93$   
 $\phi_{my} = 29^\circ 1$       Mo = 114,7

Rp media = 91,2       $\gamma = 1,98$   
 $\phi_{my} = 33^\circ 3$       Mo = 319,4

CPT3



## 6. CONCLUSIONI

Si esprime dunque un parere favorevole per quanto attiene l'interazione tra il piano urbanistico e gli aspetti di pericolosità geologica. Per gli aspetti di mitigazione del rischio sismico, note le azioni e gli effetti di sito attesi, occorre progettare di conseguenza. L'amplificazione sismica non è tale da causare liquefazione delle sabbie immerse in falda rilevate con le CPT.

I pochi terreni coesivi presenti hanno comunque presenza di limi e sabbie tali da abbattere il limite plastico ben al di sotto del 30%, ma essendo anche situati fuori falda (sono asciutti), non subiscono incrementi di sovrappressioni neutre dovute al passaggio dell'onda sismica, e non si hanno deformazioni che possono tradursi in sedimenti postsismici.

Per quanto riguarda il rischio idraulico da alluvione del fiume Po, l'area presenta lo stesso livello di rischio che ha il resto della città, ma è un problema che non può essere affrontato ovviamente dal lottizzante.

Il fiume Po di Volano non costituisce elemento di rischio idraulico per le quote particolarmente alte di questa parte di città.

Non ci sono problematiche di stabilità dei versanti che possano causare interazione tra il progetto ed il fiume Po di Volano.

Gli sbancamenti vanno presidiati con idonei sostegni o idonee pendenze, per evitare frane sui fronti di scavo. I terreni da sbancare sono in asciutto e sono costituiti da antichi riporti. E' raccomandabile la soluzione del sostegno delle scarpate di scavo.

In fase di scavo si dovranno adottare quegli accorgimenti atti a far sì che le acque meteoriche vengano convogliate e raccolte per un veloce allontanamento. Il recapito finale di queste acque è da studiare in fase esecutiva.

Il destino dei terreni di scavo dipende dalle verifiche chimiche che verranno fatte, così come previsto dalle normative vigenti. Sono in corso le progettazioni degli accertamenti da fare.

Dal punto di vista geotecnico le resistenze del sistema geotecnico è superiore alle azioni, che, come visto, uguaglieranno approssimativamente lo scarico sul terreno di fondazione dovuto all'asportazione di circa 4m di terreno. In fase esecutiva (con gli edifici attuali demoliti) dovranno essere fatte le indagini geotecniche puntuali al di sotto del volume significativo di ogni nuovo fabbricato, e dovranno essere valutate le conseguenze sulle opere di fondazione dei carichi puntuali trasmessi dai carichi concentrati dei numerosi pilastri che sosterranno gli edifici in elevazione.

Codigoro, li 09/06/2011

Dott. Geol. Thomas Veronese

# PROVA PENETROMETRICA STATICÀ

## LETTURE DI CAMPAGNA / VALORI DI RESISTENZA

CPT 1

2.0105-028

- committente :	Imm. Adele s.r.l.	- data :	19/05/2011
- lavoro :	Piano Urbanistico Attuativo	- quota inizio :	Piano Campagna
- località :	Ferrara	- falda :	6,40 da quota inizio
- assist. cantiere :			

prf m	L1 -	L2 -	qc Kg/cm²	fs Kg/cm²	qc/fs	prf m	L1 -	L2 -	qc Kg/cm²	fs Kg/cm²	qc/fs
0,20	----	----	--	-----	----	10,20	42,0	70,0	84,0	4,20	20,0
0,40	----	----	--	1,87	----	10,40	43,5	75,0	87,0	4,00	22,0
0,60	24,0	38,0	48,0	0,53	90,0	10,60	75,0	105,0	150,0	3,33	45,0
0,80	16,0	20,0	32,0	0,80	40,0	10,80	110,0	135,0	220,0	4,00	55,0
<b>1,00</b>	<b>7,5</b>	<b>13,5</b>	<b>15,0</b>	<b>0,93</b>	<b>16,0</b>	<b>11,00</b>	<b>65,0</b>	<b>95,0</b>	<b>130,0</b>	<b>3,33</b>	<b>39,0</b>
1,20	17,0	24,0	34,0	0,93	36,0	11,20	80,0	105,0	160,0	2,67	60,0
1,40	17,5	24,5	35,0	1,07	33,0	11,40	65,0	85,0	130,0	3,33	39,0
1,60	16,0	24,0	32,0	0,80	40,0	11,60	65,0	90,0	130,0	3,33	39,0
1,80	12,5	18,5	25,0	0,40	62,0	11,80	60,0	85,0	120,0	2,67	45,0
<b>2,00</b>	<b>15,0</b>	<b>18,0</b>	<b>30,0</b>	<b>0,67</b>	<b>45,0</b>	<b>12,00</b>	<b>55,0</b>	<b>75,0</b>	<b>110,0</b>	<b>3,33</b>	<b>33,0</b>
2,20	16,0	21,0	32,0	1,00	32,0	12,20	65,0	90,0	130,0	4,40	30,0
2,40	11,0	18,5	22,0	1,53	14,0	12,40	37,0	70,0	74,0	4,00	18,0
2,60	8,5	20,0	17,0	0,87	20,0	12,60	75,0	105,0	150,0	2,67	56,0
2,80	15,0	21,5	30,0	2,13	14,0	12,80	75,0	95,0	150,0	2,67	56,0
<b>3,00</b>	<b>25,0</b>	<b>41,0</b>	<b>50,0</b>	<b>3,20</b>	<b>16,0</b>	<b>13,00</b>	<b>90,0</b>	<b>110,0</b>	<b>180,0</b>	<b>3,33</b>	<b>54,0</b>
3,20	51,0	75,0	102,0	2,00	51,0	13,20	75,0	100,0	150,0	2,13	70,0
3,40	80,0	95,0	160,0	6,53	24,0	13,40	37,0	53,0	74,0	2,00	37,0
3,60	26,0	75,0	52,0	1,87	28,0	13,60	75,0	90,0	150,0	4,00	38,0
3,80	27,0	41,0	54,0	2,67	20,0	13,80	45,0	75,0	90,0	2,67	34,0
<b>4,00</b>	<b>50,0</b>	<b>70,0</b>	<b>100,0</b>	<b>2,67</b>	<b>37,0</b>	<b>14,00</b>	<b>75,0</b>	<b>95,0</b>	<b>150,0</b>	<b>2,67</b>	<b>56,0</b>
4,20	36,0	56,0	72,0	1,67	43,0	14,20	75,0	95,0	150,0	4,67	32,0
4,40	21,0	33,5	42,0	1,07	39,0	14,40	35,0	70,0	70,0	2,67	26,0
4,60	14,5	22,5	29,0	0,53	54,0	14,60	70,0	90,0	140,0	2,00	70,0
4,80	35,0	39,0	70,0	2,33	30,0	14,80	70,0	85,0	140,0	2,00	70,0
<b>5,00</b>	<b>13,5</b>	<b>31,0</b>	<b>27,0</b>	<b>1,60</b>	<b>17,0</b>	<b>15,00</b>	<b>75,0</b>	<b>90,0</b>	<b>150,0</b>	<b>2,67</b>	<b>56,0</b>
5,20	15,0	27,0	30,0	1,27	24,0	15,20	75,0	95,0	150,0	2,00	75,0
5,40	31,5	41,0	63,0	5,40	12,0	15,40	70,0	85,0	140,0	3,73	37,0
5,60	34,5	75,0	69,0	4,93	14,0	15,60	37,0	65,0	74,0	1,87	40,0
5,80	43,0	80,0	86,0	2,00	43,0	15,80	29,0	43,0	58,0	1,87	31,0
<b>6,00</b>	<b>15,0</b>	<b>30,0</b>	<b>30,0</b>	<b>1,67</b>	<b>18,0</b>	<b>16,00</b>	<b>35,0</b>	<b>49,0</b>	<b>70,0</b>	<b>2,67</b>	<b>26,0</b>
6,20	15,0	27,5	30,0	1,07	28,0	16,20	45,0	65,0	90,0	2,13	42,0
6,40	6,0	14,0	12,0	0,40	30,0	16,40	30,0	46,0	60,0	1,73	35,0
6,60	6,5	9,5	13,0	0,33	39,0	16,60	37,0	50,0	74,0	1,67	44,0
6,80	6,5	9,0	13,0	0,27	49,0	16,80	37,0	49,5	74,0	2,53	29,0
<b>7,00</b>	<b>7,0</b>	<b>9,0</b>	<b>14,0</b>	<b>0,27</b>	<b>52,0</b>	<b>17,00</b>	<b>46,0</b>	<b>65,0</b>	<b>92,0</b>	<b>2,27</b>	<b>41,0</b>
7,20	8,5	10,5	17,0	4,00	4,0	17,20	24,0	41,0	48,0	1,47	33,0
7,40	60,0	90,0	120,0	2,00	60,0	17,40	31,0	42,0	62,0	4,00	16,0
7,60	60,0	75,0	120,0	2,67	45,0	17,60	50,0	80,0	100,0	4,93	20,0
7,80	65,0	85,0	130,0	4,53	29,0	17,80	38,0	75,0	76,0	4,53	17,0
<b>8,00</b>	<b>41,0</b>	<b>75,0</b>	<b>82,0</b>	<b>1,87</b>	<b>44,0</b>	<b>18,00</b>	<b>41,0</b>	<b>75,0</b>	<b>82,0</b>	<b>2,67</b>	<b>31,0</b>
8,20	33,0	47,0	66,0	3,87	17,0	18,20	75,0	95,0	150,0	2,67	56,0
8,40	36,5	65,5	73,0	4,27	17,0	18,40	85,0	105,0	170,0	4,27	40,0
8,60	38,0	70,0	76,0	4,67	16,0	18,60	33,0	65,0	66,0	1,93	34,0
8,80	45,0	80,0	90,0	2,67	34,0	18,80	28,0	42,5	56,0	1,27	44,0
<b>9,00</b>	<b>80,0</b>	<b>100,0</b>	<b>160,0</b>	<b>3,33</b>	<b>48,0</b>	<b>19,00</b>	<b>24,0</b>	<b>33,5</b>	<b>48,0</b>	<b>1,40</b>	<b>34,0</b>
9,20	90,0	115,0	180,0	2,67	67,0	19,20	26,0	36,5	52,0	1,20	43,0
9,40	75,0	95,0	150,0	2,00	75,0	19,40	34,5	43,5	69,0	1,20	57,0
9,60	75,0	90,0	150,0	5,33	28,0	19,60	23,5	32,5	47,0	1,33	35,0
9,80	35,0	75,0	70,0	1,20	58,0	19,80	26,0	36,0	52,0	1,47	35,0
<b>10,00</b>	<b>39,0</b>	<b>48,0</b>	<b>78,0</b>	<b>3,73</b>	<b>21,0</b>	<b>20,00</b>	<b>26,5</b>	<b>37,5</b>	<b>53,0</b>	<b>-----</b>	<b>-----</b>

- PENETROMETRO STATICO tipo da 12 t - (senza anello allargatore) -
- COSTANTE DI TRASFORMAZIONE Ct = 20 - Velocità avanzamento punta 2 cm/s
- punta meccanica tipo Begemann ø = 35,7 mm (area punta 10 cm² - apertura 60°)
- manicotto laterale (superficie 150 cm²)

**PROVA PENETROMETRICA STATICÀ**  
**LETTURE DI CAMPAGNA / VALORI DI RESISTENZA**

**CPT 2**

2.0105-028

- committente :	Imm. Adele s.r.l.	- data :	19/05/2011
- lavoro :	Piano Urbanistico Attuativo	- quota inizio :	Piano Campagna
- località :	Ferrara	- falda :	5,10 da quota inizio
- assist. cantiere :			

prf m	L1 -	L2 -	qc Kg/cm <sup>2</sup>	fs Kg/cm <sup>2</sup>	qc/fs	prf m	L1 -	L2 -	qc Kg/cm <sup>2</sup>	fs Kg/cm <sup>2</sup>	qc/fs
0,20	----	----	--	-----	----	7,80	45,0	70,0	90,0	1,60	56,0
0,40	----	----	--	1,07	----	<b>8,00</b>	33,0	45,0	66,0	1,20	55,0
0,60	7,0	15,0	14,0	0,53	26,0	8,20	33,0	42,0	66,0	2,53	26,0
0,80	3,5	7,5	7,0	0,67	10,0	8,40	38,0	57,0	76,0	2,27	34,0
<b>1,00</b>	3,5	8,5	7,0	0,67	10,0	8,60	39,0	56,0	78,0	1,87	42,0
1,20	10,5	15,5	21,0	0,80	26,0	8,80	34,0	48,0	68,0	1,60	42,0
1,40	2,5	8,5	5,0	0,47	11,0	<b>9,00</b>	35,0	47,0	70,0	2,27	31,0
1,60	12,0	15,5	24,0	0,53	45,0	9,20	35,0	52,0	70,0	4,27	16,0
1,80	4,0	8,0	8,0	0,40	20,0	9,40	38,0	70,0	76,0	2,80	27,0
<b>2,00</b>	7,5	10,5	15,0	0,33	45,0	9,60	29,0	50,0	58,0	2,27	26,0
2,20	7,5	10,0	15,0	0,27	56,0	9,80	27,0	44,0	54,0	4,27	13,0
2,40	5,5	7,5	11,0	0,40	27,0	<b>10,00</b>	38,0	70,0	76,0	1,53	50,0
2,60	10,5	13,5	21,0	0,33	63,0	10,20	24,5	36,0	49,0	1,87	26,0
2,80	6,5	9,0	13,0	0,33	39,0	10,40	33,0	47,0	66,0	3,87	17,0
<b>3,00</b>	4,5	7,0	9,0	0,27	34,0	10,60	45,0	74,0	90,0	2,00	45,0
3,20	4,5	6,5	9,0	0,47	19,0	10,80	70,0	85,0	140,0	4,53	31,0
3,40	2,5	6,0	5,0	1,47	3,0	<b>11,00</b>	36,0	70,0	72,0	4,93	15,0
3,60	10,0	21,0	20,0	1,20	17,0	11,20	43,0	80,0	86,0	4,80	18,0
3,80	15,0	24,0	30,0	0,40	75,0	11,40	34,0	70,0	68,0	0,20	340,0
<b>4,00</b>	14,0	17,0	28,0	0,27	105,0	11,60	29,5	31,0	59,0	2,67	22,0
4,20	7,0	9,0	14,0	0,80	17,0	11,80	65,0	85,0	130,0	4,67	28,0
4,40	11,0	17,0	22,0	1,00	22,0	<b>12,00</b>	40,0	75,0	80,0	4,13	19,0
4,60	10,5	18,0	21,0	1,47	14,0	12,20	39,0	70,0	78,0	3,20	24,0
4,80	14,0	25,0	28,0	0,93	30,0	12,40	34,0	58,0	68,0	2,53	27,0
<b>5,00</b>	21,0	28,0	42,0	1,13	37,0	12,60	38,0	57,0	76,0	1,20	63,0
5,20	19,5	28,0	39,0	1,27	31,0	12,80	60,0	69,0	120,0	3,33	36,0
5,40	11,5	21,0	23,0	1,13	20,0	<b>13,00</b>	70,0	95,0	140,0	3,07	46,0
5,60	12,5	21,0	25,0	2,40	10,0	13,20	72,0	95,0	144,0	1,87	77,0
5,80	20,0	38,0	40,0	1,53	26,0	13,40	56,0	70,0	112,0	2,00	56,0
<b>6,00</b>	16,5	28,0	33,0	1,20	27,0	13,60	58,0	73,0	116,0	2,40	48,0
6,20	23,0	32,0	46,0	1,60	29,0	13,80	60,0	78,0	120,0	2,67	45,0
6,40	18,0	30,0	36,0	0,80	45,0	<b>14,00</b>	75,0	95,0	150,0	3,47	43,0
6,60	11,0	17,0	22,0	0,67	33,0	14,20	52,0	78,0	104,0	3,73	28,0
6,80	12,0	17,0	24,0	0,67	36,0	14,40	43,0	71,0	86,0	3,73	23,0
<b>7,00</b>	19,0	24,0	38,0	0,53	71,0	14,60	42,0	70,0	84,0	2,67	31,0
7,20	19,5	23,5	39,0	0,93	42,0	14,80	75,0	95,0	150,0	2,67	56,0
7,40	15,0	22,0	30,0	0,80	37,0	<b>15,00</b>	70,0	90,0	140,0	-----	-----
7,60	23,5	29,5	47,0	3,33	14,0						

- PENETROMETRO STATICO tipo da 12 t - (senza anello allargatore) -
- COSTANTE DI TRASFORMAZIONE Ct = 20 - Velocità avanzamento punta 2 cm/s
- punta meccanica tipo Begemann ø = 35,7 mm (area punta 10 cm<sup>2</sup> - apertura 60°)
- manicotto laterale (superficie 150 cm<sup>2</sup>)

**PROVA PENETROMETRICA STATICÀ**  
**LETTURE DI CAMPAGNA / VALORI DI RESISTENZA**

**CPT 3**

2.0105-028

- committente :	Imm. Adele s.r.l.	- data :	11/05/2011
- lavoro :	Piano Urbanistico Attuativo	- quota inizio :	Piano Campagna
- località :	Ferrara	- falda :	5,00 da quota inizio
- assist. cantiere :			

prf m	L1 -	L2 -	qc Kg/cm²	fs Kg/cm²	qc/fs -	prf m	L1 -	L2 -	qc Kg/cm²	fs Kg/cm²	qc/fs -
0,20	34,0	----	68,0	0,80	85,0	10,20	52,0	76,0	104,0	1,73	60,0
0,40	16,0	22,0	32,0	1,60	20,0	10,40	41,0	54,0	82,0	2,67	31,0
0,60	10,0	22,0	20,0	0,27	75,0	10,60	46,0	66,0	92,0	2,67	34,0
0,80	16,0	18,0	32,0	3,73	9,0	10,80	48,0	68,0	96,0	2,40	40,0
<b>1,00</b>	20,0	48,0	40,0	1,73	23,0	<b>11,00</b>	52,0	70,0	104,0	2,00	52,0
1,20	20,0	33,0	40,0	1,20	33,0	11,20	35,0	50,0	70,0	2,13	33,0
1,40	8,0	17,0	16,0	0,27	60,0	11,40	30,0	46,0	60,0	1,47	41,0
1,60	8,0	10,0	16,0	0,40	40,0	11,60	48,0	59,0	96,0	2,13	45,0
1,80	5,0	8,0	10,0	0,40	25,0	11,80	44,0	60,0	88,0	1,60	55,0
<b>2,00</b>	4,0	7,0	8,0	0,60	13,0	<b>12,00</b>	53,0	65,0	106,0	2,40	44,0
2,20	4,0	8,5	8,0	0,33	24,0	12,20	50,0	68,0	100,0	1,60	62,0
2,40	5,0	7,5	10,0	0,27	37,0	12,40	75,0	87,0	150,0	2,40	62,0
2,60	14,0	16,0	28,0	0,67	42,0	12,60	60,0	78,0	120,0	1,73	69,0
2,80	5,0	10,0	10,0	0,40	25,0	12,80	43,0	56,0	86,0	0,67	129,0
<b>3,00</b>	5,0	8,0	10,0	0,53	19,0	<b>13,00</b>	50,0	55,0	100,0	2,53	39,0
3,20	14,0	18,0	28,0	0,53	52,0	13,20	41,0	60,0	82,0	1,20	68,0
3,40	7,0	11,0	14,0	0,60	23,0	13,40	54,0	63,0	108,0	1,60	67,0
3,60	4,5	9,0	9,0	0,47	19,0	13,60	15,0	27,0	30,0	1,60	19,0
3,80	7,5	11,0	15,0	0,13	112,0	13,80	9,0	21,0	18,0	0,67	27,0
<b>4,00</b>	6,0	7,0	12,0	0,33	36,0	<b>14,00</b>	6,0	11,0	12,0	0,80	15,0
4,20	3,5	6,0	7,0	0,13	52,0	14,20	10,0	16,0	20,0	0,67	30,0
4,40	12,0	13,0	24,0	0,47	51,0	14,40	7,0	12,0	14,0	0,53	26,0
4,60	4,5	8,0	9,0	0,33	27,0	14,60	14,0	18,0	28,0	1,00	28,0
4,80	3,5	6,0	7,0	0,40	17,0	14,80	8,5	16,0	17,0	0,53	32,0
<b>5,00</b>	15,0	18,0	30,0	0,53	56,0	<b>15,00</b>	8,0	12,0	16,0	0,53	30,0
5,20	16,0	20,0	32,0	1,87	17,0	15,20	6,0	10,0	12,0	0,53	22,0
5,40	25,0	39,0	50,0	0,40	125,0	15,40	6,0	10,0	12,0	0,73	16,0
5,60	28,0	31,0	56,0	0,40	140,0	15,60	8,5	14,0	17,0	1,07	16,0
5,80	28,0	31,0	56,0	0,80	70,0	15,80	9,0	17,0	18,0	1,33	13,0
<b>6,00</b>	23,0	29,0	46,0	0,53	86,0	<b>16,00</b>	13,0	23,0	26,0	1,33	19,0
6,20	30,0	34,0	60,0	0,93	64,0	16,20	13,0	23,0	26,0	1,20	22,0
6,40	19,0	26,0	38,0	0,13	285,0	16,40	11,0	20,0	22,0	1,20	18,0
6,60	24,0	25,0	48,0	0,40	120,0	16,60	9,0	18,0	18,0	1,20	15,0
6,80	20,0	23,0	40,0	0,67	60,0	16,80	9,0	18,0	18,0	0,93	19,0
<b>7,00</b>	13,0	18,0	26,0	0,53	49,0	<b>17,00</b>	8,0	15,0	16,0	0,80	20,0
7,20	30,0	34,0	60,0	0,93	64,0	17,20	6,0	12,0	12,0	0,60	20,0
7,40	27,0	34,0	54,0	1,20	45,0	17,40	4,5	9,0	9,0	1,20	7,0
7,60	36,0	45,0	72,0	1,20	60,0	17,60	23,0	32,0	46,0	0,53	86,0
7,80	52,0	61,0	104,0	1,07	97,0	17,80	27,0	31,0	54,0	1,20	45,0
<b>8,00</b>	52,0	60,0	104,0	1,47	71,0	<b>18,00</b>	28,0	37,0	56,0	0,67	84,0
8,20	26,0	37,0	52,0	1,07	49,0	18,20	27,0	32,0	54,0	1,73	31,0
8,40	24,0	32,0	48,0	1,33	36,0	18,40	43,0	56,0	86,0	0,27	322,0
8,60	36,0	46,0	72,0	1,47	49,0	18,60	46,0	48,0	92,0	1,33	69,0
8,80	48,0	59,0	96,0	1,33	72,0	18,80	42,0	52,0	84,0	0,93	90,0
<b>9,00</b>	45,0	55,0	90,0	1,20	75,0	<b>19,00</b>	71,0	78,0	142,0	1,60	89,0
9,20	50,0	59,0	100,0	0,93	107,0	19,20	42,0	54,0	84,0	1,07	79,0
9,40	35,0	42,0	70,0	1,47	48,0	19,40	52,0	60,0	104,0	1,73	60,0
9,60	35,0	46,0	70,0	1,47	48,0	19,60	16,0	29,0	32,0	1,60	20,0
9,80	52,0	63,0	104,0	1,47	71,0	19,80	12,0	24,0	24,0	1,20	20,0
<b>10,00</b>	46,0	57,0	92,0	3,20	29,0	<b>20,00</b>	12,0	21,0	24,0	1,20	20,0

- PENETROMETRO STATICO tipo da 12 t - (senza anello allargatore) -
- COSTANTE DI TRASFORMAZIONE Ct = 20 - Velocità avanzamento punta 2 cm/s
- punta meccanica tipo Begemann ø = 35,7 mm (area punta 10 cm² - apertura 60°)
- manicotto laterale (superficie 150 cm²)

**PROVA PENETROMETRICA STATICÀ**  
**LETTURE DI CAMPAGNA / VALORI DI RESISTENZA**

**CPT 3**

2.0105-028

- committente : Imm. Adele s.r.l.  
- lavoro : Piano Urbanistico Attuativo  
- località : Ferrara  
- assist. cantiere :

- data : 11/05/2011  
- quota inizio : Piano Campagna  
- falda : 5,00 da quota inizio

prf m	L1 -	L2 -	qc Kg/cm <sup>2</sup>	fs Kg/cm <sup>2</sup>	qc/fs -	prf m	L1 -	L2 -	qc Kg/cm <sup>2</sup>	fs Kg/cm <sup>2</sup>	qc/fs -
20,20	12,0	21,0	24,0	1,20	20,0	25,20	5,0	15,0	10,0	1,07	9,0
20,40	14,0	23,0	28,0	1,47	19,0	25,40	8,0	16,0	16,0	1,73	9,0
20,60	18,0	29,0	36,0	1,87	19,0	25,60	10,0	23,0	20,0	1,47	14,0
20,80	18,0	32,0	36,0	1,73	21,0	25,80	11,0	22,0	22,0	1,13	19,0
<b>21,00</b>	13,0	26,0	26,0	1,60	16,0	<b>26,00</b>	7,5	16,0	15,0	0,73	20,0
21,20	11,0	23,0	22,0	1,33	16,0	26,20	6,5	12,0	13,0	0,93	14,0
21,40	12,0	22,0	24,0	1,60	15,0	26,40	7,0	14,0	14,0	0,73	19,0
21,60	18,0	30,0	36,0	1,47	25,0	26,60	8,5	14,0	17,0	1,33	13,0
21,80	19,0	30,0	38,0	1,33	28,0	26,80	10,0	20,0	20,0	1,20	17,0
<b>22,00</b>	21,0	31,0	42,0	1,33	31,0	<b>27,00</b>	14,0	23,0	28,0	1,20	23,0
22,20	22,0	32,0	44,0	2,00	22,0	27,20	24,0	33,0	48,0	1,73	28,0
22,40	15,0	30,0	30,0	1,73	17,0	27,40	13,0	26,0	26,0	2,13	12,0
22,60	13,0	26,0	26,0	1,47	18,0	27,60	33,0	49,0	66,0	1,33	49,0
22,80	13,0	24,0	26,0	1,47	18,0	27,80	28,0	38,0	56,0	1,20	47,0
<b>23,00</b>	12,0	23,0	24,0	0,80	30,0	<b>28,00</b>	42,0	51,0	84,0	2,53	33,0
23,20	13,0	19,0	26,0	1,20	22,0	28,20	71,0	90,0	142,0	1,07	133,0
23,40	21,0	30,0	42,0	1,60	26,0	28,40	62,0	70,0	124,0	1,33	93,0
23,60	30,0	42,0	60,0	1,33	45,0	28,60	76,0	86,0	152,0	0,67	228,0
23,80	33,0	43,0	66,0	1,20	55,0	28,80	75,0	80,0	150,0	0,93	161,0
<b>24,00</b>	35,0	44,0	70,0	0,93	75,0	<b>29,00</b>	49,0	56,0	98,0	2,93	33,0
24,20	37,0	44,0	74,0	2,00	37,0	29,20	60,0	82,0	120,0	0,27	450,0
24,40	41,0	56,0	82,0	0,93	88,0	29,40	110,0	112,0	220,0	2,13	103,0
24,60	56,0	63,0	112,0	1,60	70,0	29,60	115,0	131,0	230,0	0,80	287,0
24,80	62,0	74,0	124,0	1,20	103,0	29,80	112,0	118,0	224,0	2,00	112,0
<b>25,00</b>	9,0	18,0	18,0	1,33	13,0	<b>30,00</b>	115,0	130,0	230,0	-----	----

- PENETROMETRO STATICO tipo da 12 t - (senza anello allargatore) -
- COSTANTE DI TRASFORMAZIONE Ct = 20 - Velocità avanzamento punta 2 cm/s
- punta meccanica tipo Begemann ø = 35,7 mm (area punta 10 cm<sup>2</sup> - apertura 60°)
- manicotto laterale (superficie 150 cm<sup>2</sup>)

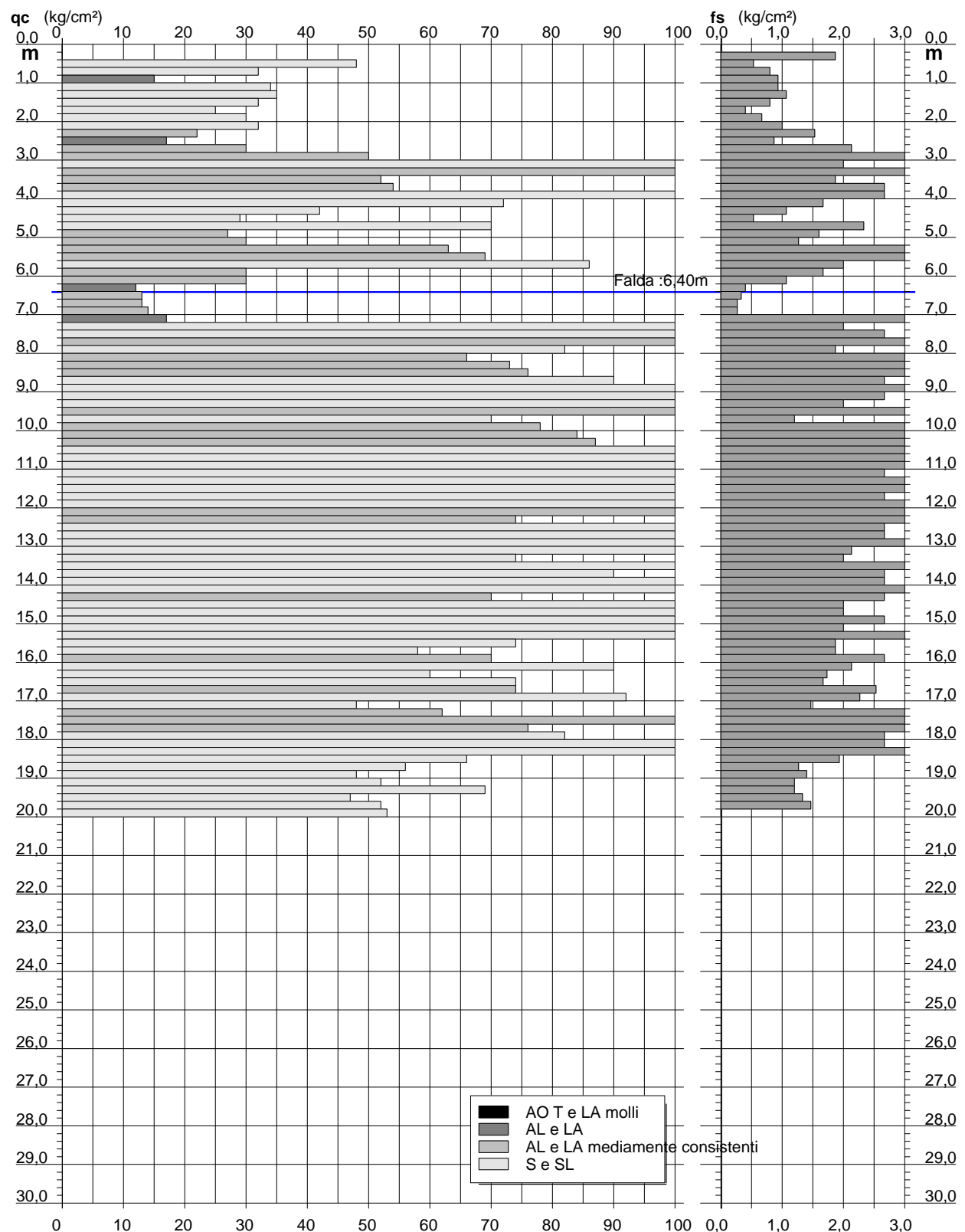
**PROVA PENETROMETRICA STATICÀ  
DIAGRAMMA DI RESISTENZA**

**CPT 1**

2.0105-028

- committente : Imm. Adele s.r.l.  
- lavoro : Piano Urbanistico Attuativo  
- località : Ferrara  
- assist. cantiere :

- data : 19/05/2011  
- quota inizio : Piano Campagna  
- falda : 6,40 da quota inizio



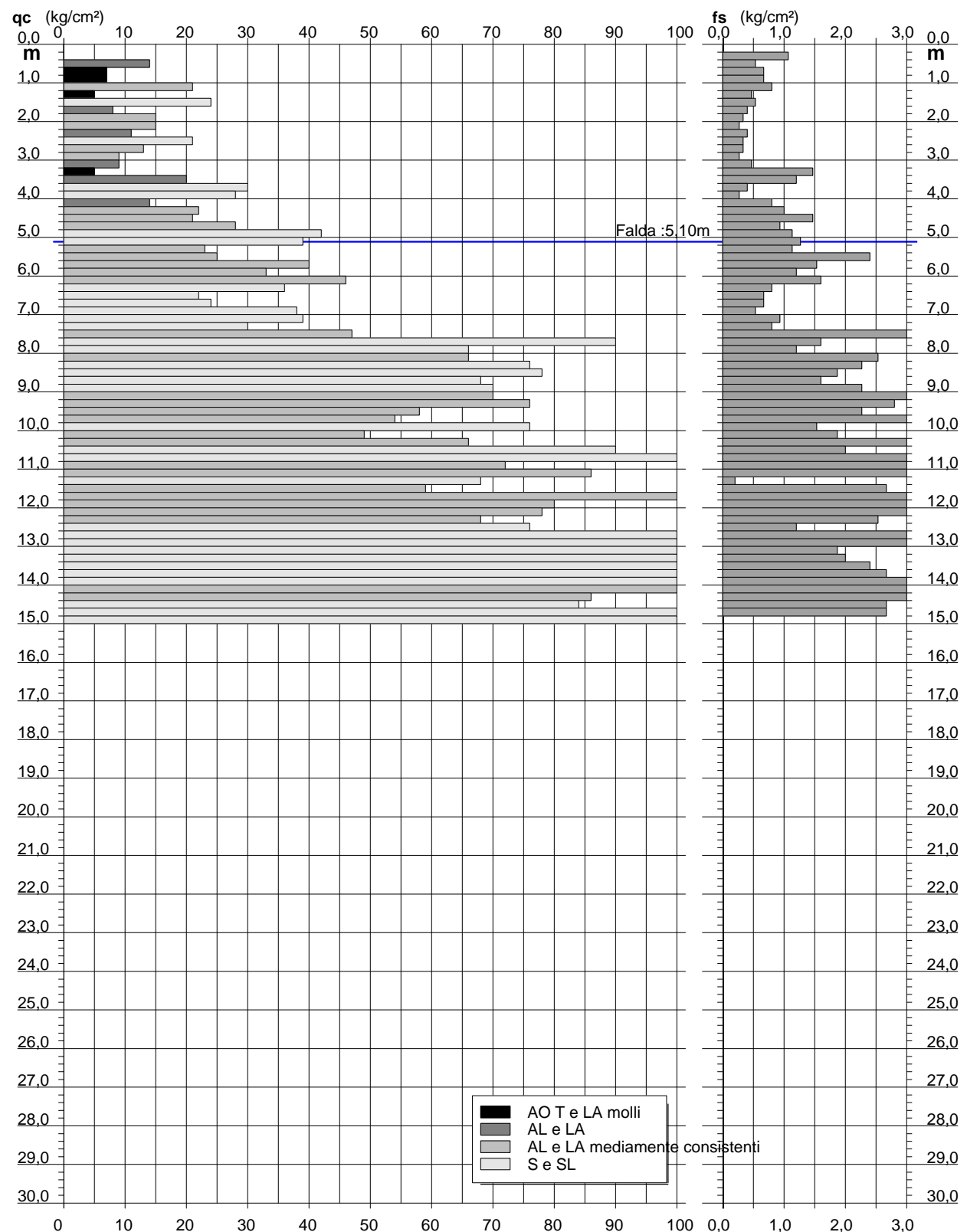
**PROVA PENETROMETRICA STATICÀ  
DIAGRAMMA DI RESISTENZA**

**CPT 2**

2.0105-028

- committente : Imm. Adele s.r.l.  
- lavoro : Piano Urbanistico Attuativo  
- località : Ferrara  
- assist. cantiere :

- data : 19/05/2011  
- quota inizio : Piano Campagna  
- falda : 5,10 da quota inizio



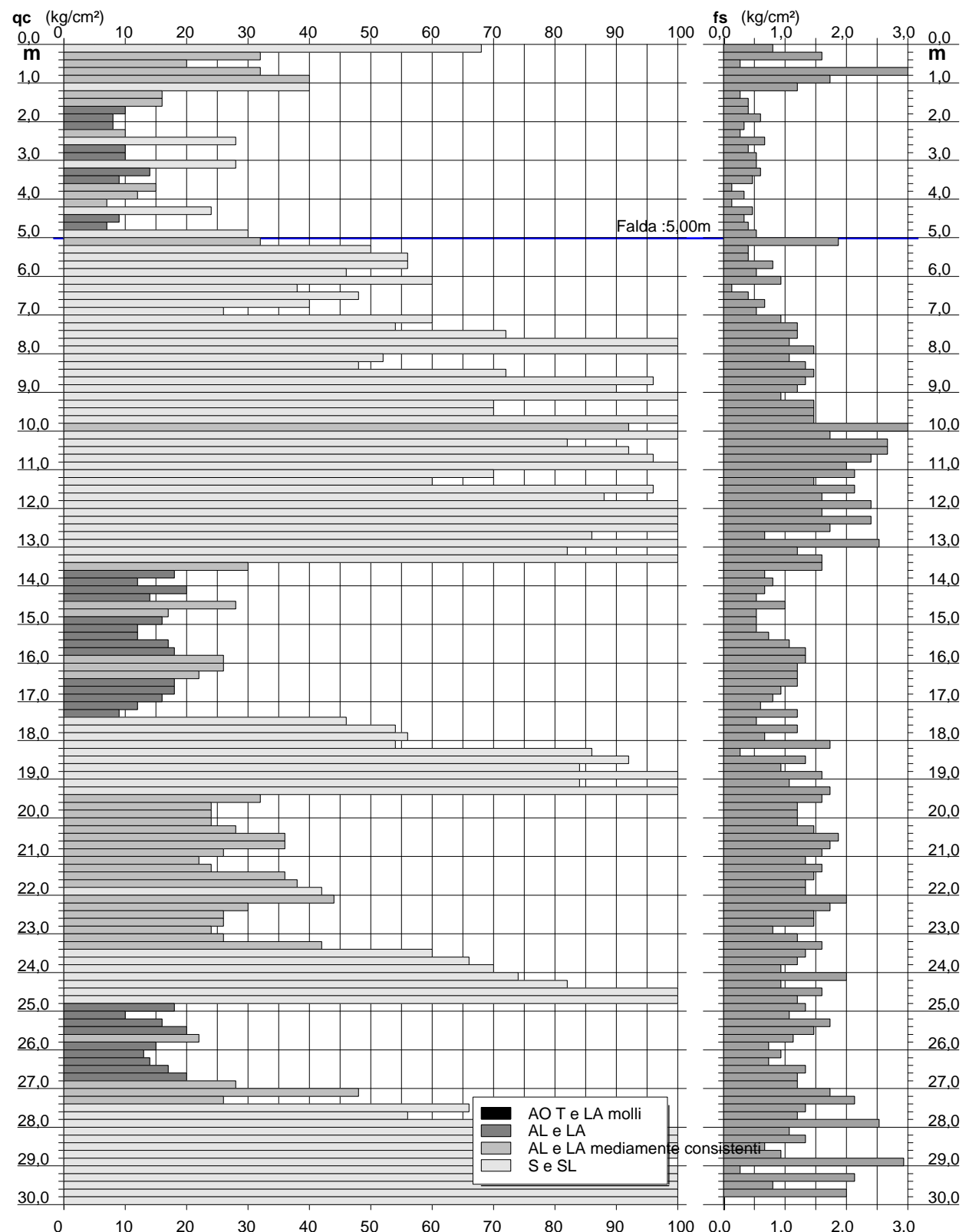
**PROVA PENETROMETRICA STATICÀ  
DIAGRAMMA DI RESISTENZA**

**CPT 3**

2.0105-028

- committente : Imm. Adele s.r.l.  
- lavoro : Piano Urbanistico Attuativo  
- località : Ferrara  
- assist. cantiere :

- data : 11/05/2011  
- quota inizio : Piano Campagna  
- falda : 5,00 da quota inizio



**PROVA PENETROMETRICA STATICÀ  
VALUTAZIONI LITOLOGICHE**

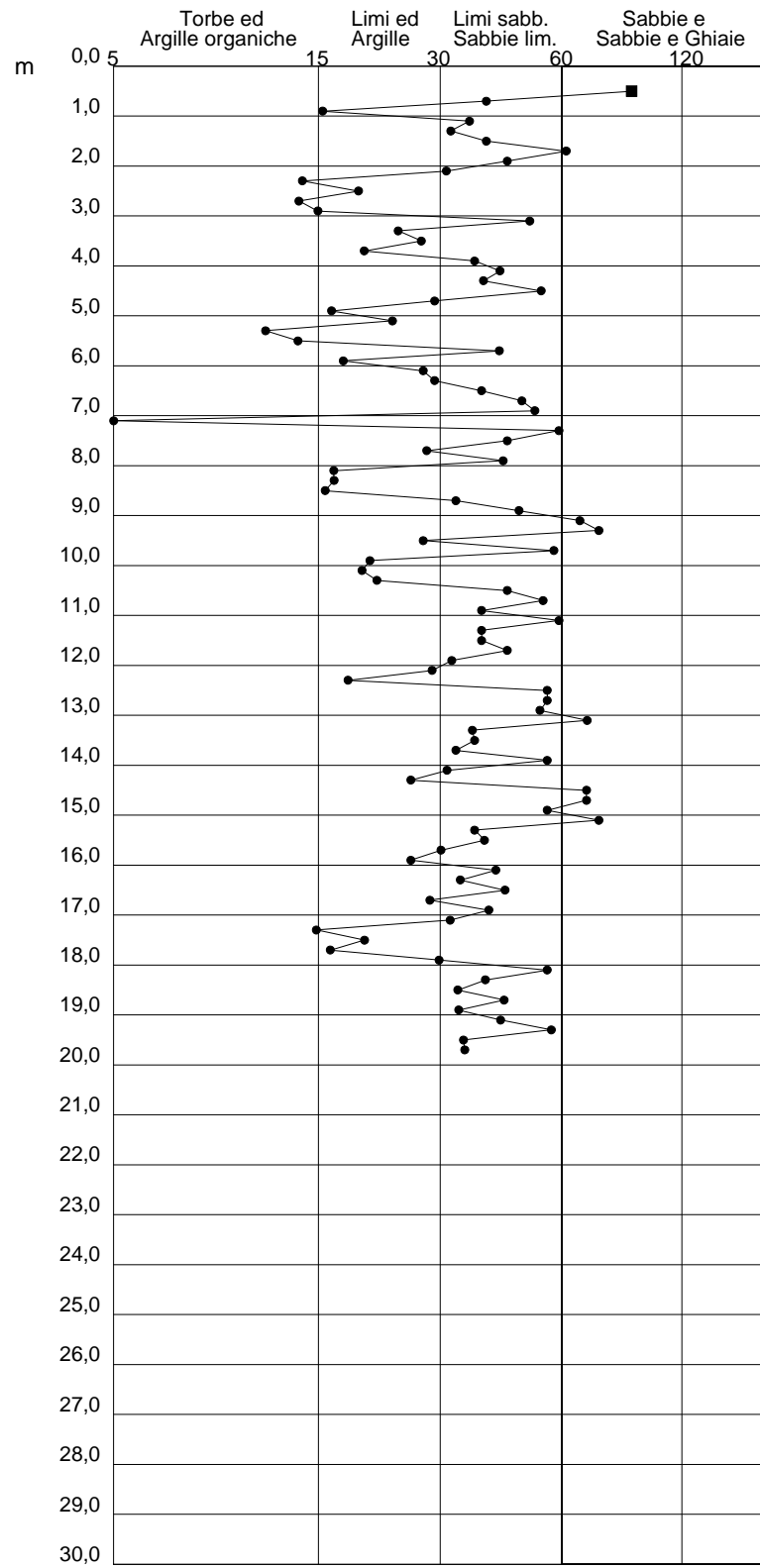
**CPT 1**

2.0105-028

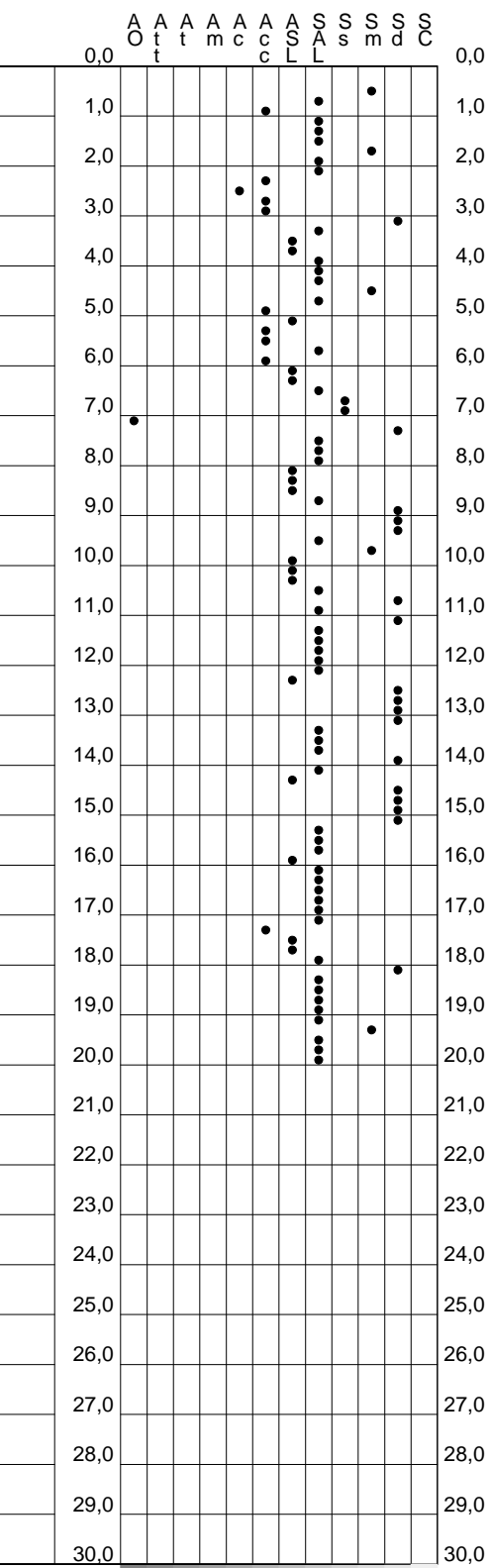
- committente : Imm. Adele s.r.l.  
- lavoro : Piano Urbanistico Attuativo  
- località : Ferrara  
- assist. cantiere :

- data : 19/05/2011  
- quota inizio : Piano Campagna  
- falda : 6,40 da quota inizio

**qc/fs (Begemann 1965 A.G.I. 1977)**



**qc - fs/qc (Schmertmann 1978)**



**PROVA PENETROMETRICA STATICÀ  
VALUTAZIONI LITOLOGICHE**

**CPT 2**

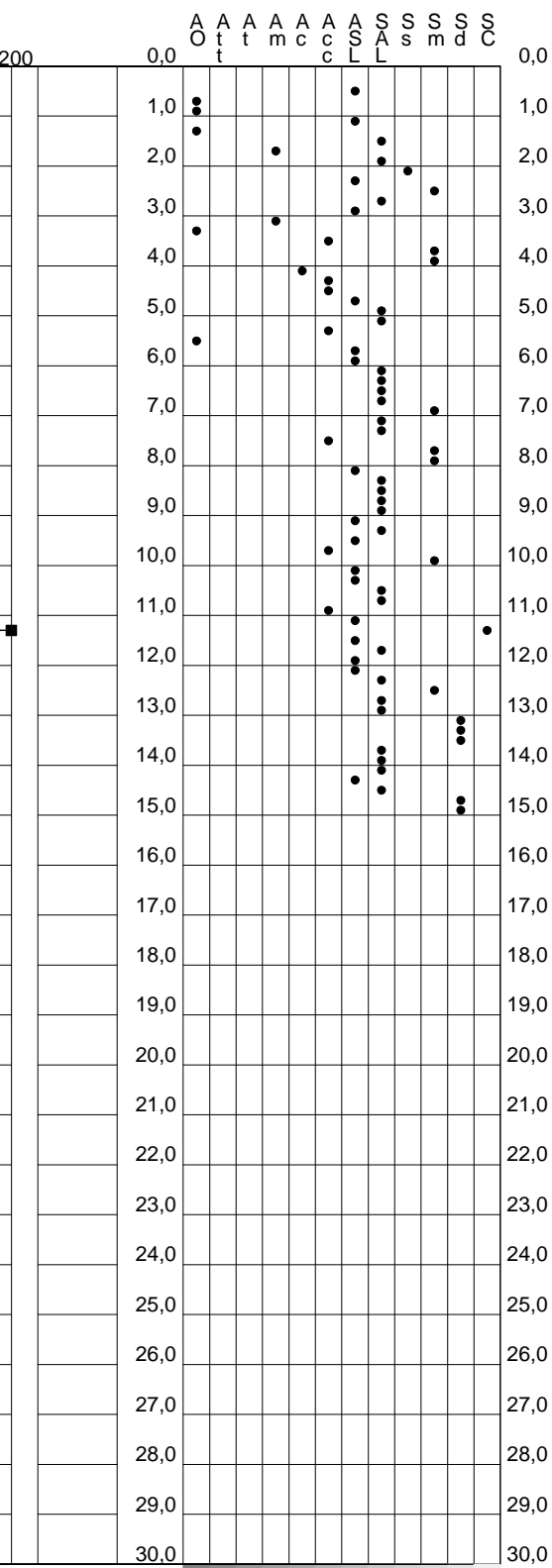
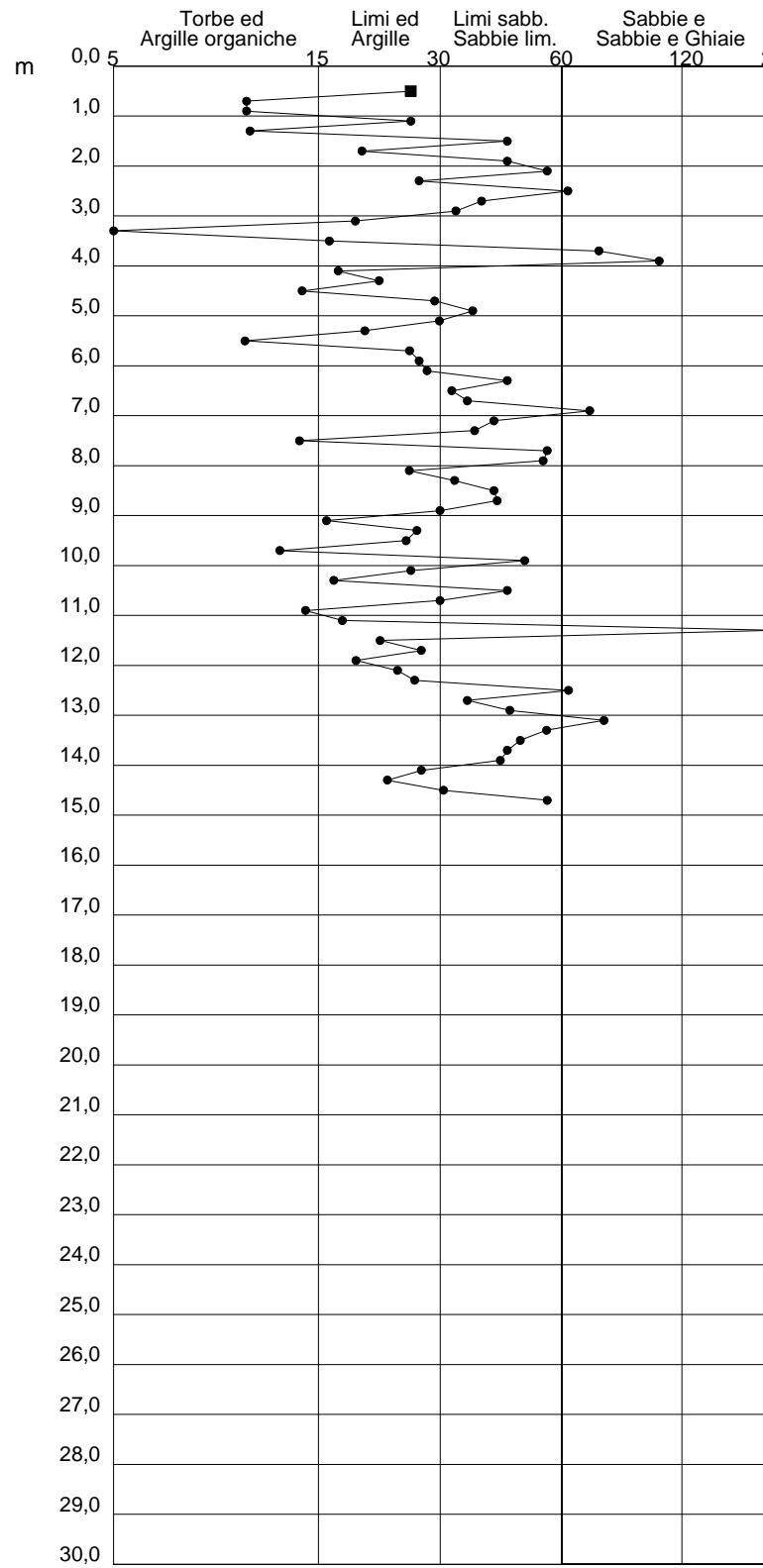
2.0105-028

- committente : Imm. Adele s.r.l.  
- lavoro : Piano Urbanistico Attuativo  
- località : Ferrara  
- assist. cantiere :

- data : 19/05/2011  
- quota inizio : Piano Campagna  
- falda : 5,10 da quota inizio

**qc/fs (Begemann 1965 A.G.I. 1977)**

**qc - fs/qc (Schmertmann 1978)**



**PROVA PENETROMETRICA STATICÀ  
VALUTAZIONI LITOLOGICHE**

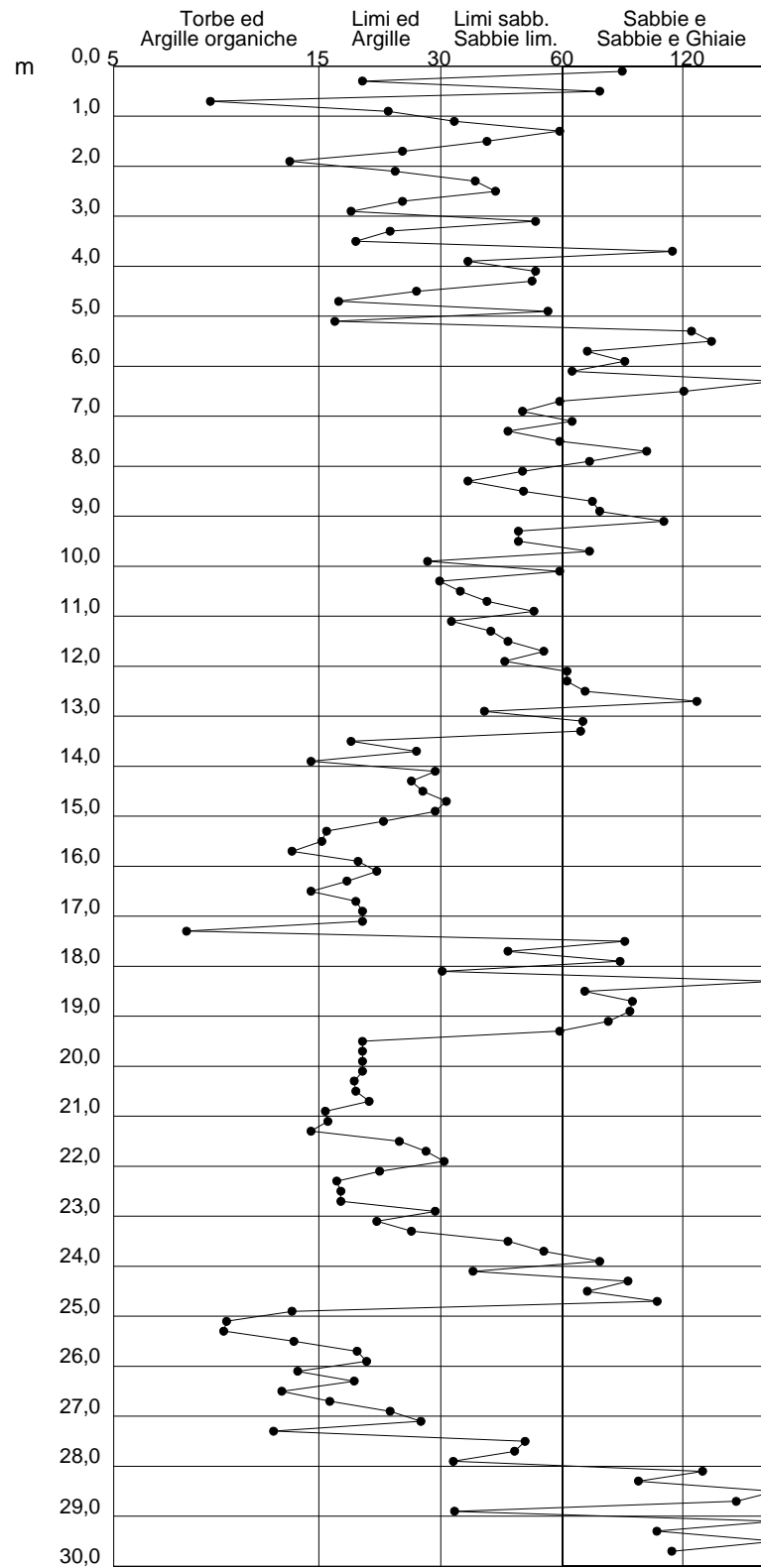
**CPT 3**

2.0105-028

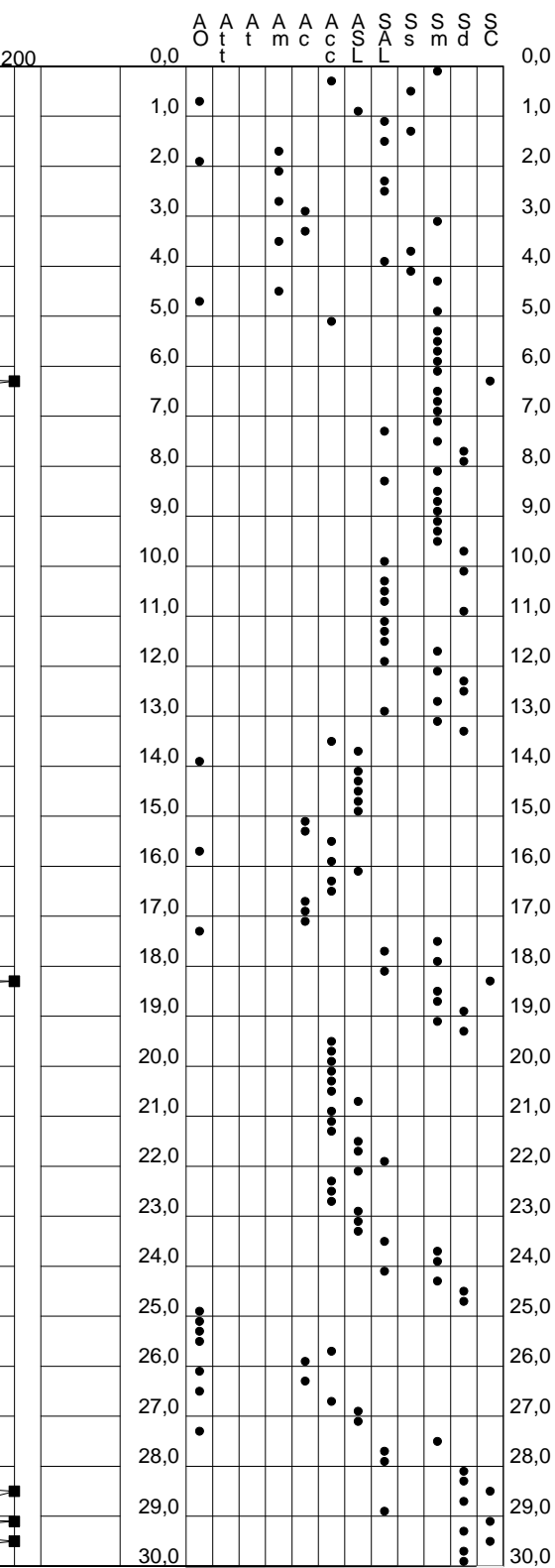
- committente : Imm. Adele s.r.l.  
- lavoro : Piano Urbanistico Attuativo  
- località : Ferrara  
- assist. cantiere :

- data : 11/05/2011  
- quota inizio : Piano Campagna  
- falda : 5,00 da quota inizio

**qc/fs (Begemann 1965 A.G.I. 1977)**



**qc - fs/qc (Schmertmann 1978)**



**PROVA PENETROMETRICA STATICÀ**  
**TABELLA PARAMETRI GEOTECNICI**

**CPT 1**

2.0105-028

- committente : Imm. Adele s.r.l.  
 - lavoro : Piano Urbanistico Attuativo  
 - località : Ferrara  
 - assist. cantiere :

- data : 19/05/2011  
 - quota inizio : Piano Campagna  
 - falda : 6,40 da quota inizio

Prof. m	qc kg/cm²	qc/fs (-)	NATURA COESIVA						NATURA GRANULARE						E'50 kg/cm²	E'25 kg/cm²	Mo kg/cm²	
			Natura Litolo.	Y' t/m³	p'vo kg/cm²	Cu kg/cm²	OCR (-)	Eu50 kg/cm²	Eu25 kg/cm²	Mo kg/cm²	Dr %	ø1s (-)	ø2s (-)	ø3s (-)	ø4s (-)	ødm (-)	ømy (-)	Amax/g (-)
0,20	--	--	???	1,85	0,04	--	--	--	--	--	--	--	--	--	--	--	--	--
0,40	--	--	???	1,85	0,07	--	--	--	--	--	--	--	--	--	--	--	--	--
0,60	48	90	3:::	1,85	0,11	--	--	--	--	--	100	42	43	45	46	43	31	0,258
0,80	32	40	3:::	1,85	0,15	--	--	--	--	--	79	39	41	43	44	40	29	0,188
1,00	15	16	2///	1,85	0,19	0,67	31,2	113	170	75	--	--	--	--	--	--	--	--
1,20	34	36	3:::	1,85	0,22	--	--	--	--	--	72	38	40	42	44	39	29	0,164
1,40	35	33	3:::	1,85	0,26	--	--	--	--	--	69	38	40	41	44	38	29	0,156
1,60	32	40	3:::	1,85	0,30	--	--	--	--	--	63	37	39	41	43	37	29	0,137
1,80	25	62	3:::	1,85	0,33	--	--	--	--	--	51	35	37	40	42	35	28	0,107
2,00	30	45	3:::	1,85	0,37	--	--	--	--	--	55	36	38	40	42	36	29	0,117
2,20	32	32	3:::	1,85	0,41	--	--	--	--	--	55	36	38	40	42	36	29	0,116
2,40	22	14	4://	1,85	0,44	0,85	14,1	144	216	66	40	34	36	39	41	33	28	0,079
2,60	17	20	2///	1,85	0,48	0,72	10,5	123	184	71	--	--	--	--	--	--	--	--
2,80	30	14	4://	1,85	0,52	1,00	14,3	170	255	90	47	35	37	39	42	34	29	0,096
3,00	50	16	4://	1,85	0,55	1,67	24,8	283	425	150	63	37	39	41	43	36	31	0,137
3,20	102	51	3:::	1,85	0,59	--	--	--	--	--	85	40	42	43	45	39	34	0,208
3,40	160	24	4://	1,85	0,63	5,33	90,8	907	1360	480	99	42	43	45	46	41	36	0,256
3,60	52	28	4://	1,85	0,67	1,73	20,8	295	442	156	59	36	38	41	43	36	31	0,129
3,80	54	20	4://	1,85	0,70	1,80	20,3	306	459	162	59	36	38	41	43	36	31	0,129
4,00	100	37	3:::	1,85	0,74	--	--	--	--	--	79	39	41	43	44	38	34	0,188
4,20	72	43	3:::	1,85	0,78	--	--	--	--	--	67	37	39	41	43	37	32	0,150
4,40	42	39	3:::	1,85	0,81	--	--	--	--	--	47	35	37	39	42	33	30	0,097
4,60	29	54	3:::	1,85	0,85	--	--	--	--	--	33	33	35	38	41	31	29	0,065
4,80	70	30	4://	1,85	0,89	2,33	21,0	397	595	210	63	37	39	41	43	36	32	0,138
5,00	27	17	4://	1,85	0,93	0,95	6,5	239	358	81	29	32	35	37	40	30	28	0,055
5,20	30	24	4://	1,85	0,96	1,00	6,6	247	370	90	32	32	35	38	41	30	29	0,061
5,40	63	12	4://	1,85	1,00	2,10	15,9	357	536	189	56	36	38	40	42	34	32	0,120
5,60	69	14	4://	1,85	1,04	2,30	17,0	391	586	207	58	36	38	40	43	35	32	0,126
5,80	86	43	3:::	1,85	1,07	--	--	--	--	--	65	37	39	41	43	36	33	0,145
6,00	30	18	4://	1,85	1,11	1,00	5,5	301	451	90	28	32	35	37	40	30	29	0,054
6,20	30	28	4://	1,85	1,15	1,00	5,3	313	470	90	27	32	35	37	40	29	29	0,052
6,40	12	30	4://	0,88	1,16	0,57	2,6	300	450	60	--	28	31	35	38	25	26	--
6,60	13	39	4://	0,88	1,18	0,60	2,7	311	467	65	--	28	31	35	38	25	26	--
6,80	13	49	4://	0,88	1,20	0,60	2,7	314	470	65	--	28	31	35	38	25	26	--
7,00	14	52	4://	0,89	1,22	0,64	2,8	324	486	70	--	28	31	35	38	25	26	--
7,20	17	4	2///	0,97	1,24	0,72	3,2	344	516	71	--	--	--	--	--	--	--	--
7,40	120	60	3:::	1,03	1,26	--	--	--	--	--	73	38	40	42	44	37	35	0,167
7,60	120	45	3:::	1,03	1,28	--	--	--	--	--	72	38	40	42	44	37	35	0,166
7,80	130	29	4://	1,07	1,30	4,33	28,3	737	1105	390	75	38	40	42	44	37	35	0,173
8,00	82	44	3:::	0,97	1,32	--	--	--	--	--	58	36	38	40	43	34	33	0,126
8,20	66	17	4://	1,02	1,34	2,20	11,7	374	561	198	51	35	37	40	42	33	32	0,105
8,40	73	17	4://	1,03	1,36	2,43	13,0	414	621	219	54	36	38	40	42	34	32	0,113
8,60	76	16	4://	1,03	1,38	2,53	13,4	431	646	228	55	36	38	40	42	34	33	0,116
8,80	90	34	3:::	0,98	1,40	--	--	--	--	--	60	36	38	41	43	35	33	0,131
9,00	160	48	3:::	1,09	1,42	--	--	--	--	--	80	39	41	43	44	38	36	0,189
9,20	180	67	3:::	1,12	1,44	--	--	--	--	--	83	40	41	43	45	38	37	0,200
9,40	150	75	3:::	1,08	1,47	--	--	--	--	--	77	39	40	42	44	37	36	0,179
9,60	150	28	4://	1,09	1,49	5,00	28,6	850	1275	450	76	39	40	42	44	37	36	0,178
9,80	70	58	3:::	0,95	1,51	--	--	--	--	--	50	35	37	40	42	33	32	0,103
10,00	78	21	4://	1,03	1,53	2,60	12,2	442	663	234	53	35	38	40	42	33	33	0,112
10,20	84	20	4://	1,04	1,55	2,80	13,2	476	714	252	55	36	38	40	42	34	33	0,118
10,40	87	22	4://	1,04	1,57	2,90	13,5	493	740	261	56	36	38	40	42	34	33	0,120
10,60	150	45	3:::	1,08	1,59	--	--	--	--	--	75	38	40	42	44	37	36	0,173
10,80	220	55	3:::	1,15	1,61	--	--	--	--	--	87	40	42	43	45	39	38	0,214
11,00	130	39	3:::	1,05	1,63	--	--	--	--	--	69	38	40	41	43	36	35	0,156
11,20	160	60	3:::	1,09	1,66	--	--	--	--	--	76	39	40	42	44	37	36	0,177
11,40	130	39	3:::	1,05	1,68	--	--	--	--	--	68	38	39	41	43	36	35	0,154
11,60	130	39	3:::	1,05	1,70	--	--	--	--	--	68	38	39	41	43	36	35	0,153
11,80	120	45	3:::	1,03	1,72	--	--	--	--	--	65	37	39	41	43	35	35	0,145
12,00	110	33	3:::	1,02	1,74	--	--	--	--	--	62	37	39	41	43	34	34	0,135
12,20	130	30	4://	1,07	1,76	4,33	19,4	737	1105	390	67	37	39	41	43	35	35	0,151
12,40	74	18	4://	1,03	1,78	2,47	9,4	426	640	222	48	35	37	39	42	32	32	0,098
12,60	150	56	3:::	1,08	1,80	--	--	--	--	--	71	38	40	42	44	36	36	0,164
12,80	150	56	3:::	1,08	1,82	--	--	--	--	--	71	39	40	42	44	37	37	0,161
13,00	180	54	3:::	1,12	1,85	--	--	--	--	--	77	39	41	43	44	36	36	0,161
13,20	150	70	3:::	1,08	1,87	--	--	--	--	--	71	38	40	42	44	36	36	0,161
13,40	74	37	3:::	0,96	1,89	--	--	--	--	--	46	34	37	39	42	32	32	0,094
13,60	150	38	3:::	1,08	1,91	--	--	--	--	--	70	38	40	42	44	36	36	0,160
13,80	90	34	3:::	0,98	1,93	--	--	--	--	--	52	35	38					

**PROVA PENETROMETRICA STATICÀ**  
**TABELLA PARAMETRI GEOTECNICI**

**CPT 2**

2.0105-028

- committente : Imm. Adele s.r.l.  
 - lavoro : Piano Urbanistico Attuativo  
 - località : Ferrara  
 - assist. cantiere :

- data : 19/05/2011  
 - quota inizio : Piano Campagna  
 - falda : 5,10 da quota inizio

Prof. m	qc kg/cm²	qc/fs (-)	NATURA COESIVA						NATURA GRANULARE						E'50 kg/cm²	E'25 kg/cm²	Mo kg/cm²	
			Natura Litolo.	Y' t/m³	p'vo kg/cm²	Cu kg/cm²	OCR (-)	Eu50 kg/cm²	Eu25 kg/cm²	Mo kg/cm²	Dr %	ø1s (-)	ø2s (-)	ø3s (-)	ø4s (-)	ødm (-)	ømy (-)	Amax/g (-)
0,20	--	--	???	1,85	0,04	--	--	--	--	--	--	--	--	--	--	--	--	--
0,40	--	--	???	1,85	0,07	--	--	--	--	--	--	--	--	--	--	--	--	
0,60	14	26	2///	1,85	0,11	0,64	55,7	108	162	70	--	--	--	--	--	--	--	
0,80	7	10	1***	1,85	0,15	0,35	18,4	14	21	21	--	--	--	--	--	--	--	
1,00	7	10	1***	1,85	0,19	0,35	13,9	14	21	21	--	--	--	--	--	--	--	
1,20	21	26	4//:	1,85	0,22	0,82	32,3	140	210	63	55	36	38	40	42	37	27	
1,40	5	11	1***	1,85	0,26	0,25	6,0	14	21	15	--	--	--	--	--	--	--	
1,60	24	45	3:::	1,85	0,30	--	--	--	--	53	35	38	40	42	36	28	0,111	
1,80	8	20	2///	1,85	0,33	0,40	7,9	80	120	40	--	--	--	--	--	--	--	
2,00	15	45	4//:	1,85	0,37	0,67	13,1	113	170	75	31	32	35	38	40	32	27	
2,20	15	56	4//:	1,85	0,41	0,67	11,6	113	170	75	29	32	35	37	40	31	27	
2,40	11	27	2///	1,85	0,44	0,54	8,0	107	160	55	--	--	--	--	--	--	--	
2,60	21	63	3:::	1,85	0,48	--	--	--	--	36	33	36	38	41	32	27	0,071	
2,80	13	39	4//:	1,85	0,52	0,60	7,6	126	189	65	18	31	33	36	39	29	26	
3,00	9	34	4//:	1,85	0,55	0,45	4,8	154	231	45	4	29	32	35	38	27	26	
3,20	9	19	2///	1,85	0,59	0,45	4,5	165	248	45	--	--	--	--	--	--	--	
3,40	5	3	1***	1,85	0,63	0,25	2,0	30	45	15	--	--	--	--	--	--	--	
3,60	20	17	4//:	1,85	0,67	0,80	7,9	160	241	60	27	32	34	37	40	30	27	
3,80	30	75	3:::	1,85	0,70	--	--	--	--	39	33	36	38	41	32	29	0,078	
4,00	28	105	3:::	1,85	0,74	--	--	--	--	36	33	36	38	41	32	28	0,070	
4,20	14	17	2///	1,85	0,78	0,64	4,9	215	323	70	--	--	--	--	--	--	--	
4,40	22	22	4//:	1,85	0,81	0,85	6,6	209	313	66	25	31	34	37	40	30	28	
4,60	21	14	4//:	1,85	0,85	0,82	6,0	225	337	63	22	31	34	37	40	29	27	
4,80	28	30	4//:	1,85	0,89	0,97	7,0	223	335	84	31	32	35	38	40	31	28	
5,00	42	37	3:::	1,85	0,93	--	--	--	--	44	34	37	39	42	33	30	0,089	
5,20	39	31	3:::	0,90	0,94	--	--	--	--	41	34	36	39	41	32	30	0,082	
5,40	23	20	4//:	0,94	0,96	0,87	5,5	260	391	69	22	31	34	37	40	29	28	
5,60	25	10	4//:	0,94	0,98	0,91	5,7	263	395	75	25	31	34	37	40	29	28	
5,80	40	26	4//:	1,00	1,00	1,33	9,0	237	356	120	40	34	36	39	41	32	30	
6,00	33	27	4//:	0,97	1,02	1,10	6,9	257	386	99	33	33	35	38	41	31	29	
6,20	46	29	4//:	1,01	1,04	1,53	10,2	261	391	138	44	34	37	39	42	32	31	
6,40	36	45	3:::	0,89	1,06	--	--	--	--	36	33	36	38	41	31	30	0,070	
6,60	22	33	3:::	0,86	1,08	--	--	--	--	18	31	33	36	39	28	28	0,035	
6,80	24	36	3:::	0,86	1,09	--	--	--	--	21	31	34	37	40	29	28	0,039	
7,00	38	71	3:::	0,90	1,11	--	--	--	--	36	33	36	38	41	31	30	0,071	
7,20	39	42	3:::	0,90	1,13	--	--	--	--	37	33	36	38	41	31	30	0,072	
7,40	30	37	3:::	0,88	1,15	--	--	--	--	27	32	35	37	40	29	29	0,052	
7,60	47	14	4//:	1,01	1,17	1,57	9,1	277	415	141	42	34	36	39	41	32	31	
7,80	90	56	3:::	0,98	1,19	--	--	--	--	64	37	39	41	43	35	33	0,142	
8,00	66	55	3:::	0,94	1,20	--	--	--	--	53	35	38	40	42	34	32	0,112	
8,20	66	26	4//:	1,02	1,22	2,20	13,1	374	561	198	53	35	38	40	42	34	32	
8,40	76	34	3:::	0,96	1,24	--	--	--	--	57	36	38	40	43	34	33	0,123	
8,60	78	42	3:::	0,96	1,26	--	--	--	--	58	36	38	40	43	34	33	0,124	
8,80	68	42	3:::	0,95	1,28	--	--	--	--	53	35	38	40	42	33	32	0,111	
9,00	70	31	3:::	0,95	1,30	--	--	--	--	53	35	38	40	42	34	32	0,112	
9,20	70	16	4//:	1,03	1,32	2,33	12,8	397	595	210	53	35	38	40	42	33	32	
9,40	76	27	4//:	1,03	1,34	2,53	13,9	431	646	228	55	36	38	40	42	34	33	
9,60	58	26	4//:	1,02	1,36	1,93	9,7	330	496	174	46	34	37	39	42	32	31	
9,80	54	13	4//:	1,01	1,38	1,80	8,7	328	491	162	43	34	36	39	41	32	31	
10,00	76	50	3:::	0,96	1,40	--	--	--	--	54	36	38	40	42	34	33	0,115	
10,20	49	26	4//:	1,01	1,42	1,63	7,5	349	523	147	39	33	36	38	41	31	31	
10,40	66	17	4//:	1,02	1,44	2,20	10,6	374	561	198	49	35	37	39	42	33	32	
10,60	90	45	3:::	0,98	1,46	--	--	--	--	59	36	38	40	43	34	33	0,128	
10,80	140	31	3:::	1,06	1,48	--	--	--	--	74	38	40	42	44	37	36	0,171	
11,00	72	15	4//:	1,03	1,50	2,40	11,3	408	612	216	51	35	37	40	42	33	32	
11,20	86	18	4//:	1,04	1,52	2,87	13,8	487	731	258	57	36	38	40	43	34	33	
11,40	68	340	3:::	0,95	1,54	--	--	--	--	48	35	37	39	42	32	32	0,099	
11,60	59	22	4//:	1,02	1,56	1,97	8,4	372	558	177	43	34	36	39	41	32	32	
11,80	130	28	4//:	1,07	1,59	4,33	22,1	737	1105	390	70	38	40	42	44	36	35	
12,00	80	19	4//:	1,03	1,61	2,67	11,8	453	680	240	53	35	38	40	42	33	33	
12,20	78	24	4//:	1,03	1,63	2,60	11,3	442	663	234	52	35	37	39	40	42	33	
12,40	68	27	4//:	1,02	1,65	2,27	9,4	393	590	204	47	35	37	39	42	32	32	
12,60	76	63	3:::	0,96	1,67	--	--	--	--	50	35	37	39	40	42	33	33	
12,80	120	36	3:::	1,03	1,69	--	--	--	--	65	37	39	41	43	35	35	0,146	
13,00	140	46	3:::	1,06	1,71	--	--	--	--	70	38	40	42	44	36	36	0,161	
13,20	144	77	3:::	1,07	1,73	--	--	--	--	71	38	40	42	44	36	36	0,163	
13,40	112	56	3:::	1,02	1,75	--	--	--	--	62	37	39	41	43	34	34	0,137	
13,60	116	48	3:::	1,02	1,77	--	--	--	--	63	37	39	41	43	35	35	0,139	
13,80	120	45	3:::	1,03	1,79	--	--	--	--	64	37	39	41	43	35	35	0,142	
14,00	150	43	3:::	1,08	1,81	--	--	--	--	71	38	40	42	44	36	36	0,163	
14,20	104	28	4//:	1,05	1,83	3,47	13,9	589	884	312	59	36	38	40	43	34	34	
14,40	86	23	4//:	1,04	1,85	2,87	10,8	487	731	258	52	35	37	40	42	33	33	
14,60	84	31																

## **PROVA PENETROMETRICA STATICA TABELLA PARAMETRI GEOTECNICI**

CPT 3

2.0105-028

- committente : Imm. Adele s.r.l.
- lavoro : Piano Urbanistico Attuativo
- località : Ferrara
- assist. cantiere :

- data : 11/05/2011
- quota inizio : Piano Campagna
- falda : 5,00 da quota inizio

**PROVA PENETROMETRICA STATICÀ**  
**TABELLA PARAMETRI GEOTECNICI**

**CPT 3**

2.0105-028

- committente : Imm. Adele s.r.l.  
- lavoro : Piano Urbanistico Attuativo  
- località : Ferrara  
- assist. cantiere :

- data : 11/05/2011  
- quota inizio : Piano Campagna  
- falda : 5,00 da quota inizio

Prof. m	qc kg/cm²	qc/fs (-)	Natura Litol.	Y' t/m³	p'vo kg/cm²	Cu kg/cm²	OCR (-)	Eu50 kg/cm²	Eu25 kg/cm²	Mo kg/cm²	Dr %	ø1s (-)	ø2s (-)	ø3s (-)	ø4s (-)	ødm (-)	ømy (-)	Amax/g	E'50 kg/cm²	E'25 kg/cm²	Mo	NATURA COESIVA			NATURA GRANULARE			
																						ø1s (-)	ø2s (-)	ø3s (-)	ø4s (-)	ødm (-)	ømy (-)	Amax/g
20,20	24	20	4/./:	0,94	2,36	0,89	1,8	505	757	72	2	28	31	35	38	25	28	0,005	40	60	84							
20,40	28	19	4/./:	0,96	2,38	0,97	2,0	539	809	84	7	29	32	35	39	25	28	0,016	47	70	98							
20,60	36	19	4/./:	0,99	2,40	1,20	2,6	625	937	108	16	30	33	36	39	26	30	0,030	60	90	126							
20,80	36	21	4/./:	0,99	2,42	1,20	2,6	627	940	108	15	30	33	36	39	26	30	0,029	60	90	126							
21,00	26	16	4/./:	0,95	2,44	0,93	1,9	526	789	78	4	29	32	35	38	25	28	0,010	43	65	91							
21,20	22	16	4/./:	0,93	2,46	0,85	1,7	488	732	66	--	28	31	35	38	25	28	--	37	55	77							
21,40	24	15	4/./:	0,94	2,48	0,89	1,7	509	764	72	1	28	31	35	38	25	28	0,002	40	60	84							
21,60	36	25	4/./:	0,99	2,50	1,20	2,5	635	953	108	15	30	33	36	39	26	30	0,028	60	90	126							
21,80	38	28	4/./:	0,99	2,52	1,27	2,7	657	986	114	16	30	33	36	39	26	30	0,031	63	95	133							
22,00	42	31	3:::	0,90	2,54	--	--	--	--	--	19	31	34	36	40	27	30	0,037	70	105	147							
22,20	44	22	4/./:	1,00	2,56	1,47	3,1	707	1061	132	21	31	34	37	40	27	31	0,040	73	110	154							
22,40	30	17	4/./:	0,96	2,57	1,00	1,9	564	846	90	8	29	32	35	39	25	29	0,016	50	75	105							
22,60	26	18	4/./:	0,95	2,59	0,93	1,7	532	798	78	2	28	32	35	38	25	28	0,006	43	65	91							
22,80	26	18	4/./:	0,95	2,61	0,93	1,7	533	799	78	2	28	32	35	38	25	28	0,006	43	65	91							
23,00	24	30	4/./:	0,94	2,63	0,89	1,6	514	771	72	--	28	31	35	38	25	28	--	40	60	84							
23,20	26	22	4/./:	0,95	2,65	0,93	1,7	534	801	78	2	28	31	35	38	25	28	0,005	43	65	91							
23,40	42	26	4/./:	1,00	2,67	1,40	2,8	712	1068	126	18	31	33	36	39	27	30	0,035	70	105	147							
23,60	60	45	3:::	0,93	2,69	--	--	--	--	--	30	32	35	38	40	29	32	0,058	100	150	210							
23,80	66	55	3:::	0,94	2,71	--	--	--	--	--	33	33	35	38	41	29	32	0,065	110	165	231							
24,00	70	75	3:::	0,95	2,73	--	--	--	--	--	35	33	35	38	41	29	32	0,069	117	175	245							
24,20	74	37	3:::	0,96	2,75	--	--	--	--	--	37	33	36	38	41	30	32	0,073	123	185	259							
24,40	82	88	3:::	0,97	2,77	--	--	--	--	--	40	34	36	39	41	30	33	0,081	137	205	287							
24,60	112	70	3:::	1,02	2,79	--	--	--	--	--	51	35	37	40	42	32	34	0,106	187	280	392							
24,80	124	103	3:::	1,04	2,81	--	--	--	--	--	54	36	38	40	42	32	35	0,115	207	310	434							
25,00	18	13	2///:	0,98	2,83	0,75	1,2	446	669	68	--	--	--	--	--	--	--	--	--	--	--	--	--	--	--	--	--	--
25,20	10	9	2///:	0,90	2,84	0,50	0,7	300	450	50	--	--	--	--	--	--	--	--	--	--	--	--	--	--	--	--	--	--
25,40	16	9	2///:	0,96	2,86	0,70	1,1	416	624	74	--	--	--	--	--	--	--	--	--	--	--	--	--	--	--	--	--	--
25,60	20	14	4/./:	0,93	2,88	0,80	1,3	474	710	60	--	28	31	35	38	25	27	--	33	50	70							
25,80	22	19	4/./:	0,93	2,90	0,85	1,3	499	748	66	--	28	31	35	38	25	28	--	37	55	77							
26,00	15	20	2///:	0,95	2,92	0,67	1,0	400	600	75	--	--	--	--	--	--	--	--	--	--	--	--	--	--	--	--	--	
26,20	13	14	2///:	0,93	2,94	0,60	0,9	363	544	65	--	--	--	--	--	--	--	--	--	--	--	--	--	--	--	--	--	
26,40	14	19	2///:	0,94	2,96	0,64	0,9	382	573	70	--	--	--	--	--	--	--	--	--	--	--	--	--	--	--	--	--	
26,60	17	13	2///:	0,97	2,98	0,72	1,1	433	649	71	--	--	--	--	--	--	--	--	--	--	--	--	--	--	--	--	--	
26,80	20	17	4/./:	0,93	2,99	0,80	1,2	475	713	60	--	28	31	35	38	25	27	--	33	50	70							
27,00	28	23	4/./:	0,96	3,01	0,97	1,5	563	844	84	1	28	31	35	38	25	28	0,003	47	70	98							
27,20	48	28	4/./:	1,01	3,03	1,60	2,8	811	1217	144	20	31	34	36	40	27	31	0,037	80	120	168							
27,40	26	12	4/./:	0,95	3,05	0,93	1,4	545	817	78	--	28	31	35	38	25	28	--	43	65	91							
27,60	66	49	3:::	0,94	3,07	--	--	--	--	--	30	32	35	38	40	28	32	0,058	110	165	231							
27,80	56	47	3:::	0,93	3,09	--	--	--	--	--	25	31	34	37	40	27	31	0,047	93	140	196							
28,00	84	33	3:::	0,97	3,11	--	--	--	--	--	38	33	36	38	41	30	33	0,076	140	210	294							
28,20	142	133	3:::	1,06	3,13	--	--	--	--	--	56	36	38	40	42	33	36	0,120	237	355	497							
28,40	124	93	3:::	1,04	3,15	--	--	--	--	--	51	35	37	40	42	32	35	0,107	207	310	434							
28,60	152	228	3:::	1,08	3,17	--	--	--	--	--	58	36	38	40	43	33	36	0,126	253	380	532							
28,80	150	161	3:::	1,03	3,24	--	--	--	--	--	58	36	38	40	43	33	36	0,124	250	375	525							
29,00	98	33	3:::	1,00	3,21	--	--	--	--	--	43	34	36	39	41	30	34	0,086	163	245	343							
29,20	120	450	3:::	1,03	3,24	--	--	--	--	--	50	35	37	40	42	31	35	0,103	200	300	420							
29,40	220	103	3:::	1,15	3,26	--	--	--	--	--	70	38	40	42	44	35	38	0,160	367	550	770							
29,60	230	287	3:::	1,15	3,28	--	--	--	--	--	72	38	40	42	44	35	39	0,164	383	575								

## LIQUEFACTION ANALYSIS REPORT

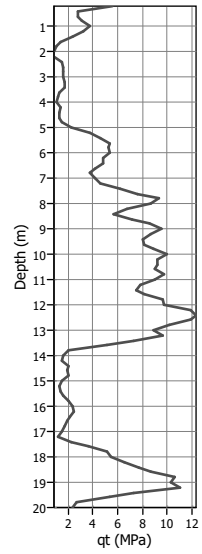
Project title :

CPT file : 85-11\_3

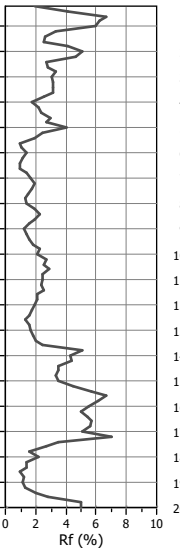
### Input parameters and analysis data

Analysis method:	NCEER 1998	G.W.T. (in-situ):	5.00 m	Use fill:	No	Clay like behavior applied:	Sands only
Fines correction method:	Robertson & Wride	G.W.T. (earthq.):	5.00 m	Fill height:	N/A		
Points to test:	Based on Ic value	Average results interval:	3	Fill weight:	N/A		
Earthquake magnitude $M_w$ :	5.50	Ic cut-off value:	2.60	Limit depth applied:	Yes		
Peak ground acceleration:	0.20	Unit weight calculation:	Based on SBT	Trans. detect. applied:	No		
				$K_o$ applied:		Limit depth:	20.00 m

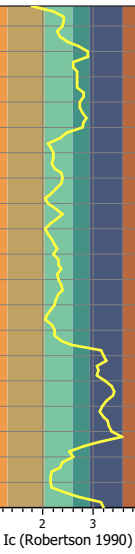
Cone resistance



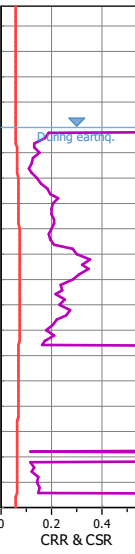
Friction Ratio



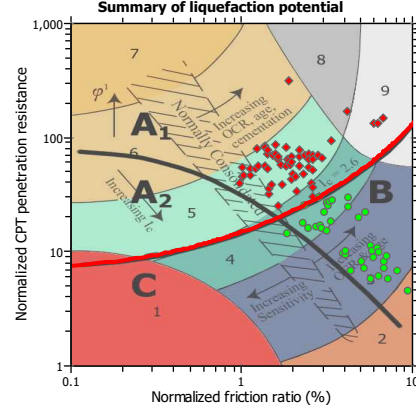
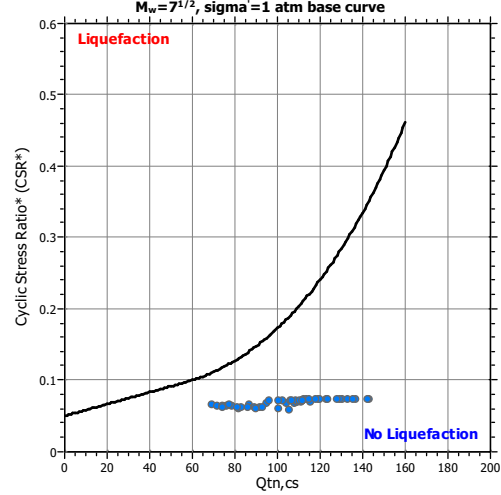
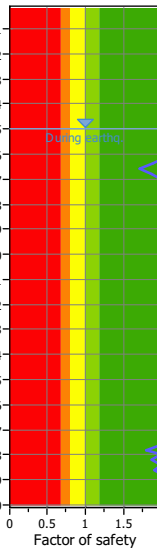
SBTn Plot



CRR plot



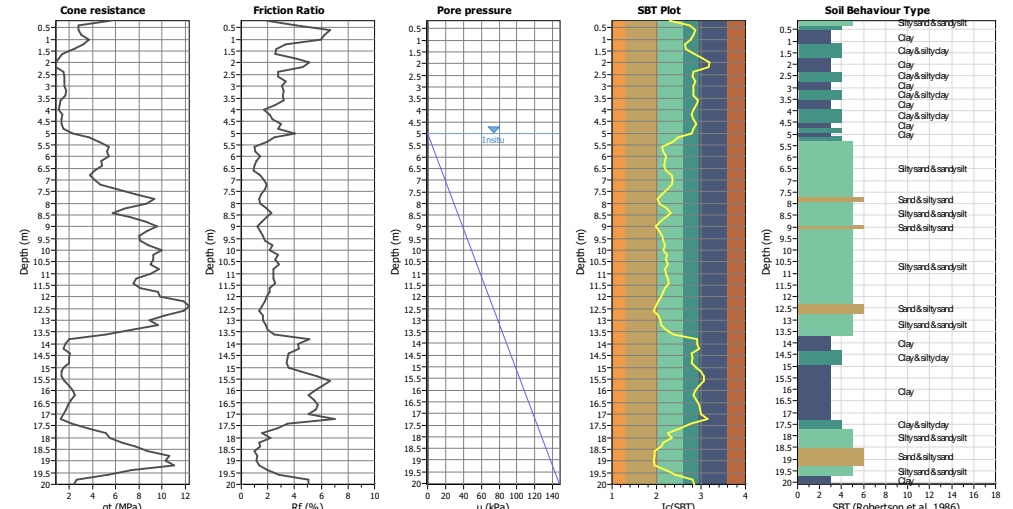
FS Plot



This software is licensed to: Thomas Veronese

CPT name: 85-11\_3

### CPT basic interpretation plots

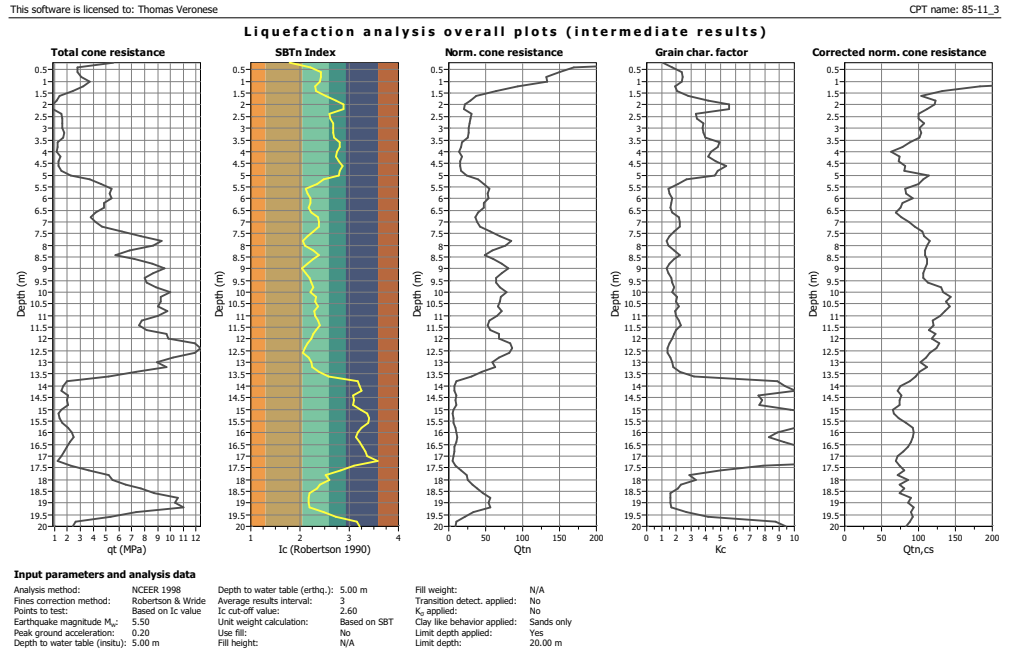
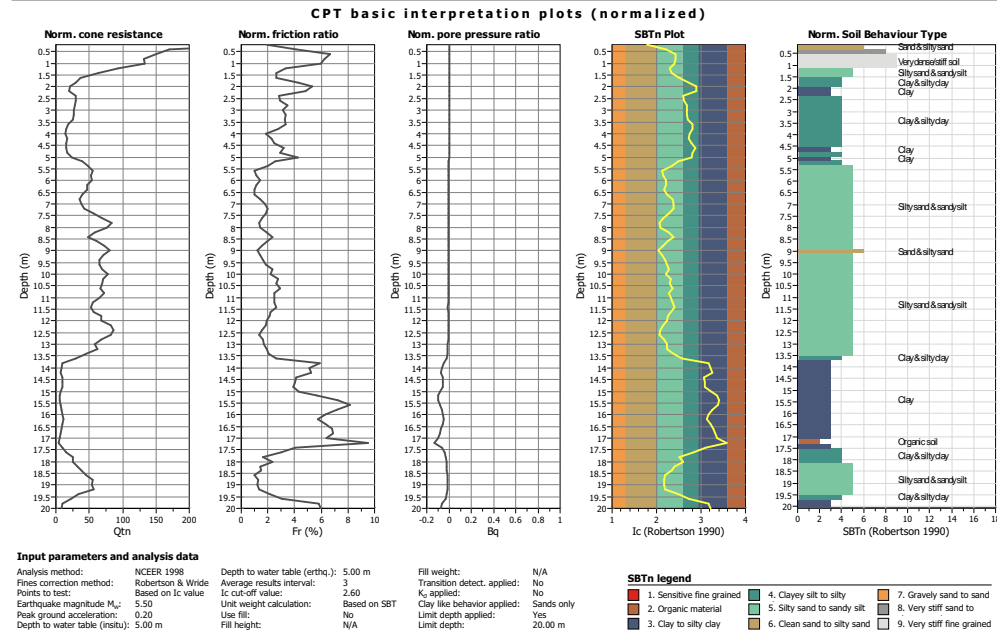


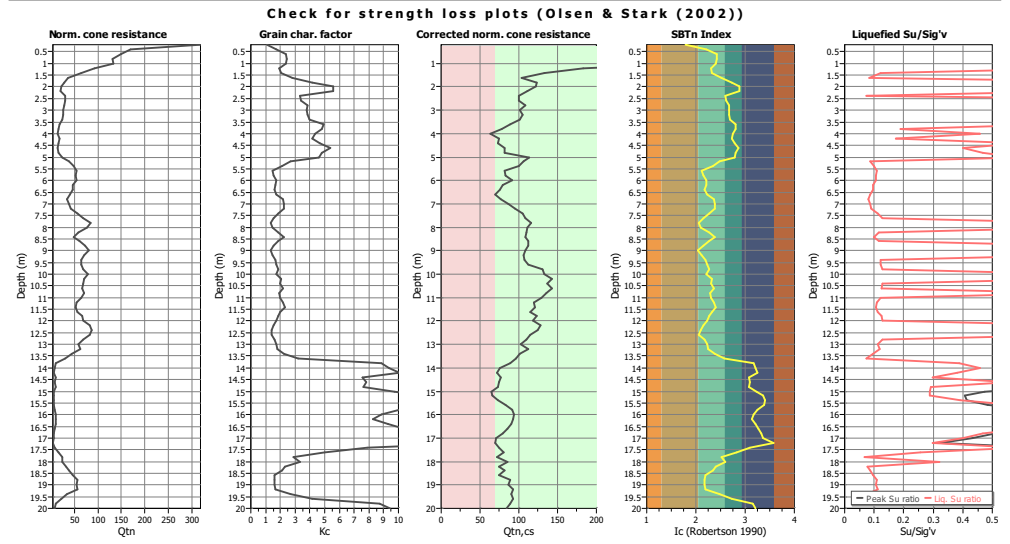
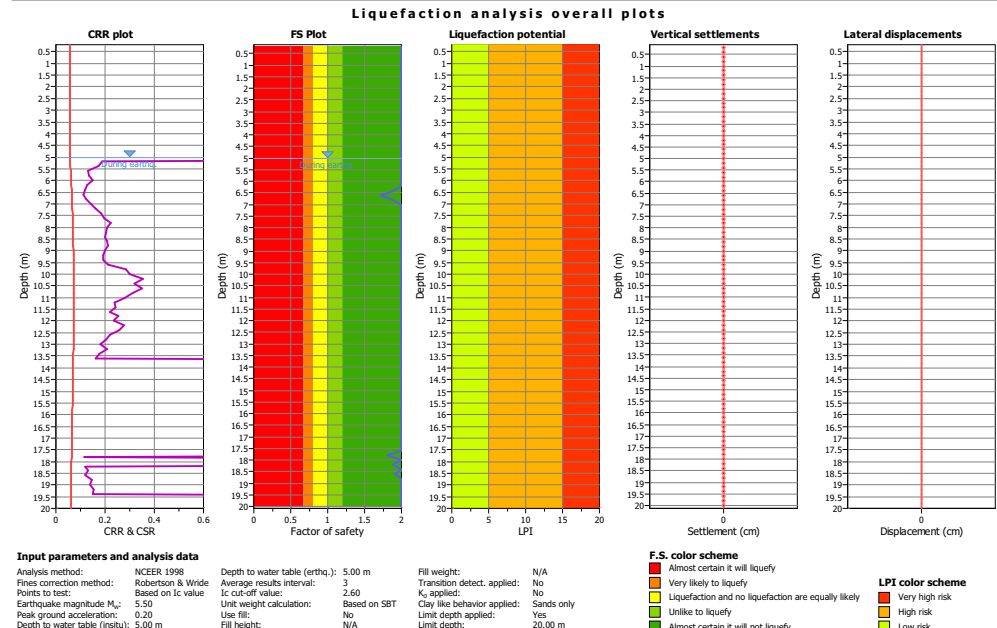
### Input parameters and analysis data

Analysis method:	NCEER 1998	Depth to water table (earthq.):	5.00 m	Fill weight:	Transition detect. applied: No
Fines correction method:	Robertson & Wride	Average results interval:	3	$K_o$ applied:	No
Points to test:	Based on Ic value	Ic cut-off value:	2.60	Clay like behavior applied:	Sands only
Earthquake magnitude $M_w$ :	5.50	Unit weight calculation:	Based on SBT	Limit depth applied:	No
Peak ground acceleration:	0.20	Use fill:	No	Limit depth:	20.00 m
Depth to water table (in situ):	5.00 m	Fill height:	N/A		

### SBT legend

1. Sensitive fine grained	4. Clayey silt to silty
2. Organic material	5. Silty sand to sandy silt
3. Clay	6. Very stiff sand to clean sand to silty sand
4. Clay to silty clay	7. Gravely sand to sand
5. Clay	8. Slightly sensitive to very stiff fine grained





## :: Field input data ::

Point ID	Depth (m)	$q_c$ (MPa)	$f_s$ (kPa)	$u$ (kPa)	Fines content (%)	Unit weight ( $\text{kN/m}^3$ )
1	0.20	6.80	80.00	0.00	7.81	19.03
2	0.40	3.20	160.00	0.00	19.56	18.85
3	0.60	2.00	27.00	0.00	27.26	19.40
4	0.80	3.20	373.00	0.00	27.51	19.46
5	1.00	4.00	173.00	0.00	26.72	19.71
6	1.20	4.00	120.00	0.00	22.55	18.81
7	1.40	1.60	27.00	0.00	23.85	18.08
8	1.60	1.60	40.00	0.00	31.18	17.23
9	1.80	1.00	40.00	0.00	41.70	17.46
10	2.00	0.80	60.00	0.00	51.30	17.30
11	2.20	0.80	33.00	0.00	51.30	17.18
12	2.40	1.00	27.00	0.00	35.35	17.47
13	2.60	2.80	67.00	0.00	35.85	17.54
14	2.80	1.00	40.00	0.00	39.19	17.75
15	3.00	1.00	53.00	0.00	38.95	17.64
16	3.20	2.80	53.00	0.00	39.20	17.82
17	3.40	1.40	60.00	0.00	40.23	17.77
18	3.60	0.90	47.00	0.00	46.94	17.33
19	3.80	1.50	13.00	0.00	46.17	17.01
20	4.00	1.20	33.00	0.00	43.05	16.47
21	4.20	0.70	13.00	0.00	41.86	17.08
22	4.40	2.40	47.00	0.00	45.23	17.05
23	4.60	0.90	33.00	0.00	49.90	17.35
24	4.80	0.70	40.00	0.00	46.30	17.46
25	5.00	3.00	53.00	0.00	44.84	18.53
26	5.20	3.20	187.00	0.00	29.96	18.72
27	5.40	5.00	40.00	0.00	24.29	18.74
28	5.60	5.60	40.00	0.00	16.34	18.21
29	5.80	5.60	80.00	0.00	17.60	18.29
30	6.00	4.60	53.00	0.00	19.56	18.61
31	6.20	6.00	93.00	0.00	19.10	18.16
32	6.40	3.80	13.00	0.00	18.27	18.07
33	6.60	4.80	40.00	0.00	19.91	17.79
34	6.80	4.00	67.00	0.00	25.03	18.08
35	7.00	2.60	53.00	0.00	25.70	18.45
36	7.20	6.00	93.00	0.00	25.67	18.74
37	7.40	5.40	120.00	0.00	21.42	19.11
38	7.60	7.20	120.00	0.00	17.42	19.24
39	7.80	10.40	107.00	0.00	14.44	19.40
40	8.00	10.40	147.00	0.00	15.64	19.33
41	8.20	5.20	107.00	0.00	21.55	19.32
42	8.40	4.80	133.00	0.00	25.91	19.25
43	8.60	7.20	147.00	0.00	21.25	19.41
44	8.80	9.60	133.00	0.00	17.23	19.45
45	9.00	9.00	120.00	0.00	14.11	19.32
46	9.20	10.00	93.00	0.00	16.37	19.33
47	9.40	7.00	147.00	0.00	18.84	19.38
48	9.60	7.00	147.00	0.00	19.93	19.54

## :: Field input data :: (continued)

Point ID	Depth (m)	$q_c$ (MPa)	$f_s$ (kPa)	$u$ (kPa)	Fines content (%)	Unit weight ( $\text{kN/m}^3$ )
49	9.80	10.40	147.00	0.00	21.70	19.95
50	10.00	9.20	320.00	0.00	19.56	20.04
51	10.20	10.40	173.00	0.00	23.47	20.21
52	10.40	8.20	267.00	0.00	22.75	20.13
53	10.60	9.20	267.00	0.00	24.76	20.22
54	10.80	9.60	240.00	0.00	21.87	20.15
55	11.00	10.40	200.00	0.00	22.99	20.03
56	11.20	7.00	213.00	0.00	24.92	19.80
57	11.40	6.00	147.00	0.00	26.29	19.81
58	11.60	9.60	213.00	0.00	23.28	19.73
59	11.80	8.80	160.00	0.00	21.10	19.98
60	12.00	10.60	240.00	0.00	19.93	19.88
61	12.20	10.00	160.00	0.00	17.24	20.11
62	12.40	15.00	240.00	0.00	15.49	20.00
63	12.60	12.00	173.00	0.00	14.74	19.78
64	12.80	8.60	67.00	0.00	18.22	19.75
65	13.00	10.00	253.00	0.00	20.18	19.57
66	13.20	8.20	120.00	0.00	20.50	19.82
67	13.40	10.80	160.00	0.00	25.44	19.49
68	13.60	3.00	160.00	0.00	34.24	19.22
69	13.80	1.80	67.00	0.00	70.65	18.58
70	14.00	1.20	80.00	0.00	73.60	18.10
71	14.20	2.00	67.00	0.00	77.43	17.99
72	14.40	1.40	53.00	0.00	63.43	18.21
73	14.60	2.80	100.00	0.00	65.03	18.12
74	14.80	1.70	53.00	0.00	63.67	18.13
75	15.00	1.60	53.00	0.00	75.65	17.72
76	15.20	1.20	53.00	0.00	85.98	17.81
77	15.40	1.20	73.00	0.00	90.81	18.12
78	15.60	1.70	107.00	0.00	89.07	18.51
79	15.80	1.80	133.00	0.00	77.37	18.81
80	16.00	2.60	133.00	0.00	70.80	18.91
81	16.20	2.60	120.00	0.00	67.49	18.89
82	16.40	2.20	120.00	0.00	73.18	18.80
83	16.60	1.80	120.00	0.00	79.26	18.66
84	16.80	1.80	93.00	0.00	83.47	18.47
85	17.00	1.60	80.00	0.00	86.62	18.16
86	17.20	1.20	60.00	0.00	100.00	18.21
87	17.40	0.90	120.00	0.00	65.25	18.31
88	17.60	4.60	53.00	0.00	47.48	18.76
89	17.80	5.40	120.00	0.00	31.64	18.67
90	18.00	5.60	67.00	0.00	35.57	19.15
91	18.20	5.40	173.00	0.00	26.22	18.88
92	18.40	8.60	27.00	0.00	24.11	19.19
93	18.60	9.20	133.00	0.00	18.42	18.93
94	18.80	8.40	93.00	0.00	18.00	19.49
95	19.00	14.20	160.00	0.00	18.02	19.40
96	19.20	8.40	107.00	0.00	18.63	19.65

## :: Field input data :: (continued)

Point ID	Depth (m)	$q_c$ (MPa)	$f_s$ (kPa)	$u$ (kPa)	Fines content (%)	Unit weight (kN/m³)
97	19.40	10.40	173.00	0.00	29.81	19.49
98	19.60	3.20	160.00	0.00	41.69	19.41
99	19.80	2.40	120.00	0.00	70.17	19.00
100	20.00	2.40	120.00	0.00	74.09	18.84

## Abbreviations

Depth: Depth from free surface, at which CPT was performed (m)

 $q_c$ : Measured cone resistance (MPa) $f_s$ : Sleeve friction resistance (kPa) $u$ : Pore pressure (kPa)

Fines content: Percentage of fines in soil (%)

Unit weight: Bulk soil unit weight (kN/m³)

## :: Cyclic Stress Ratio fully adjusted (CSR\*) calculation data ::

Point ID	Depth (m)	$\sigma_v$ (kPa)	$u_0$ (kPa)	$\sigma'_v$ (kPa)	$r_d$	CSR	MSF	CSR <sub>eq</sub>	$K_o$	CSR*	Belongs to transition layer
1	0.20	3.81	0.00	3.81	1.00	0.13	2.21	0.06	1.00	2.00	No
2	0.40	7.58	0.00	7.58	1.00	0.13	2.21	0.06	1.00	2.00	No
3	0.60	11.46	0.00	11.46	1.00	0.13	2.21	0.06	1.00	2.00	No
4	0.80	15.35	0.00	15.35	1.00	0.13	2.21	0.06	1.00	2.00	No
5	1.00	19.29	0.00	19.29	0.99	0.13	2.21	0.06	1.00	2.00	No
6	1.20	23.05	0.00	23.05	0.99	0.13	2.21	0.06	1.00	2.00	No
7	1.40	26.67	0.00	26.67	0.99	0.13	2.21	0.06	1.00	2.00	No
8	1.60	30.12	0.00	30.12	0.99	0.13	2.21	0.06	1.00	2.00	No
9	1.80	33.61	0.00	33.61	0.99	0.13	2.21	0.06	1.00	2.00	No
10	2.00	37.07	0.00	37.07	0.99	0.13	2.21	0.06	1.00	2.00	No
11	2.20	40.51	0.00	40.51	0.99	0.13	2.21	0.06	1.00	2.00	No
12	2.40	44.00	0.00	44.00	0.98	0.13	2.21	0.06	1.00	2.00	No
13	2.60	47.51	0.00	47.51	0.98	0.13	2.21	0.06	1.00	2.00	No
14	2.80	51.06	0.00	51.06	0.98	0.13	2.21	0.06	1.00	2.00	No
15	3.00	54.58	0.00	54.58	0.98	0.13	2.21	0.06	1.00	2.00	No
16	3.20	58.15	0.00	58.15	0.98	0.13	2.21	0.06	1.00	2.00	No
17	3.40	61.70	0.00	61.70	0.98	0.13	2.21	0.06	1.00	2.00	No
18	3.60	65.17	0.00	65.17	0.98	0.13	2.21	0.06	1.00	2.00	No
19	3.80	68.57	0.00	68.57	0.97	0.13	2.21	0.06	1.00	2.00	No
20	4.00	71.86	0.00	71.86	0.97	0.13	2.21	0.06	1.00	2.00	No
21	4.20	75.28	0.00	75.28	0.97	0.13	2.21	0.06	1.00	2.00	No
22	4.40	78.69	0.00	78.69	0.97	0.13	2.21	0.06	1.00	2.00	No
23	4.60	82.16	0.00	82.16	0.97	0.13	2.21	0.06	1.00	2.00	No
24	4.80	85.65	0.00	85.65	0.97	0.13	2.21	0.06	1.00	2.00	No
25	5.00	89.36	0.00	89.36	0.97	0.13	2.21	0.06	1.00	2.00	No
26	5.20	93.10	1.96	91.14	0.96	0.13	2.21	0.06	1.00	0.06	No
27	5.40	96.85	3.92	92.93	0.96	0.13	2.21	0.06	1.00	0.06	No
28	5.60	100.49	5.89	94.61	0.96	0.13	2.21	0.06	1.00	0.06	No
29	5.80	104.15	7.85	96.30	0.96	0.13	2.21	0.06	1.00	0.06	No
30	6.00	107.87	9.81	98.06	0.96	0.14	2.21	0.06	1.00	0.06	No
31	6.20	111.51	11.77	99.73	0.96	0.14	2.21	0.06	1.00	0.06	No
32	6.40	115.12	13.73	101.38	0.95	0.14	2.21	0.06	1.00	0.06	No
33	6.60	118.68	15.70	102.98	0.95	0.14	2.21	0.06	1.00	0.06	No
34	6.80	122.29	17.66	104.63	0.95	0.14	2.21	0.07	1.00	0.07	No
35	7.00	125.98	19.62	106.36	0.95	0.15	2.21	0.07	1.00	0.07	No
36	7.20	129.73	21.58	108.15	0.95	0.15	2.21	0.07	1.00	0.07	No
37	7.40	133.55	23.54	110.01	0.94	0.15	2.21	0.07	1.00	0.07	No
38	7.60	137.40	25.51	111.89	0.94	0.15	2.21	0.07	1.00	0.07	No
39	7.80	141.28	27.47	113.81	0.94	0.15	2.21	0.07	1.00	0.07	No
40	8.00	145.15	29.43	115.72	0.94	0.15	2.21	0.07	1.00	0.07	No
41	8.20	149.01	31.39	117.62	0.93	0.15	2.21	0.07	1.00	0.07	No
42	8.40	152.86	33.35	119.51	0.93	0.15	2.21	0.07	1.00	0.07	No
43	8.60	156.74	35.32	121.43	0.93	0.16	2.21	0.07	1.00	0.07	No
44	8.80	160.63	37.28	123.35	0.93	0.16	2.21	0.07	1.00	0.07	No
45	9.00	164.50	39.24	125.26	0.92	0.16	2.21	0.07	1.00	0.07	No
46	9.20	168.36	41.20	127.16	0.92	0.16	2.21	0.07	1.00	0.07	No
47	9.40	172.24	43.16	129.07	0.92	0.16	2.21	0.07	1.00	0.07	No
48	9.60	176.15	45.13	131.02	0.91	0.16	2.21	0.07	1.00	0.07	No

## :: Cyclic Stress Ratio fully adjusted (CSR\*) calculation data :: (continued)

Point ID	Depth (m)	$\sigma_v$ (kPa)	$U_0$ (kPa)	$\sigma'_v$ (kPa)	$r_d$	CSR	MSF	$CSR_{eq}$	$K_g$	$CSR^*$	Belongs to transition layer
49	9.80	180.14	47.09	133.05	0.91	0.16	2.21	0.07	1.00	0.07	No
50	10.00	184.14	49.05	135.09	0.90	0.16	2.21	0.07	1.00	0.07	No
51	10.20	188.19	51.01	137.17	0.90	0.16	2.21	0.07	1.00	0.07	No
52	10.40	192.21	52.97	139.24	0.90	0.16	2.21	0.07	1.00	0.07	No
53	10.60	196.26	54.94	141.32	0.89	0.16	2.21	0.07	1.00	0.07	No
54	10.80	200.29	56.90	143.39	0.89	0.16	2.21	0.07	1.00	0.07	No
55	11.00	204.29	58.86	145.43	0.88	0.16	2.21	0.07	1.00	0.07	No
56	11.20	208.25	60.82	147.43	0.88	0.16	2.21	0.07	1.00	0.07	No
57	11.40	212.21	62.78	149.43	0.87	0.16	2.21	0.07	1.00	0.07	No
58	11.60	216.16	64.75	151.41	0.87	0.16	2.21	0.07	1.00	0.07	No
59	11.80	220.16	66.71	153.45	0.86	0.16	2.21	0.07	1.00	0.07	No
60	12.00	224.13	68.67	155.46	0.86	0.16	2.21	0.07	1.00	0.07	No
61	12.20	228.15	70.63	157.52	0.85	0.16	2.21	0.07	1.00	0.07	No
62	12.40	232.15	72.59	159.56	0.84	0.16	2.21	0.07	1.00	0.07	No
63	12.60	236.11	74.56	161.55	0.84	0.16	2.21	0.07	1.00	0.07	No
64	12.80	240.06	76.52	163.54	0.83	0.16	2.21	0.07	1.00	0.07	No
65	13.00	243.97	78.48	165.49	0.83	0.16	2.21	0.07	1.00	0.07	No
66	13.20	247.94	80.44	167.50	0.82	0.16	2.21	0.07	1.00	0.07	No
67	13.40	251.84	82.40	169.43	0.81	0.16	2.21	0.07	1.00	0.07	No
68	13.60	255.68	84.37	171.31	0.81	0.16	2.21	0.07	1.00	0.07	No
69	13.80	259.40	86.33	173.07	0.80	0.16	2.21	0.07	1.00	0.07	No
70	14.00	263.02	88.29	174.73	0.79	0.16	2.21	0.07	1.00	0.07	No
71	14.20	266.61	90.25	176.36	0.79	0.15	2.21	0.07	1.00	0.07	No
72	14.40	270.26	92.21	178.04	0.78	0.15	2.21	0.07	1.00	0.07	No
73	14.60	273.88	94.18	179.70	0.77	0.15	2.21	0.07	1.00	0.07	No
74	14.80	277.51	96.14	181.37	0.77	0.15	2.21	0.07	1.00	0.07	No
75	15.00	281.05	98.10	182.95	0.76	0.15	2.21	0.07	1.00	0.07	No
76	15.20	284.61	100.06	184.55	0.75	0.15	2.21	0.07	1.00	0.07	No
77	15.40	288.23	102.02	186.21	0.75	0.15	2.21	0.07	1.00	0.07	No
78	15.60	291.94	103.99	187.95	0.74	0.15	2.21	0.07	1.00	0.07	No
79	15.80	295.70	105.95	189.75	0.73	0.15	2.21	0.07	1.00	0.07	No
80	16.00	299.48	107.91	191.57	0.73	0.15	2.21	0.07	1.00	0.07	No
81	16.20	303.26	109.87	193.38	0.72	0.15	2.21	0.07	1.00	0.07	No
82	16.40	307.02	111.83	195.18	0.71	0.15	2.21	0.07	1.00	0.07	No
83	16.60	310.75	113.80	196.95	0.71	0.15	2.21	0.07	1.00	0.07	No
84	16.80	314.44	115.76	198.69	0.70	0.14	2.21	0.07	1.00	0.07	No
85	17.00	318.08	117.72	200.36	0.70	0.14	2.21	0.06	1.00	0.06	No
86	17.20	321.72	119.68	202.04	0.69	0.14	2.21	0.06	1.00	0.06	No
87	17.40	325.38	121.64	203.74	0.68	0.14	2.21	0.06	1.00	0.06	No
88	17.60	329.13	123.61	205.53	0.68	0.14	2.21	0.06	1.00	0.06	No
89	17.80	332.86	125.57	207.30	0.67	0.14	2.21	0.06	1.00	0.06	No
90	18.00	336.70	127.53	209.17	0.67	0.14	2.21	0.06	1.00	0.06	No
91	18.20	340.47	129.49	210.98	0.66	0.14	2.21	0.06	1.00	0.06	No
92	18.40	344.31	131.45	212.86	0.66	0.14	2.21	0.06	1.00	0.06	No
93	18.60	348.09	133.42	214.68	0.65	0.14	2.21	0.06	1.00	0.06	No
94	18.80	351.99	135.38	216.61	0.65	0.14	2.21	0.06	1.00	0.06	No
95	19.00	355.87	137.34	218.53	0.64	0.14	2.21	0.06	1.00	0.06	No
96	19.20	359.80	139.30	220.50	0.64	0.13	2.21	0.06	1.00	0.06	No

## :: Cyclic Stress Ratio fully adjusted (CSR\*) calculation data :: (continued)

Point ID	Depth (m)	$\sigma_v$ (kPa)	$U_0$ (kPa)	$\sigma'_v$ (kPa)	$r_d$	CSR	MSF	$CSR_{eq}$	$K_g$	$CSR^*$	Belongs to transition layer
97	19.40	363.70	141.26	222.44	0.63	0.13	2.21	0.06	1.00	0.06	No
98	19.60	367.58	143.23	224.35	0.63	0.13	2.21	0.06	1.00	0.06	No
99	19.80	371.38	145.19	226.19	0.62	0.13	2.21	0.06	1.00	0.06	No
100	20.00	375.15	147.15	228.00	0.62	0.13	2.21	0.06	1.00	0.06	No

## Abbreviations

Depth: Depth from free surface, at which CPT was performed (m)

 $\sigma_v$ : Total overburden pressure at test point (kPa) $U_0$ : Water pressure at test point (kPa) $\sigma'_v$ : Effective overburden pressure based on GWT during earthquake (kPa) $r_d$ : Nonlinear shear mass factor

CSR: Cyclic Stress Ratio

MSF: Magnitude Scaling Factor

 $CSR_{eq}$ : CSR adjusted for M=7.5 $K_g$ : Effective overburden stress factor

CSR\*: CSR fully adjusted

## :: Cyclic Resistance Ratio (CRR) calculation data ::

Point ID	Depth (m)	$q_c$ (MPa)	$I_c$	Fr (%)	n	$Q_n$	$K_c$	$Q_{n,cs}$	CRR <sub>7.5</sub>	Belongs to trans. layer	Clay-like behaviour	FS
1	0.20	5.60	1.79	1.91	0.53	317.66	1.10	348.20	4.00	No	No	2.00
2	0.40	2.80	2.22	4.14	0.70	169.74	1.71	290.00	4.00	No	No	2.00
3	0.60	2.80	2.42	6.69	0.78	149.90	2.40	359.59	4.00	No	No	2.00
4	0.80	3.07	2.43	6.26	0.78	131.87	2.42	319.70	4.00	No	No	2.00
5	1.00	3.73	2.41	5.98	0.78	133.18	2.34	312.14	4.00	No	No	2.00
6	1.20	3.20	2.30	3.36	0.74	93.68	1.95	182.80	4.00	No	No	2.00
7	1.40	2.40	2.34	2.63	0.75	64.12	2.07	132.52	4.00	No	No	2.00
8	1.60	1.40	2.51	2.60	0.82	36.70	2.83	103.67	4.00	No	No	2.00
9	1.80	1.13	2.72	4.24	0.90	29.47	4.17	122.87	4.00	No	Yes	2.00
10	2.00	0.87	2.89	5.34	0.97	21.72	5.59	121.37	4.00	No	Yes	2.00
11	2.20	0.87	2.89	4.84	0.97	19.87	5.59	111.09	4.00	No	Yes	2.00
12	2.40	1.53	2.60	2.84	0.86	30.23	3.33	100.56	4.00	No	No	2.00
13	2.60	1.60	2.61	2.88	0.87	29.62	3.39	100.39	4.00	No	Yes	2.00
14	2.80	1.60	2.68	3.44	0.90	28.29	3.82	108.19	4.00	No	Yes	2.00
15	3.00	1.60	2.67	3.15	0.90	26.58	3.79	100.80	4.00	No	Yes	2.00
16	3.20	1.73	2.68	3.30	0.90	27.28	3.83	104.36	4.00	No	Yes	2.00
17	3.40	1.70	2.70	3.26	0.91	25.40	3.96	100.71	4.00	No	Yes	2.00
18	3.60	1.27	2.82	3.33	0.96	18.09	4.92	89.07	4.00	No	Yes	2.00
19	3.80	1.20	2.80	2.74	0.95	16.21	4.81	77.96	4.00	No	Yes	2.00
20	4.00	1.13	2.75	1.85	0.93	14.45	4.36	62.96	4.00	No	Yes	2.00
21	4.20	1.43	2.73	2.28	0.93	17.67	4.19	74.05	4.00	No	Yes	2.00
22	4.40	1.33	2.79	2.47	0.95	15.76	4.67	73.62	4.00	No	Yes	2.00
23	4.60	1.33	2.87	3.20	0.98	15.18	5.37	81.53	4.00	No	Yes	2.00
24	4.80	1.53	2.81	2.90	0.96	16.80	4.83	81.14	4.00	No	Yes	2.00
25	5.00	2.30	2.78	4.22	0.95	24.61	4.62	113.60	4.00	No	Yes	2.00
26	5.20	3.73	2.48	2.56	0.84	39.36	2.69	105.77	0.19	No	No	2.00
27	5.40	4.60	2.35	1.98	0.79	47.72	2.11	100.57	0.17	No	No	2.00
28	5.60	5.40	2.12	1.01	0.70	55.11	1.49	81.96	0.13	No	No	2.00
29	5.80	5.27	2.16	1.12	0.72	53.04	1.57	83.20	0.13	No	No	2.00
30	6.00	5.40	2.22	1.42	0.74	53.70	1.71	91.75	0.15	No	No	2.00
31	6.20	4.80	2.20	1.13	0.74	46.98	1.67	78.68	0.13	No	No	1.99
32	6.40	4.87	2.18	1.02	0.73	47.04	1.62	75.98	0.12	No	No	1.90
33	6.60	4.20	2.23	0.98	0.75	39.92	1.74	69.29	0.11	No	No	1.72
34	6.80	3.80	2.37	1.45	0.80	35.46	2.18	77.20	0.12	No	No	1.88
35	7.00	4.20	2.38	1.74	0.81	38.75	2.24	86.89	0.14	No	No	2.00
36	7.20	4.67	2.38	1.95	0.81	42.58	2.24	95.31	0.16	No	No	2.00
37	7.40	6.20	2.27	1.83	0.77	56.37	1.86	104.60	0.19	No	No	2.00
38	7.60	7.67	2.15	1.54	0.73	69.39	1.56	108.04	0.20	No	No	2.00
39	7.80	9.33	2.05	1.36	0.69	84.08	1.38	115.73	0.22	No	No	2.00
40	8.00	8.67	2.09	1.41	0.71	76.87	1.44	111.05	0.21	No	No	2.00
41	8.20	6.80	2.27	1.94	0.78	58.65	1.87	109.48	0.20	No	No	2.00
42	8.40	5.73	2.39	2.31	0.82	48.22	2.26	109.13	0.20	No	No	2.00
43	8.60	7.20	2.27	1.95	0.77	60.61	1.84	111.62	0.21	No	No	2.00
44	8.80	8.60	2.15	1.58	0.73	72.41	1.54	111.83	0.21	No	No	2.00
45	9.00	9.53	2.04	1.23	0.69	80.19	1.36	108.94	0.20	No	No	2.00
46	9.20	8.67	2.12	1.41	0.72	71.47	1.49	106.42	0.19	No	No	2.00
47	9.40	8.00	2.20	1.65	0.75	64.62	1.66	106.96	0.19	No	No	2.00
48	9.60	8.13	2.23	1.85	0.76	64.72	1.74	112.42	0.21	No	No	2.00

## :: Cyclic Resistance Ratio (CRR) calculation data :: (continued)

Point ID	Depth (m)	$q_c$ (MPa)	$I_c$	Fr (%)	n	$Q_n$	$K_c$	$Q_{n,cs}$	CRR <sub>7.5</sub>	Belongs to trans. layer	Clay-like behaviour	FS
49	9.80	8.87	2.28	2.36	0.78	69.43	1.88	130.43	0.29	No	No	2.00
50	10.00	10.00	2.22	2.17	0.76	78.04	1.71	133.35	0.30	No	No	2.00
51	10.20	9.27	2.33	2.79	0.80	70.39	2.03	143.07	0.35	No	No	2.00
52	10.40	9.27	2.31	2.60	0.80	69.67	1.97	137.16	0.32	No	No	2.00
53	10.60	9.00	2.36	2.93	0.82	66.31	2.15	142.65	0.35	No	No	2.00
54	10.80	9.73	2.28	2.47	0.79	71.67	1.89	135.70	0.31	No	No	2.00
55	11.00	9.00	2.31	2.47	0.80	65.08	1.99	129.48	0.28	No	No	2.00
56	11.20	7.80	2.36	2.46	0.82	55.13	2.17	119.44	0.24	No	No	2.00
57	11.40	7.53	2.40	2.61	0.84	52.28	2.30	120.28	0.24	No	No	2.00
58	11.60	8.13	2.32	2.19	0.81	56.57	2.02	114.03	0.22	No	No	2.00
59	11.80	9.67	2.26	2.16	0.79	67.41	1.83	123.33	0.25	No	No	2.00
60	12.00	9.80	2.23	1.95	0.78	67.98	1.74	118.06	0.23	No	No	2.00
61	12.20	11.87	2.15	1.83	0.75	82.90	1.55	128.09	0.28	No	No	2.00
62	12.40	12.33	2.09	1.58	0.73	86.20	1.44	123.79	0.26	No	No	2.00
63	12.60	11.87	2.06	1.38	0.72	82.45	1.39	114.86	0.22	No	No	2.00
64	12.80	10.20	2.18	1.65	0.76	68.50	1.61	110.36	0.21	No	No	2.00
65	13.00	8.93	2.23	1.69	0.78	58.54	1.76	102.78	0.18	No	No	2.00
66	13.20	9.67	2.24	1.89	0.79	62.71	1.78	111.68	0.21	No	No	2.00
67	13.40	7.33	2.38	2.07	0.84	45.46	2.22	100.76	0.18	No	No	2.00
68	13.60	5.20	2.58	2.61	0.92	30.17	3.19	96.17	0.16	No	No	2.00
69	13.80	2.00	3.17	5.88	1.00	10.06	8.83	88.82	4.00	No	Yes	2.00
70	14.00	1.67	3.21	5.08	1.00	8.03	9.36	75.17	4.00	No	Yes	2.00
71	14.20	1.53	3.26	5.26	1.00	7.18	10.05	72.18	4.00	No	Yes	2.00
72	14.40	2.07	3.07	4.08	1.00	10.09	7.57	76.43	4.00	No	Yes	2.00
73	14.60	1.97	3.09	4.06	1.00	9.42	7.85	73.94	4.00	No	Yes	2.00
74	14.80	2.03	3.07	3.91	1.00	9.68	7.62	73.73	4.00	No	Yes	2.00
75	15.00	1.50	3.23	4.35	1.00	6.66	9.73	64.81	4.00	No	Yes	2.00
76	15.20	1.33	3.36	5.69	1.00	5.68	11.63	66.09	4.00	No	Yes	2.00
77	15.40	1.37	3.41	7.20	1.00	5.79	12.54	72.62	4.00	No	Yes	2.00
78	15.60	1.57	3.39	8.18	1.00	6.78	12.21	82.81	4.00	No	Yes	2.00
79	15.80	2.03	3.26	7.16	1.00	9.16	10.04	91.93	4.00	No	Yes	2.00
80	16.00	2.33	3.17	6.33	1.00	10.62	8.86	94.04	4.00	No	Yes	2.00
81	16.20	2.47	3.13	5.75	1.00	11.19	8.28	92.57	4.00	No	Yes	2.00
82	16.40	2.20	3.20	6.34	1.00	9.70	9.28	90.03	4.00	No	Yes	2.00
83	16.60	1.93	3.28	6.84	1.00	8.24	10.39	85.56	4.00	No	Yes	2.00
84	16.80	1.73	3.33	6.88	1.00	7.14	11.16	79.71	4.00	No	Yes	2.00
85	17.00	1.53	3.37	6.39	1.00	6.07	11.75	71.26	4.00	No	Yes	2.00
86	17.20	1.23	3.57	9.51	1.00	4.51	15.45	69.69	4.00	No	Yes	2.00
87	17.40	2.23	3.10	4.07	1.00	9.36	7.89	73.85	4.00	No	Yes	2.00

## :: Cyclic Resistance Ratio (CRR) calculation data :: (continued)

Point ID	Depth (m)	$q_c$ (MPa)	$I_c$	Fr (%)	n	$Q_{tn}$	$K_c$	$Q_{n,cs}$	CRR <sub>7.5</sub>	Belongs to trans. layer	Clay-like behaviour	FS
97	19.40	7.33	2.48	2.10	0.91	33.75	2.67	90.13	0.15	No	No	2.00
98	19.60	5.33	2.72	3.04	1.00	22.14	4.17	92.26	4.00	No	Yes	2.00
99	19.80	2.67	3.16	5.81	1.00	10.15	8.75	88.76	4.00	No	Yes	2.00
100	20.00	2.40	3.21	5.93	1.00	8.88	9.45	83.88	4.00	No	Yes	2.00

## Abbreviations

Depth: Depth from free surface, at which CPT was performed (m)  
 $q_c$ : Total cone resistance  
 $I_c$ : Soil behavior type index  
 Fr: Normalized friction ratio (%)  
 n: Stress exponent  
 $Q_{tn}$ : Normalized cone resistance  
 $K_c$ : Cone resistance correction factor due to fines  
 $Q_{n,cs}$ : Normalized and adjusted cone resistance  
 CRR<sub>7.5</sub>: Cyclic resistance ratio for  $M_w=7.5$   
 FS: Factor of safety against soil liquefaction

## :: Liquefaction Potential Index calculation data ::

Depth (m)	FS	$F_L$	$w_z$	$d_z$	LPI	Depth (m)	FS	$F_L$	$w_z$	$d_z$	LPI
0.20	2.00	0.00	9.90	0.20	0.00	0.40	2.00	0.00	9.80	0.20	0.00
0.60	2.00	0.00	9.70	0.20	0.00	0.80	2.00	0.00	9.60	0.20	0.00
1.00	2.00	0.00	9.50	0.20	0.00	1.20	2.00	0.00	9.40	0.20	0.00
1.40	2.00	0.00	9.30	0.20	0.00	1.60	2.00	0.00	9.20	0.20	0.00
1.80	2.00	0.00	9.10	0.20	0.00	2.00	2.00	0.00	9.00	0.20	0.00
2.20	2.00	0.00	8.90	0.20	0.00	2.40	2.00	0.00	8.80	0.20	0.00
2.60	2.00	0.00	8.70	0.20	0.00	2.80	2.00	0.00	8.60	0.20	0.00
3.00	2.00	0.00	8.50	0.20	0.00	3.20	2.00	0.00	8.40	0.20	0.00
3.40	2.00	0.00	8.30	0.20	0.00	3.60	2.00	0.00	8.20	0.20	0.00
3.80	2.00	0.00	8.10	0.20	0.00	4.00	2.00	0.00	8.00	0.20	0.00
4.20	2.00	0.00	7.90	0.20	0.00	4.40	2.00	0.00	7.80	0.20	0.00
4.60	2.00	0.00	7.70	0.20	0.00	4.80	2.00	0.00	7.60	0.20	0.00
5.00	2.00	0.00	7.50	0.20	0.00	5.20	2.00	0.00	7.40	0.20	0.00
5.40	2.00	0.00	7.30	0.20	0.00	5.60	2.00	0.00	7.20	0.20	0.00
5.80	2.00	0.00	7.10	0.20	0.00	6.00	2.00	0.00	7.00	0.20	0.00
6.20	1.99	0.00	6.90	0.20	0.00	6.40	1.90	0.00	6.80	0.20	0.00
6.60	1.72	0.00	6.70	0.20	0.00	6.80	1.88	0.00	6.60	0.20	0.00
7.00	2.00	0.00	6.50	0.20	0.00	7.20	2.00	0.00	6.40	0.20	0.00
7.40	2.00	0.00	6.30	0.20	0.00	7.60	2.00	0.00	6.20	0.20	0.00
7.80	2.00	0.00	6.10	0.20	0.00	8.00	2.00	0.00	6.00	0.20	0.00
8.20	2.00	0.00	5.90	0.20	0.00	8.40	2.00	0.00	5.80	0.20	0.00
8.60	2.00	0.00	5.70	0.20	0.00	8.80	2.00	0.00	5.60	0.20	0.00
9.00	2.00	0.00	5.50	0.20	0.00	9.20	2.00	0.00	5.40	0.20	0.00
9.40	2.00	0.00	5.30	0.20	0.00	9.60	2.00	0.00	5.20	0.20	0.00
9.80	2.00	0.00	5.10	0.20	0.00	10.00	2.00	0.00	5.00	0.20	0.00
10.20	2.00	0.00	4.90	0.20	0.00	10.40	2.00	0.00	4.80	0.20	0.00
10.60	2.00	0.00	4.70	0.20	0.00	10.80	2.00	0.00	4.60	0.20	0.00
11.00	2.00	0.00	4.50	0.20	0.00	11.20	2.00	0.00	4.40	0.20	0.00
11.40	2.00	0.00	4.30	0.20	0.00	11.60	2.00	0.00	4.20	0.20	0.00
11.80	2.00	0.00	4.10	0.20	0.00	12.00	2.00	0.00	4.00	0.20	0.00
12.20	2.00	0.00	3.90	0.20	0.00	12.40	2.00	0.00	3.80	0.20	0.00
12.60	2.00	0.00	3.70	0.20	0.00	12.80	2.00	0.00	3.60	0.20	0.00
13.00	2.00	0.00	3.50	0.20	0.00	13.20	2.00	0.00	3.40	0.20	0.00
13.40	2.00	0.00	3.30	0.20	0.00	13.60	2.00	0.00	3.20	0.20	0.00
13.80	2.00	0.00	3.10	0.20	0.00	14.00	2.00	0.00	3.00	0.20	0.00
14.20	2.00	0.00	2.90	0.20	0.00	14.40	2.00	0.00	2.80	0.20	0.00
14.60	2.00	0.00	2.70	0.20	0.00	14.80	2.00	0.00	2.60	0.20	0.00
15.00	2.00	0.00	2.50	0.20	0.00	15.20	2.00	0.00	2.40	0.20	0.00
15.40	2.00	0.00	2.30	0.20	0.00	15.60	2.00	0.00	2.20	0.20	0.00
15.80	2.00	0.00	2.10	0.20	0.00	16.00	2.00	0.00	2.00	0.20	0.00
16.20	2.00	0.00	1.90	0.20	0.00	16.40	2.00	0.00	1.80	0.20	0.00
16.60	2.00	0.00	1.70	0.20	0.00	16.80	2.00	0.00	1.60	0.20	0.00
17.00	2.00	0.00	1.50	0.20	0.00	17.20	2.00	0.00	1.40	0.20	0.00
17.40	2.00	0.00	1.30	0.20	0.00	17.60	2.00	0.00	1.20	0.20	0.00
17.80	1.80	0.00	1.10	0.20	0.00	18.00	2.00	0.00	1.00	0.20	0.00
18.20	1.88	0.00	0.90	0.20	0.00	18.40	2.00	0.00	0.80	0.20	0.00
18.60	1.91	0.00	0.70	0.20	0.00	18.80	2.00	0.00	0.60	0.20	0.00
19.00	2.00	0.00	0.50	0.20	0.00	19.20	2.00	0.00	0.40	0.20	0.00

## :: Liquefaction Potential Index calculation data :: (continued)

Depth (m)	FS	F <sub>L</sub>	w <sub>z</sub>	d <sub>z</sub>	LPI	Depth (m)	FS	F <sub>L</sub>	w <sub>z</sub>	d <sub>z</sub>	LPI
19.40	2.00	0.00	0.30	0.20	0.00	19.60	2.00	0.00	0.20	0.20	0.00
19.80	2.00	0.00	0.10	0.20	0.00	20.00	2.00	0.00	0.00	0.20	0.00

**Overall liquefaction potential: 0.00**

LPI = 0.00 - Liquefaction risk very low

LPI between 0.00 and 5.00 - Liquefaction risk low

LPI between 5.00 and 15.00 - Liquefaction risk high

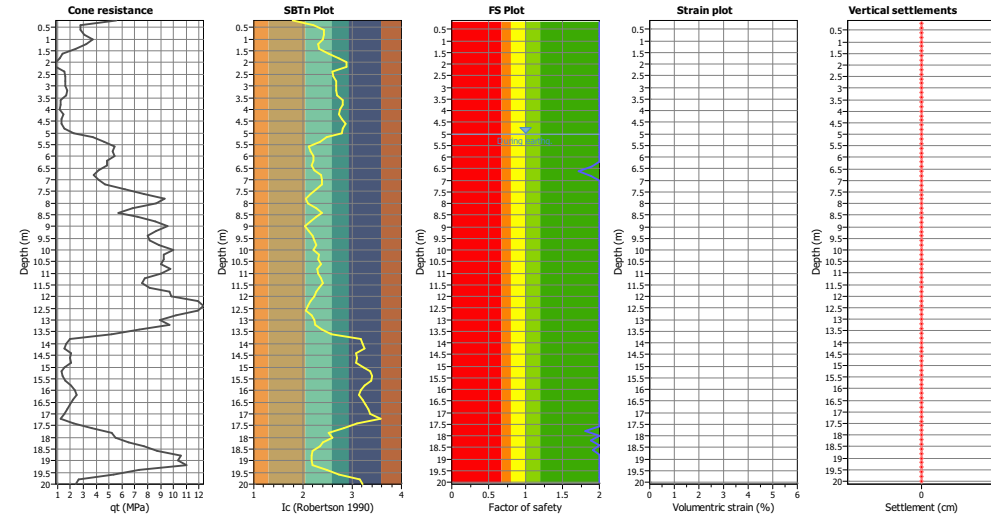
LPI &gt; 15.00 - Liquefaction risk very high

**Abbreviations**

FS: Calculated factor of safety for test point

F<sub>L</sub>: 1 - FSw<sub>z</sub>: Function value of the extend of soil liquefaction according to depthd<sub>z</sub>: Layer thickness (m)

LPI: Liquefaction potential index value for test point

**Estimation of post-earthquake settlements****Abbreviations**

q: Total cone resistance (cone resistance q, corrected for pore water effects)

L: Soil Behaviour Type Index

FS: Calculated Factor of Safety against liquefaction

Volumetric strain: Post-liquefaction volumetric strain

## :: Post-earthquake settlement due to soil liquefaction ::

Depth (m)	Q <sub>n,cs</sub>	FS	e <sub>v</sub> (%)	Settlement (cm)	Depth (m)	Q <sub>n,cs</sub>	FS	e <sub>v</sub> (%)	Settlement (cm)
5.00	113.60	2.00	0.00	0.00	5.20	105.77	2.00	0.00	0.00
5.40	100.57	2.00	0.00	0.00	5.60	81.96	2.00	0.00	0.00
5.80	83.20	2.00	0.00	0.00	6.00	91.75	2.00	0.00	0.00
6.20	78.68	1.99	0.00	0.00	6.40	75.98	1.90	0.00	0.00
6.60	69.29	1.72	0.00	0.00	6.80	77.20	1.88	0.00	0.00
7.00	86.89	2.00	0.00	0.00	7.20	95.31	2.00	0.00	0.00
7.40	104.60	2.00	0.00	0.00	7.60	108.04	2.00	0.00	0.00
7.80	115.73	2.00	0.00	0.00	8.00	111.05	2.00	0.00	0.00
8.20	109.48	2.00	0.00	0.00	8.40	109.13	2.00	0.00	0.00
8.60	111.62	2.00	0.00	0.00	8.80	111.83	2.00	0.00	0.00
9.00	108.94	2.00	0.00	0.00	9.20	106.42	2.00	0.00	0.00
9.40	106.96	2.00	0.00	0.00	9.60	112.42	2.00	0.00	0.00
9.80	130.43	2.00	0.00	0.00	10.00	133.35	2.00	0.00	0.00
10.20	143.07	2.00	0.00	0.00	10.40	137.16	2.00	0.00	0.00
10.60	142.65	2.00	0.00	0.00	10.80	135.70	2.00	0.00	0.00
11.00	129.48	2.00	0.00	0.00	11.20	119.44	2.00	0.00	0.00
11.40	120.28	2.00	0.00	0.00	11.60	114.03	2.00	0.00	0.00
11.80	123.33	2.00	0.00	0.00	12.00	118.06	2.00	0.00	0.00
12.20	128.09	2.00	0.00	0.00	12.40	123.79	2.00	0.00	0.00
12.60	114.86	2.00	0.00	0.00	12.80	110.36	2.00	0.00	0.00
13.00	102.78	2.00	0.00	0.00	13.20	111.68	2.00	0.00	0.00
13.40	100.76	2.00	0.00	0.00	13.60	96.17	2.00	0.00	0.00
13.80	88.82	2.00	0.00	0.00	14.00	75.17	2.00	0.00	0.00
14.20	72.18	2.00	0.00	0.00	14.40	76.43	2.00	0.00	0.00
14.60	73.94	2.00	0.00	0.00	14.80	73.73	2.00	0.00	0.00
15.00	64.81	2.00	0.00	0.00	15.20	66.09	2.00	0.00	0.00
15.40	72.62	2.00	0.00	0.00	15.60	82.81	2.00	0.00	0.00
15.80	91.93	2.00	0.00	0.00	16.00	94.04	2.00	0.00	0.00
16.20	92.57	2.00	0.00	0.00	16.40	90.03	2.00	0.00	0.00
16.60	85.56	2.00	0.00	0.00	16.80	79.71	2.00	0.00	0.00
17.00	71.26	2.00	0.00	0.00	17.20	69.69	2.00	0.00	0.00
17.40	73.85	2.00	0.00	0.00	17.60	80.46	2.00	0.00	0.00
17.80	71.89	1.80	0.00	0.00	18.00	85.52	2.00	0.00	0.00
18.20	74.28	1.88	0.00	0.00	18.40	81.36	2.00	0.00	0.00
18.60	74.59	1.91	0.00	0.00	18.80	89.13	2.00	0.00	0.00
19.00	86.19	2.00	0.00	0.00	19.20	93.13	2.00	0.00	0.00
19.40	90.13	2.00	0.00	0.00	19.60	92.26	2.00	0.00	0.00
19.80	88.76	2.00	0.00	0.00	20.00	83.88	2.00	0.00	0.00

Total estimated settlement: 0.00

## Abbreviations

- Q<sub>n,cs</sub>: Equivalent clean sand normalized cone resistance  
 FS: Factor of safety against liquefaction  
 e<sub>v</sub> (%): Post-liquefaction volumetric strain  
 Settlement: Calculated settlement